



GRASAS DE CUPUASSU Y KARITÉ COMO ALTERNATIVAS A LAS GRASAS TRANS



AUTOR

MSC. ANA CAROLINA RODRIGUEZ NEGRETTE

Tesis presentada para optar al título de Doctor de la Universidad de Buenos Aires
en el área de Ingeniería

DIRECTORA DE TESIS

DRA. MARÍA LIDIA HERRERA – ITPN (UBA- CONICET)

LUGAR DE TRABAJO

INSTITUTO DE TECNOLOGÍA EN POLÍMEROS Y NANOTECNOLOGÍA (ITPN –UBA – CONICET)

FACULTAD DE INGENIERÍA – UNIVERSIDAD DE BUENOS AIRES



Grasas y aceites

Formulación de alimentos → Calidad y vida útil



Cristalización (grado)
C. Red cristalina

Prop.
físicas

Textura
Dureza
Reología

Cristalización de las grasas

Materiales con
características
funcionales deseadas.
Optimizar procesos
productivos

Templado

$V(\beta_2)$

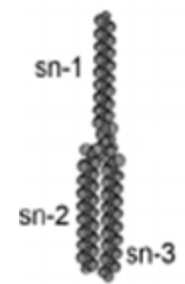
Características típicas



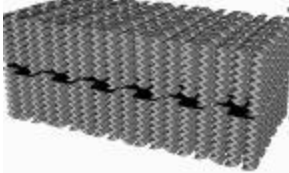
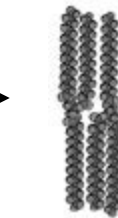
Líquido



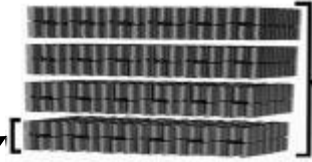
Moléculas de TAG
desorientados



Apilamiento de triglicéridos en
estructuras cristalinas



Lamella



Grosor/dominio



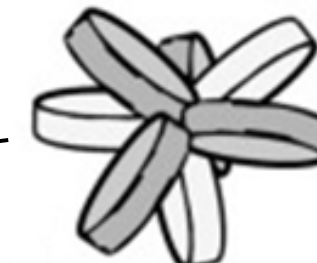
Núcleos de
cristal



Sólidos



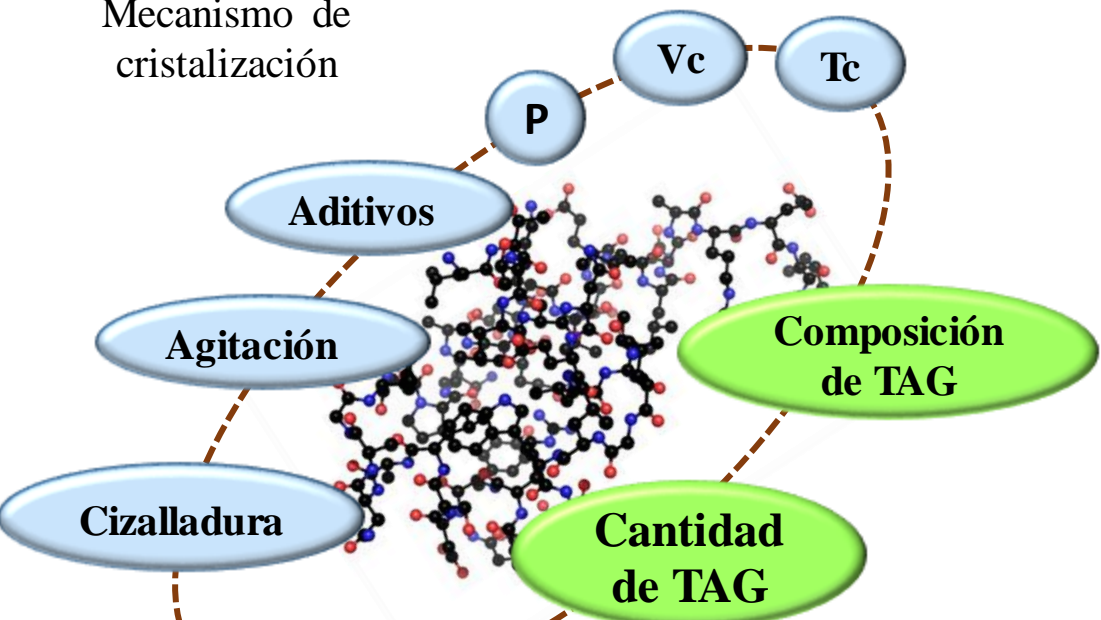
Red cristalina



Flóculos

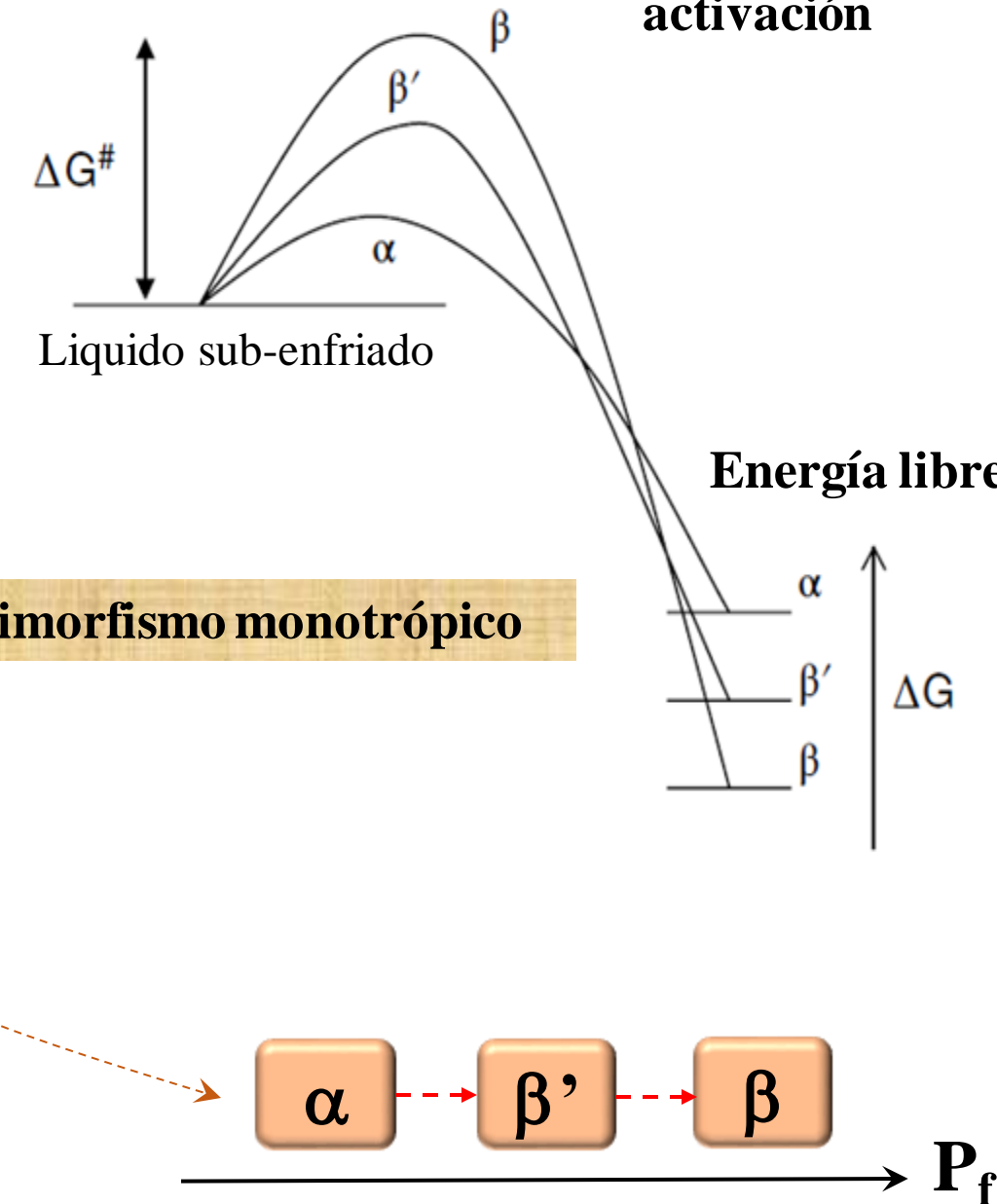
Clusters

Mecanismo de cristalización



Propiedades físicas diferentes

Aplicaciones funcionales diferentes



Difracción de rayos DRX (SAXS/WAXS)

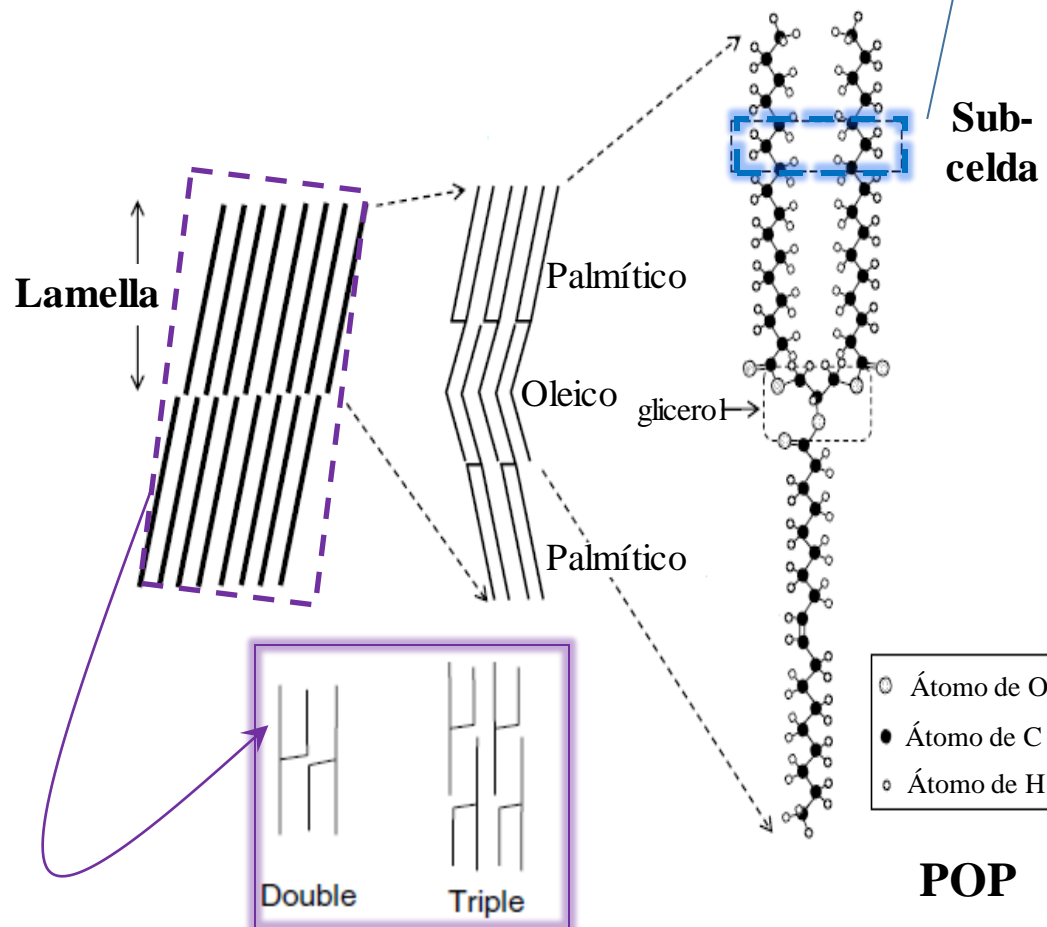
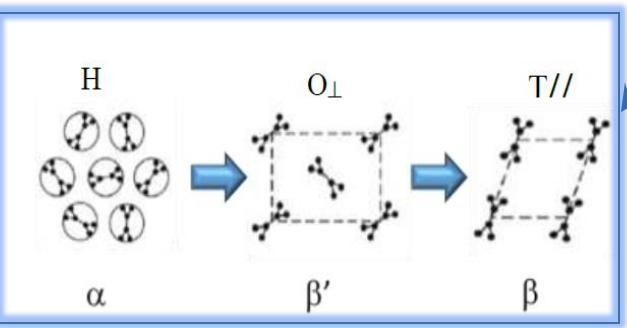
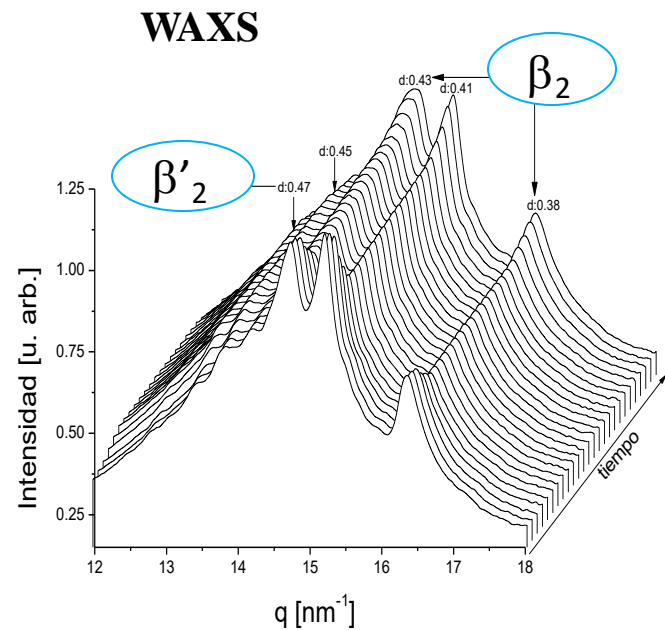
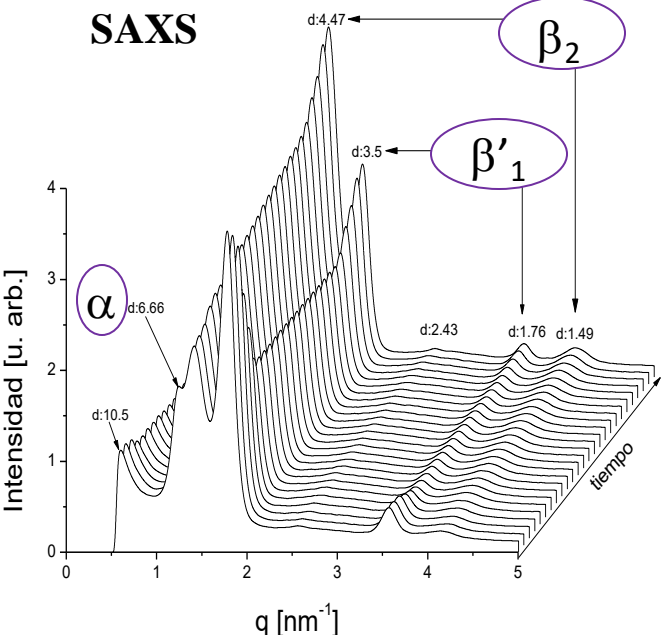
Caracteriza las formas polimórficas

Apilamiento

Lamellas (espesor)

Celda unitaria

Niveles de organización



DRX-convencional

Tiempos largos para la obtención de patrones de difracción.



DRX-con luz Sincrotron

Patrones de difracción de alta precisión a t cortos

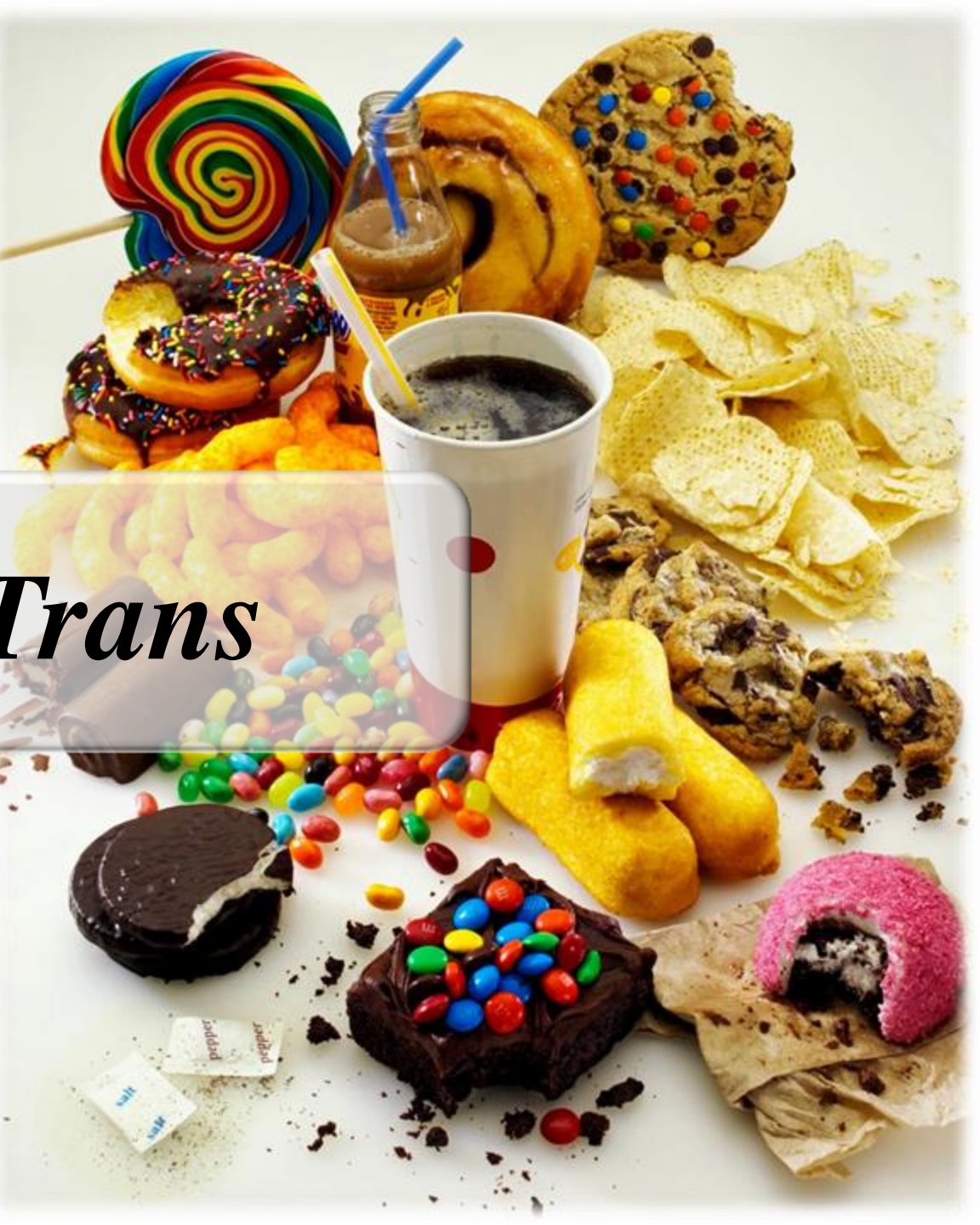
Comportamiento polimórfico en tiempo real

Transiciones polimórficas que se dan desde las formas menos estables a más estables a diferentes condiciones de proceso de cristalización





Grasas Trans



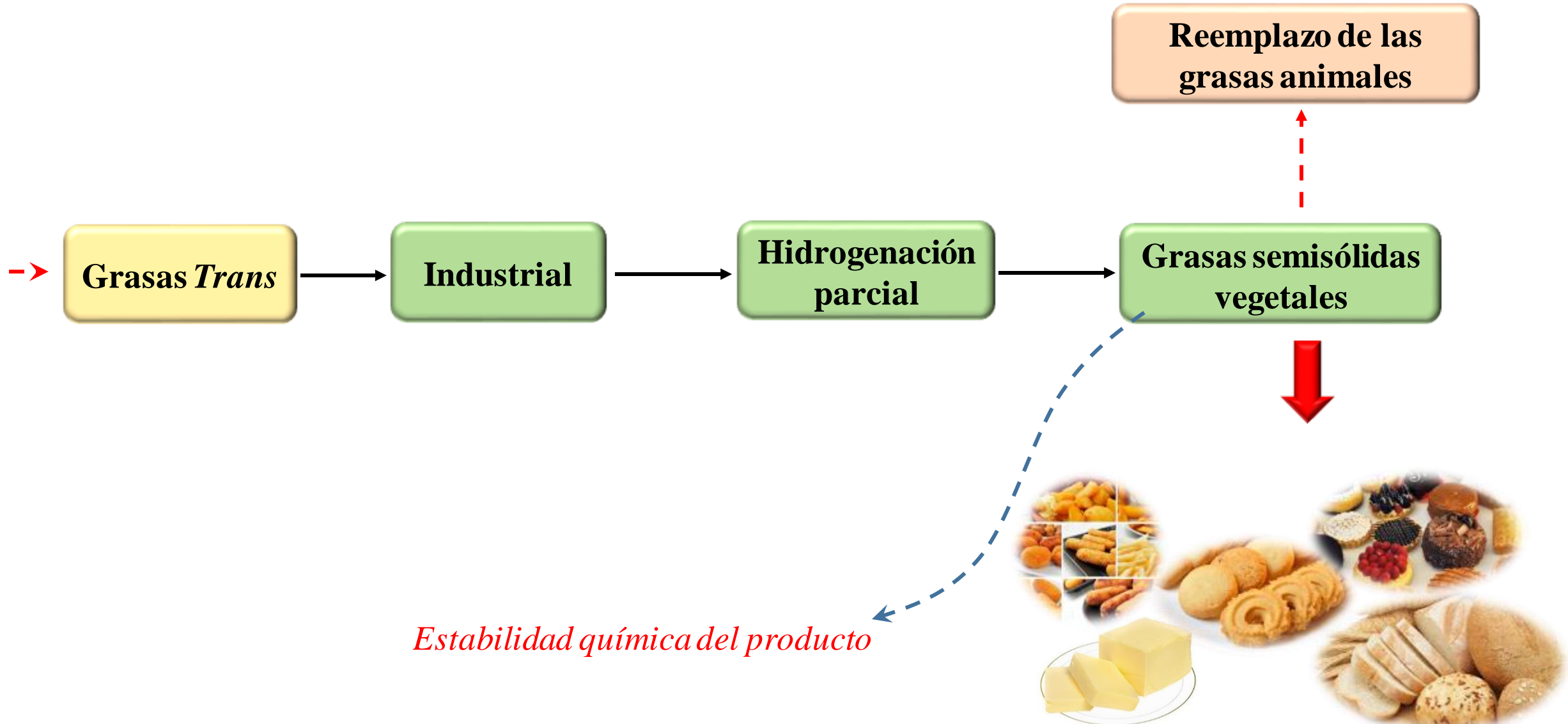
¿Qué son?



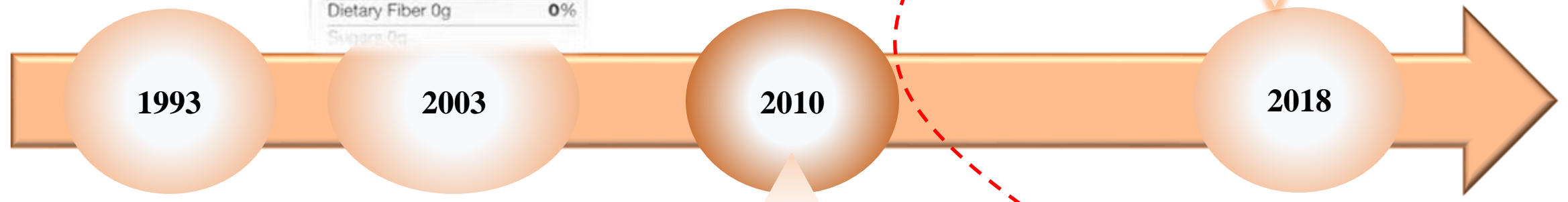
Donde las
encontramos?

Por qué
eliminarlas?

De donde vienen los ácidos grasos trans?



Nutrition Facts	
Serving Size 1 Tbsp (14g)	
Servings Per Container about 32	
Amount Per Serving	
Calories 100	Calories from Fat 100
% Daily Value*	
Total Fat 11g	17%
Saturated Fat 2.5g	12%
Trans Fat 2.5g	
Cholesterol 0mg	0%
Sodium 105mg	4%
Total Carbohydrate 0g	0%
Dietary Fiber 0g	0%
Sugars 0g	



La FAO/OMS recomendaron un consumo < 4% de ácidos grasos *trans* para el consumo humano.

El CAA: las grasas *trans* no deben superar el 2 % del total de las grasas como consumo directo y como ingrediente hasta un 5 % del total de las grasas.

La OPS/OMS estuvo de acuerdo con la decisión de MERCOSUR de implementar el etiquetado nutricional en la parte frontal de los envases de los alimentos. **Argentina, Brasil, Paraguay y Uruguay.**

Mejorar la información nutricional y detener la obesidad



Alternativas a las grasas *trans*

Asequibles

Fácil obtención

Alta Vc (β')

Característica organolépticas = grasas *trans*

Mezclado de grasas y aceites

Aceites vegetales

Fraccionamiento

Grasas vegetales semi-sólidas naturales



Alternativas a la manteca de cacao en la industria de chocolatería



Alternativas a la manteca de cacao (CBA)

Prop. Físicas
y químicas

Bajo precio

Blooming

Sucedáneos de la manteca de cacao (CBR)

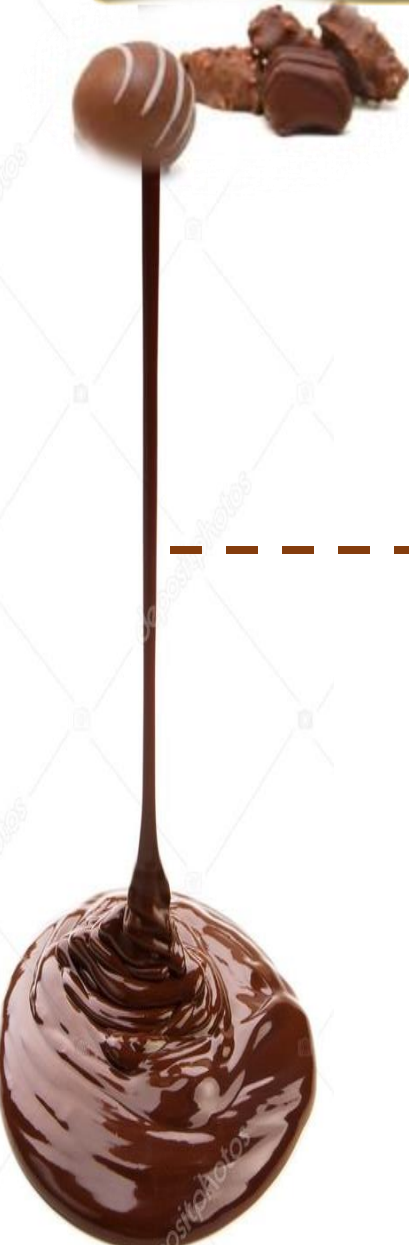
Grasas que sólo pueden mezclarse en pequeñas proporciones con la m. de cacao.

Sustitutos de la manteca de cacao (CBS)

Grasa que pueden sustituir a la manteca de cacao

Equivalentes de la manteca de cacao (CBE)

Alternativas a la manteca de cacao en la industria de chocolatería



Alternativas a la manteca de cacao (CBA)

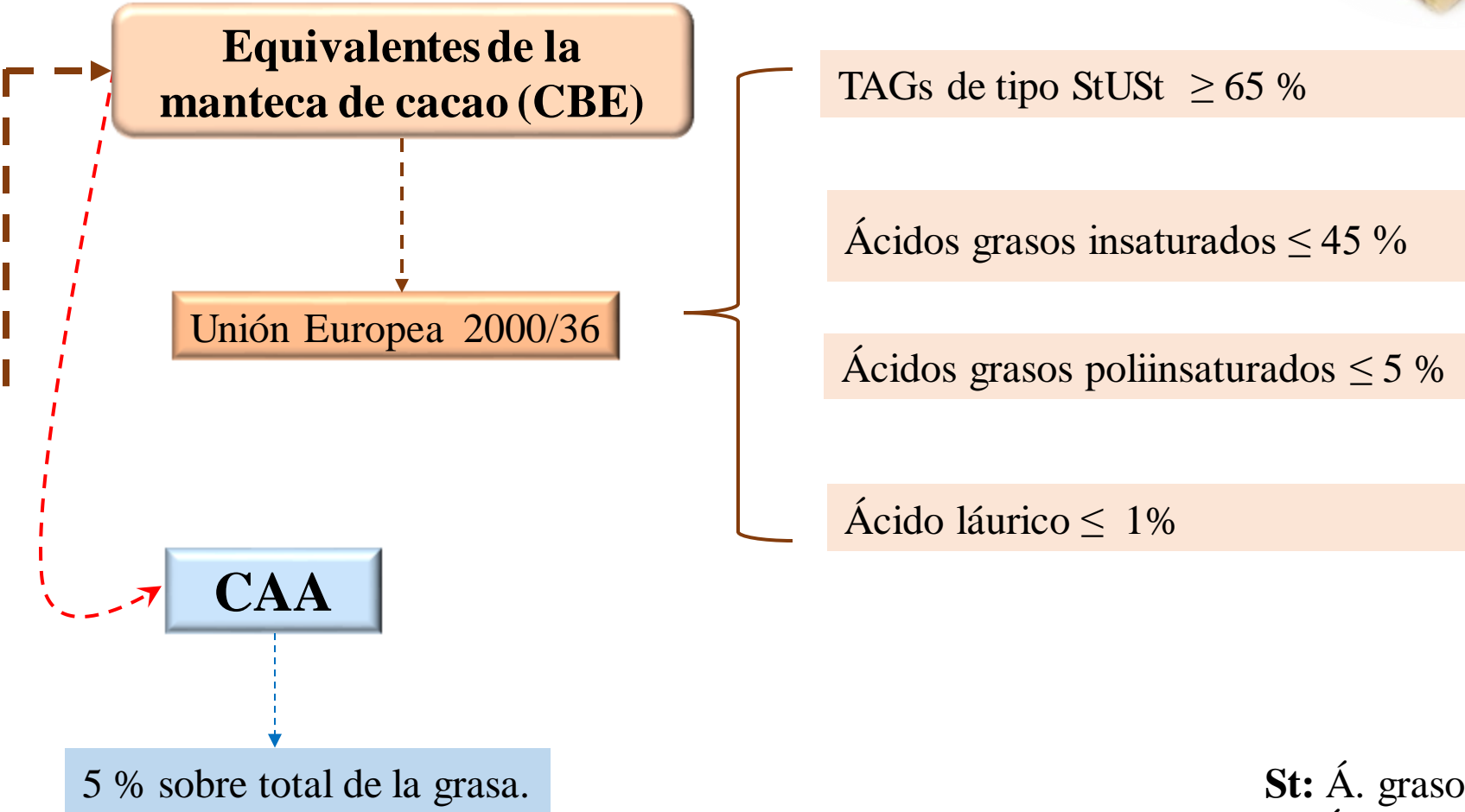
Equivalentes de la manteca de cacao (CBE)

Grasas no láuricas, similares en sus propiedades físicas y químicas a la manteca de cacao, se pueden mezclar con ella en cualquier proporción sin alterar las propiedades características de la manteca de cacao.

Mejoradores de la manteca de cacao (CBI): similares a los CBE, pero con mayor contenido en TAGs saturados; se usan para mejorar las mantecas blandas de cacao.

Extendedores de manteca de cacao (CBEX): grasas que no pueden mezclarse en todas las proporciones con la manteca de cacao.

Alternativas a la manteca de cacao en la industria de chocolatería



Objetivo general



→ Estudiar el potencial de las grasas de karité y cupuassu para reemplazar grasas *trans* en los alimentos y/o para ser empleadas como CBE en chocolatería.

Objetivos específicos



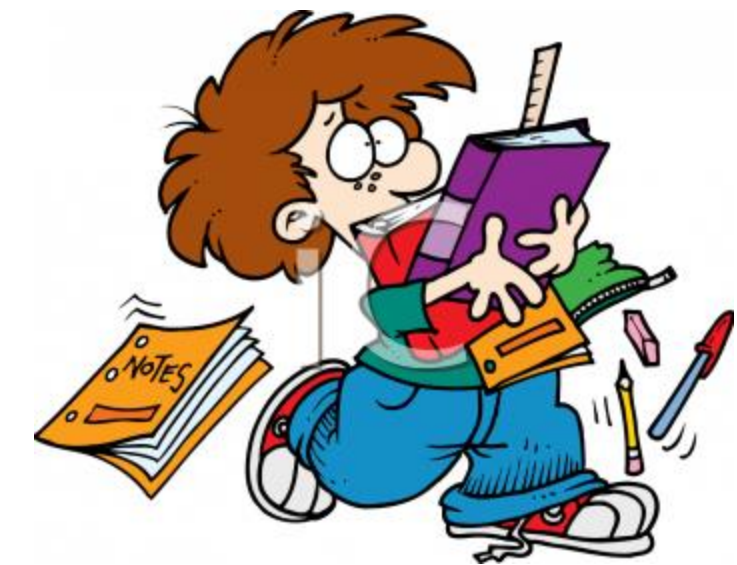
- Estudiar el comportamiento físico-químico de mezclas de grasa de karité y manteca de cacao.
- Determinar la compatibilidad de mezclas de grasa de karité y manteca de cacao utilizando el diagrama de isosólidos.
- Preparar chocolates a partir de mezclas de grasa de karité y manteca de cacao.
- Estudiar el comportamiento dinámico mecánico y polimórfico de los chocolates preparados con estas mezclas.
- Estudiar el efecto del agregado de aditivos en la cinética de cristalización de la grasa de karité, manteca de cacao, y sus mezclas.

Objetivos específicos



- Fraccionar la grasa de cupuassu por el método de fraccionamiento en seco utilizando tres temperaturas de cristalización: 24, 26 y 29 °C.
- Estudiar la composición química de las fracciones oleína y estearina, así como el polimorfismo, el contenido de grasa sólida, la microestructura y el comportamiento térmico, en distintas condiciones de proceso con el fin de determinar su funcionalidad para su uso en distintos productos.
- Estudiar el efecto del agregado de aditivos en la cinética de cristalización y transformación polimórfica de la grasa de cupuassu y sus fracciones.

Materiales y Métodos



Grasas vegetales semi-sólidas naturales

Grasa de Karité

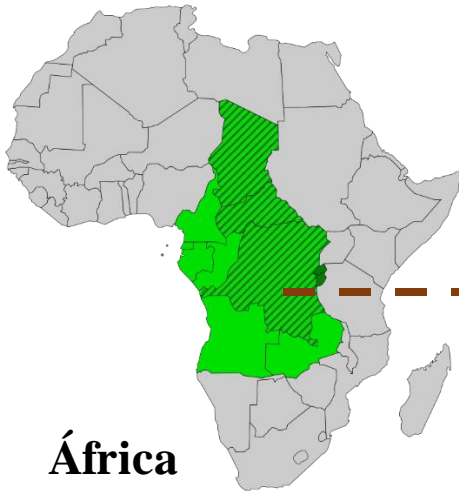


Grasa de Cupuassu



Grasas vegetales semi-sólidas naturales

→ Grasa de Karité



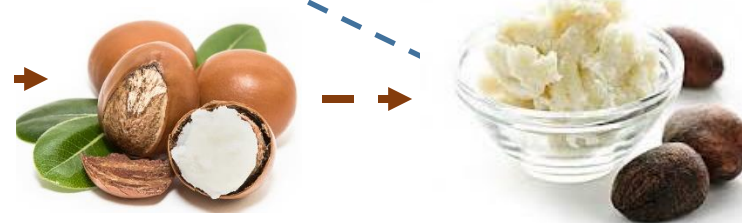
África

Karité “Árbol de mantequilla”

Industria Farmacéutica (cosméticos)



Industria Alimentaria



Grasas vegetales semi-sólidas naturales



Grasa de Cupuassu



Brasil



Theobroma grandiflorum



Industria Farmacéutica



Industria Alimentaria

Materiales

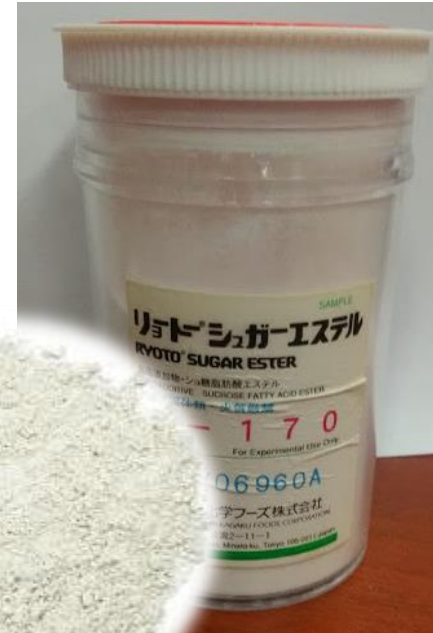
Grasa de Karité



Grasa de Cupuassu



Aditivos

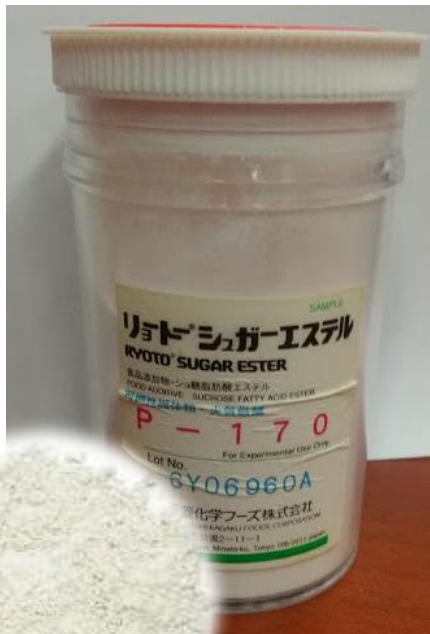


Mitsubishi - Kagaku Foods
Corporation, Japón

1% (50%/FDA)

Ester de sacarosa del ácido
graso esteárico **S-170** y
palmítico **P-170**

Aditivos



Grado de esterificación de la sacarosa - afinidad del emulsificante.

	S-170	P-170
Balance hidrofilico-lipofilico (HBL)	1	1
Punto de fusión	56 °C	58 °C
Contenido de ácido esteárico	70%	
Contenido de ácido palmítico		80%
Presentación	Polvo blanco	Polvo blanco
Composición de esteres		
Mono éster	1%	1%
Di, tri, poliéster	99%	99%

Mejoradores de textura, modificadores de la cristalización y extendedores de la vida útil de los productos

Se elaboran a partir de la esterificación de la sacarosa y los metil y etil ácidos grasos en presencia de un catalizador o a través de la extracción de sucroglicéridos

Metodología- Técnicas de modificación

Grasa de Karité



Grasa de Cupuassu



Mezclado

Fraccionamiento

Técnicas de modificación sencilla

Económicas

Amigable con el medio ambiente

No presentan pérdidas de aceite durante la operación

Mayores beneficios nutricionales

Preparación de las muestras

Compatibilidad

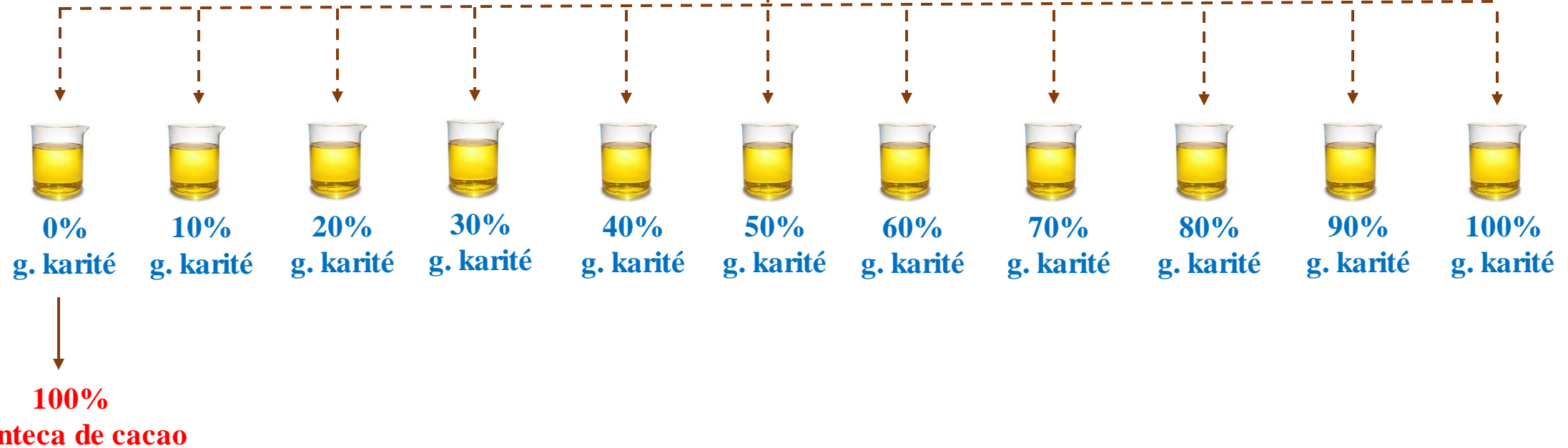


Grasa de Karité



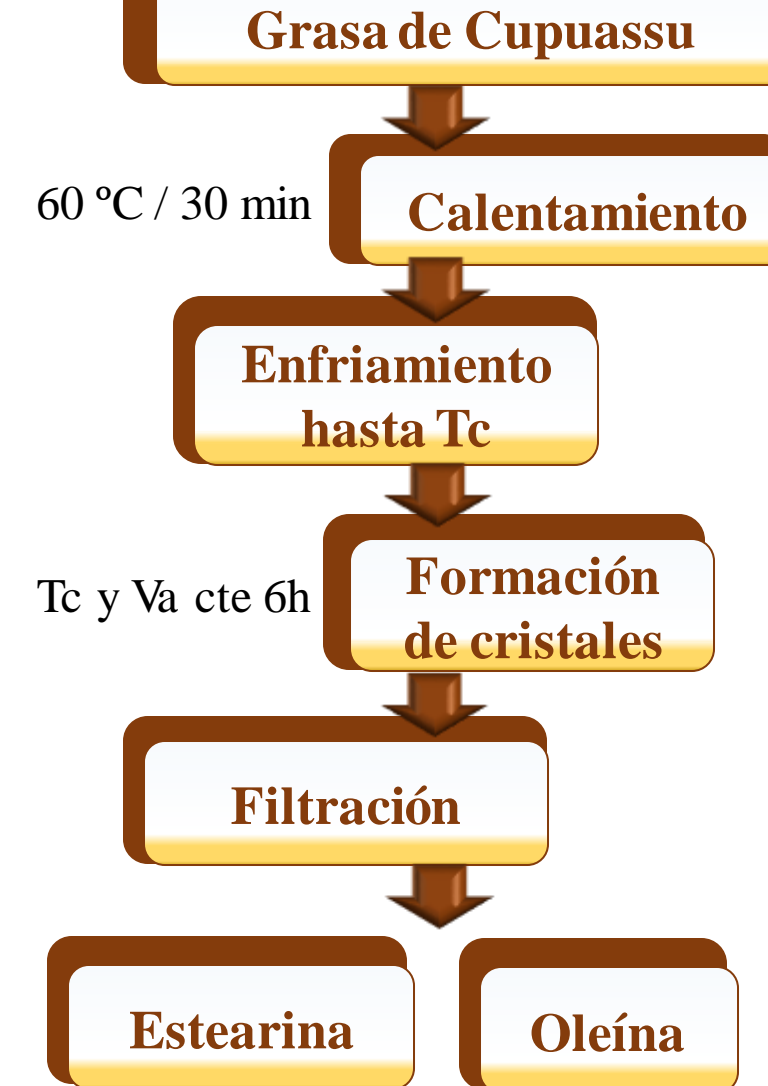
Manteca de cacao

Mezclas

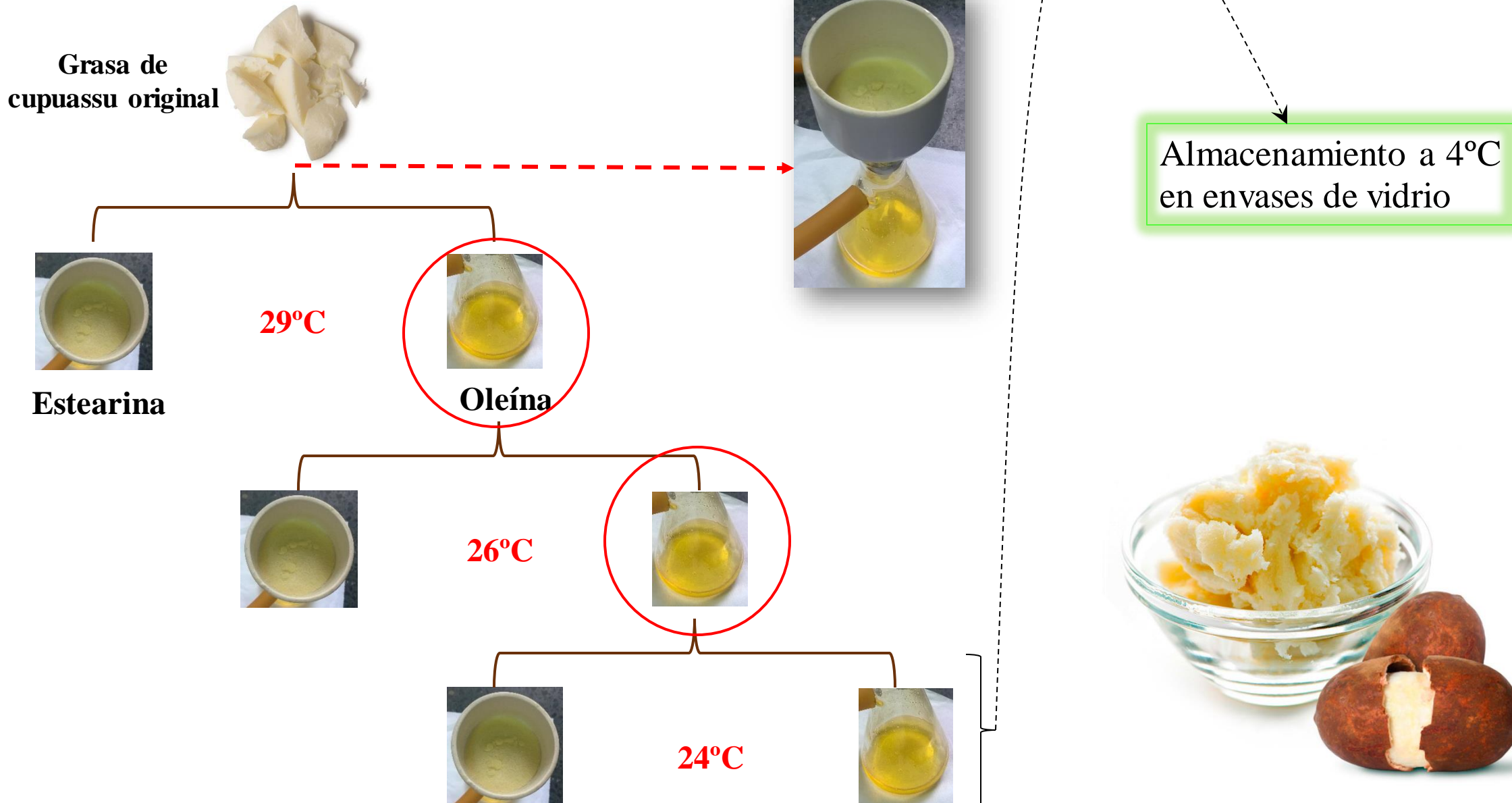


Preparación de las muestras

Fraccionamiento



Fraccionamiento



Métodos para la caracterización de las grasas

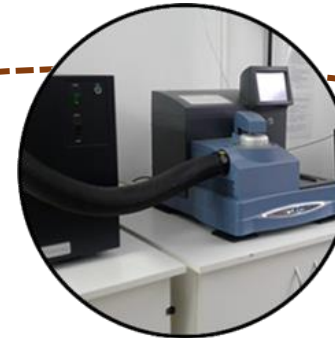
Ácidos grasos y TAGs

- C. gaseosa (CG)
- HPLC

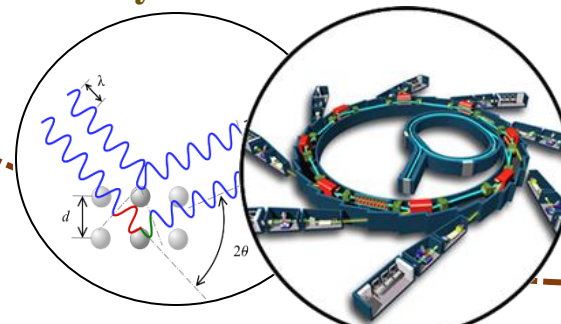


Propiedades térmicas

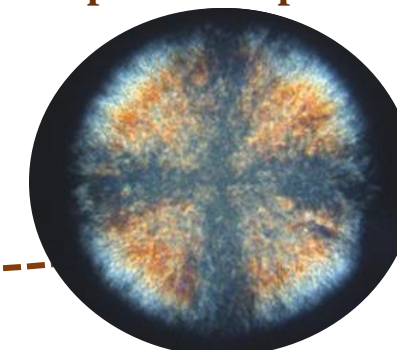
(Calorimetría Diferencial de Barrido)



Polimorfismo Rayos X con luz Sincrotrón



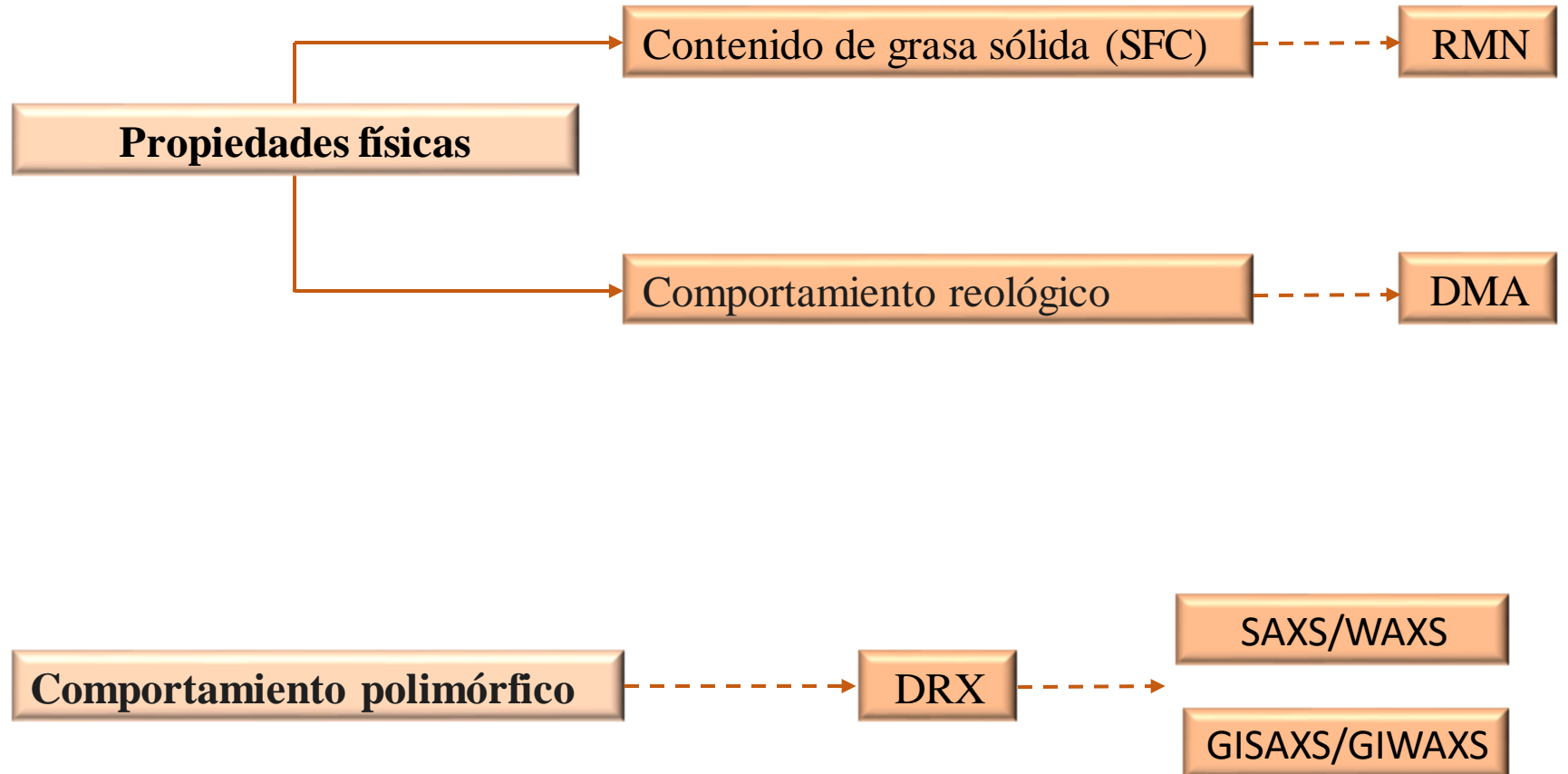
Microestructura Microscopía de luz polarizada (PLM)



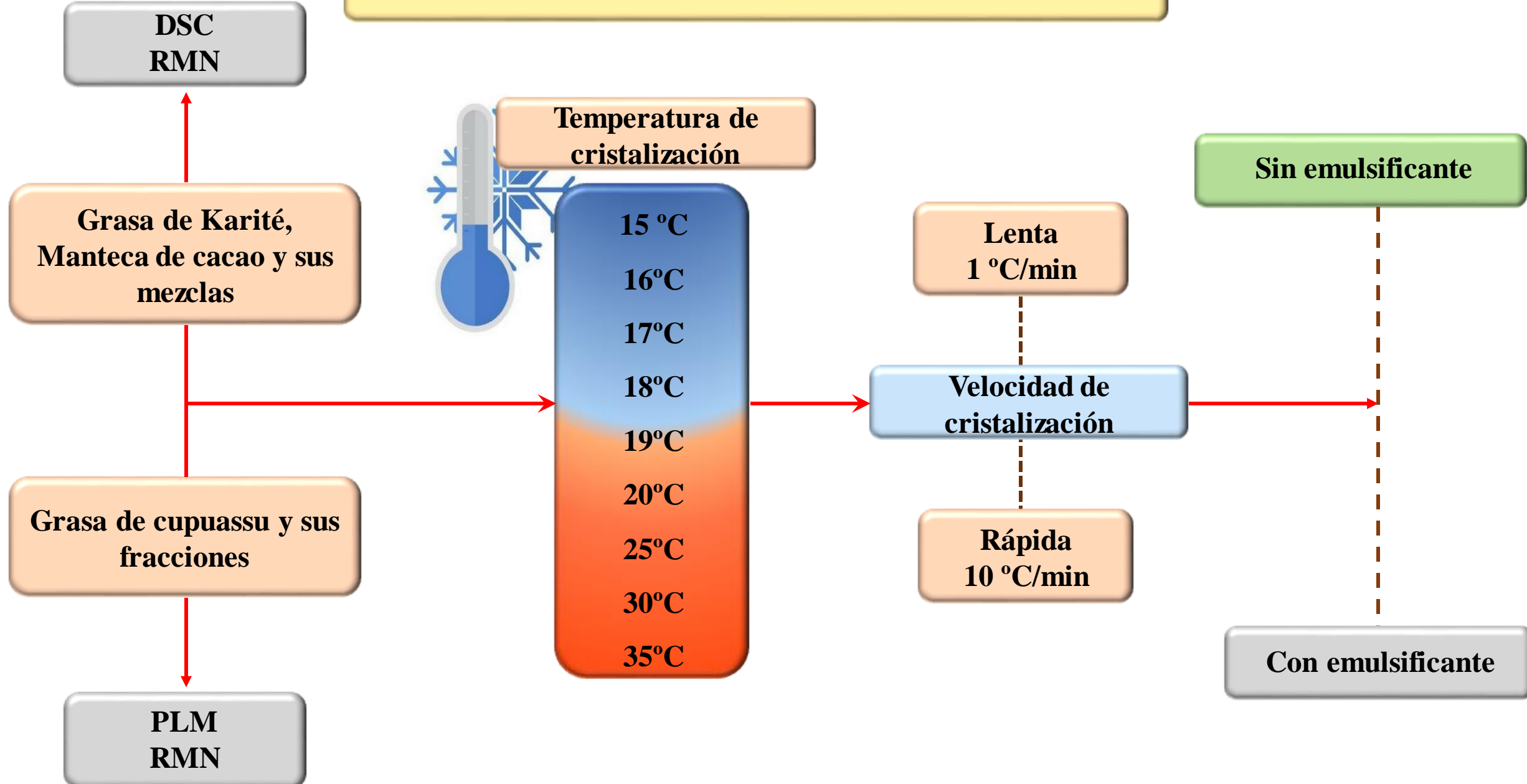
Contenido de grasa sólida (SFC) Resonancia magnética nuclear (RMN)



Caracterización fisicoquímica de los chocolates



EFECTO DE LAS VARIABLES DE PROCESO



Resultados



*PROPIEDADES FISICOQUÍMICA DE LA
GRASA DE KARITÉ, MANTECA DE CACAO Y
SUS MEZCLAS GRASAS*

FASE GRASA

Preparación de las mezclas grasas

Compatibilidad

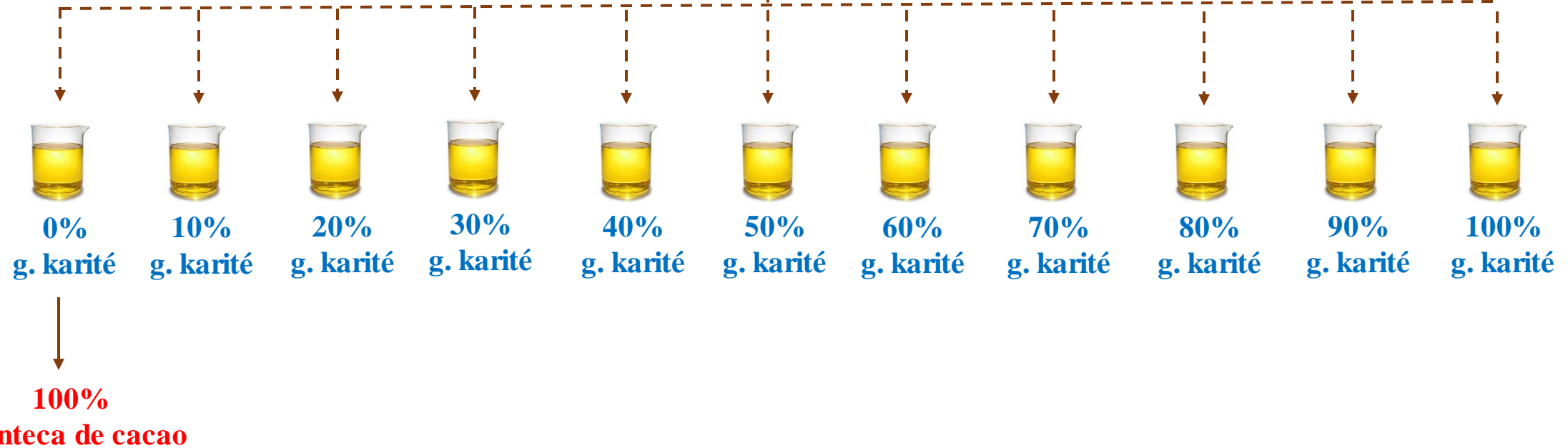


Grasa de Karité



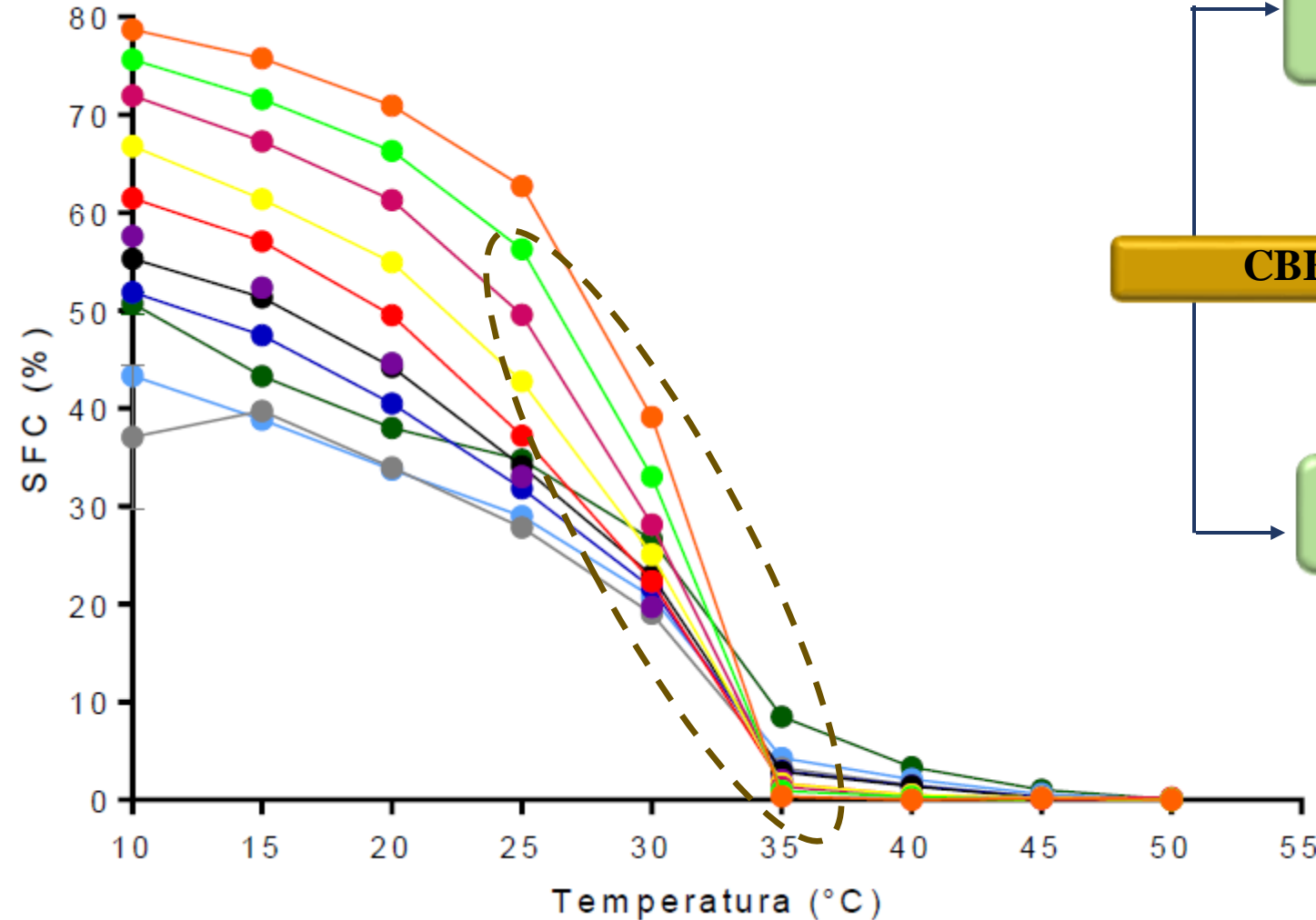
Manteca de cacao

Mezclas



PROPIEDADES FISICOQUÍMICA DE LA DE LAS MEZCLAS GRASAS

“SFC” en función de la Tc



SFC > 50% (25°C)

M. de cacao

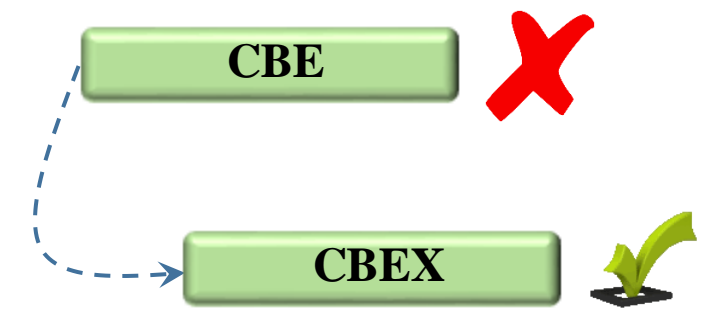
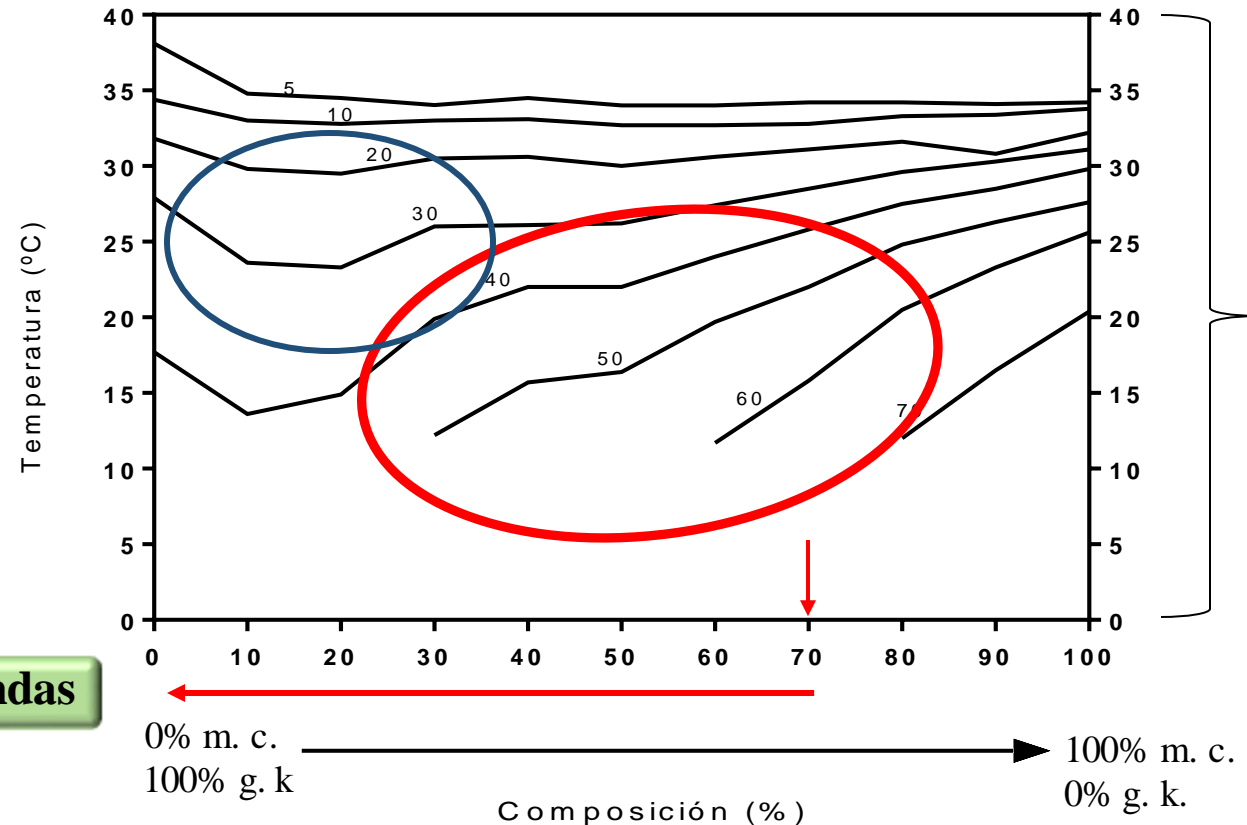
10% g. de karité

20% g. de karité

CBE

SFC < 5% (35°C)

Compatibilidad entre las mezclas de grasa de karité y manteca de cacao



m. c: manteca de cacao
g. k: grasa de karité

Preparación de las muestras

Propiedades físicas de la fase grasa / Potencial de la g. de karité en la elaboración de chocolates

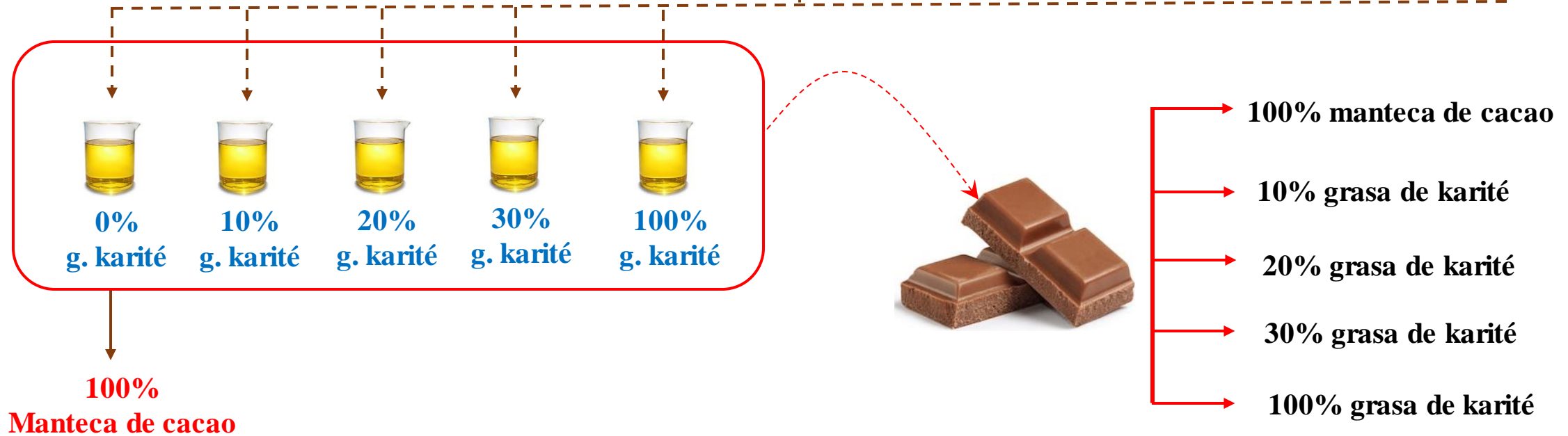


Grasa de Karité



Manteca de cacao

Mezclas



Composición en ácidos grasos “FAME”

FAME	Manteca de cacao	10% Grasa de karité	20% Grasa de karité	30% Grasa de karité	Grasa de karité
C16:0	24,6 ± 0,5	22,5 ± 0,4	20,4 ± 0,5	18,3 ± 0,5	3,50 ± 0,1
C18:0	33,8 ± 0,7	34,6 ± 0,4	35,4 ± 0,7	36,3 ± 0,5	42,1 ± 0,3
C18:1	37,4 ± 0,7	38,5 ± 0,7	39,6 ± 0,7	40,8 ± 0,7	48,6 ± 0,4
C18:2	2,80 ± 0,2	2,90 ± 0,3	3,10 ± 0,1	3,20 ± 0,1	4,10 ± 0,1
C20:0	1,40 ± 0,3	1,50 ± 0,1	1,50 ± 0,1	1,40 ± 0,1	1,70 ± 0,1
St	59,8	58,6	57,3	56,0	47,3
MU	37,4	38,5	39,6	40,8	48,6
PU	2,80	2,90	3,10	3,20	4,10



UE

CBE

Á. grasos insaturados ≤ 45 %

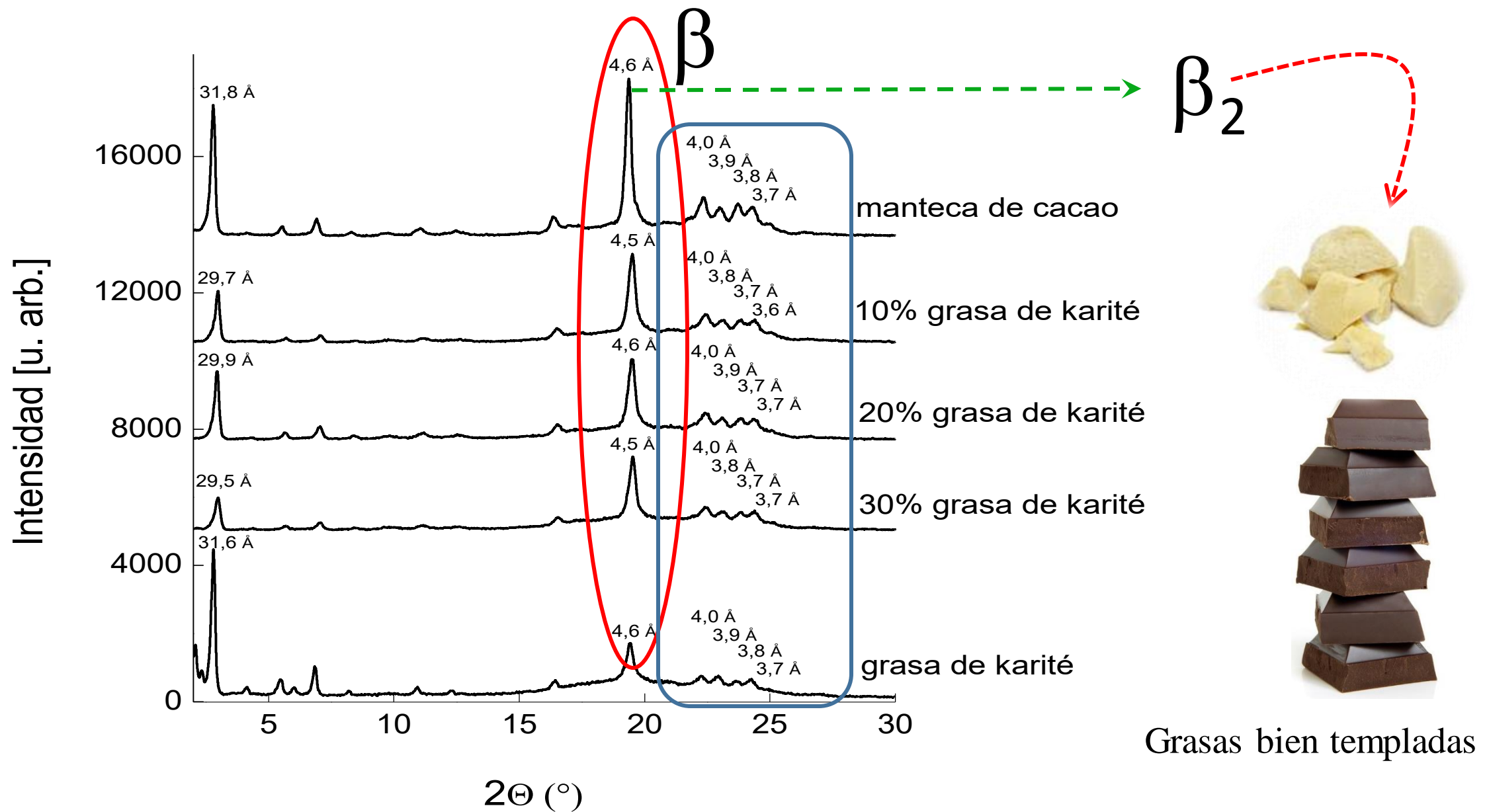
Composición en triglicéridos (TAG)

Tabla 3.2. Contenido de TAG presentes en la grasa de karité, la manteca de cacao y sus mezclas.

TAG	manteca de cacao	10% grasa de karité	20% grasa de karité	30% grasa de karité	grasa de karité
OOO	0,20	1,20	2,40	3,50	11,2
POO	1,80	1,60	1,50	1,30	0,20
POP	18,3	16,7	14,3	12,8	0,10
SOO	2,10	4,50	12,8	16,6	26,3
POS	43,0	39,2	35,6	31,7	5,20
SOS	25,7	26,5	28,30	29,5	38,4
SOA	0,90	1,30	1,60	1,90	4,30
Otros	8,00	9,00	3,5	2,70	14,3
→ StUSt	87,9	< 83,7	< 79,8	< 75,9	< 48,3

Abreviaturas: A: ácido araquídico (C20:0); B: ácido behénico (C22:0); L: ácido linoleico (C18:2); O: ácido oleico (C18:1); P: ácido palmítico (C16:0); S: ácido esteárico (C18:0); St = saturado y U = insaturado. La desviación estándar (DE) fue menor a 1%.

Comportamiento polimórfico de la fase grasa



Resultados

*CARACTERIZACIÓN DE LAS
PROPIEDADES FISICAS Y POLIMORFICAS*

CHOCOLATES

<i>Ingredientes</i>	<i>%</i>
Masa de cacao	30
Sacarosa	54,6
Lecitina	0,4
Grasa añadida	15

15,6 % manteca de cacao

10% g. de karité

20% g. de karité

30% g. de karité

100% m. de cacao

30,6% grasa total



Caracterización de los chocolates

Observación visual de los chocolates

(a) 24 h después de la preparación				
				
manteca de cacao	10 % grasa de karité	20 % grasa de karité	30 % grasa de karité	grasa de karité
(b) 1 año después de la preparación				
				
manteca de cacao	10 % grasa de karité	20 % grasa de karité	30 % grasa de karité	

Blooming

β_2

Lenta

β_1



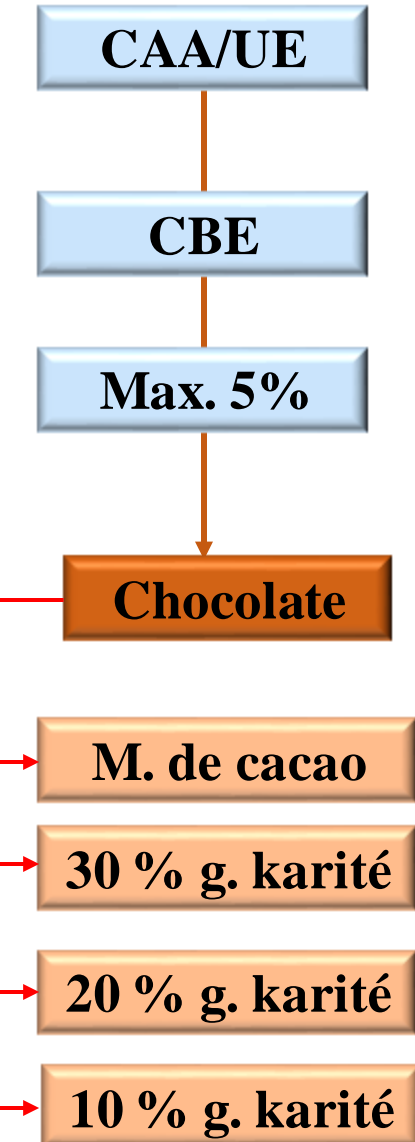
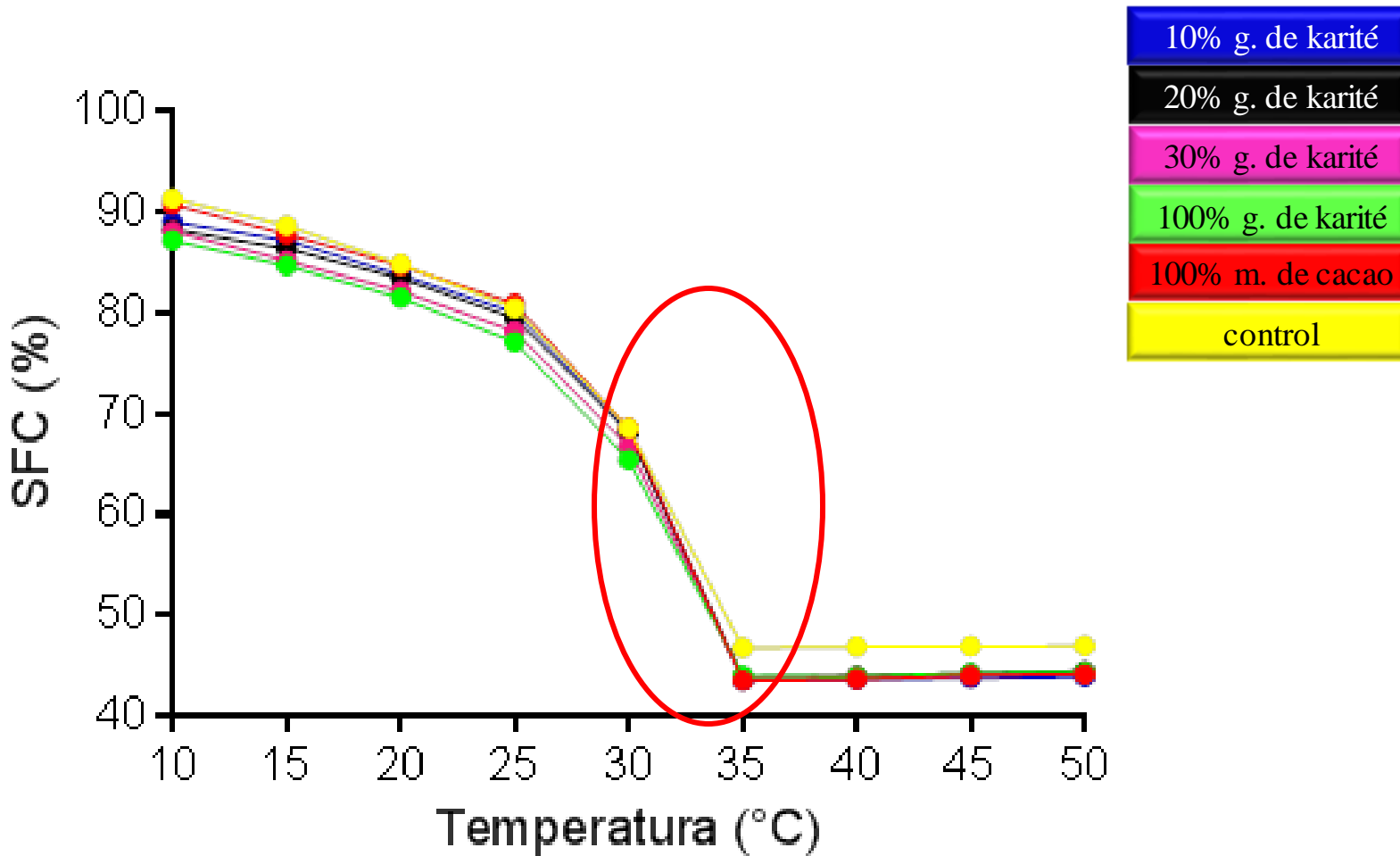
β_2

Templado



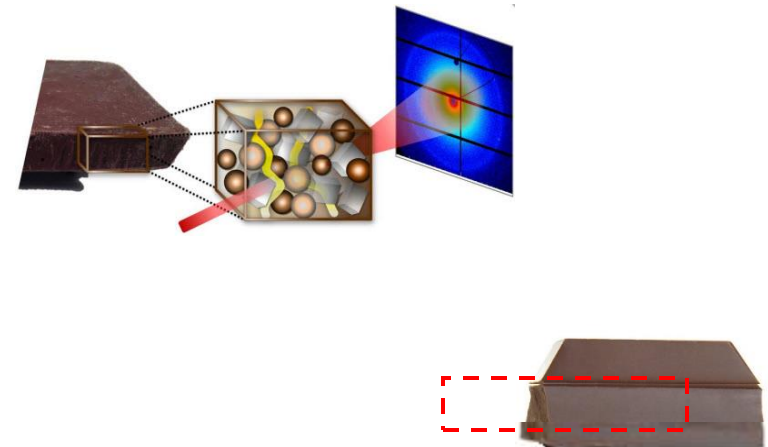
Caracterización de los chocolates

“SFC” de los chocolates

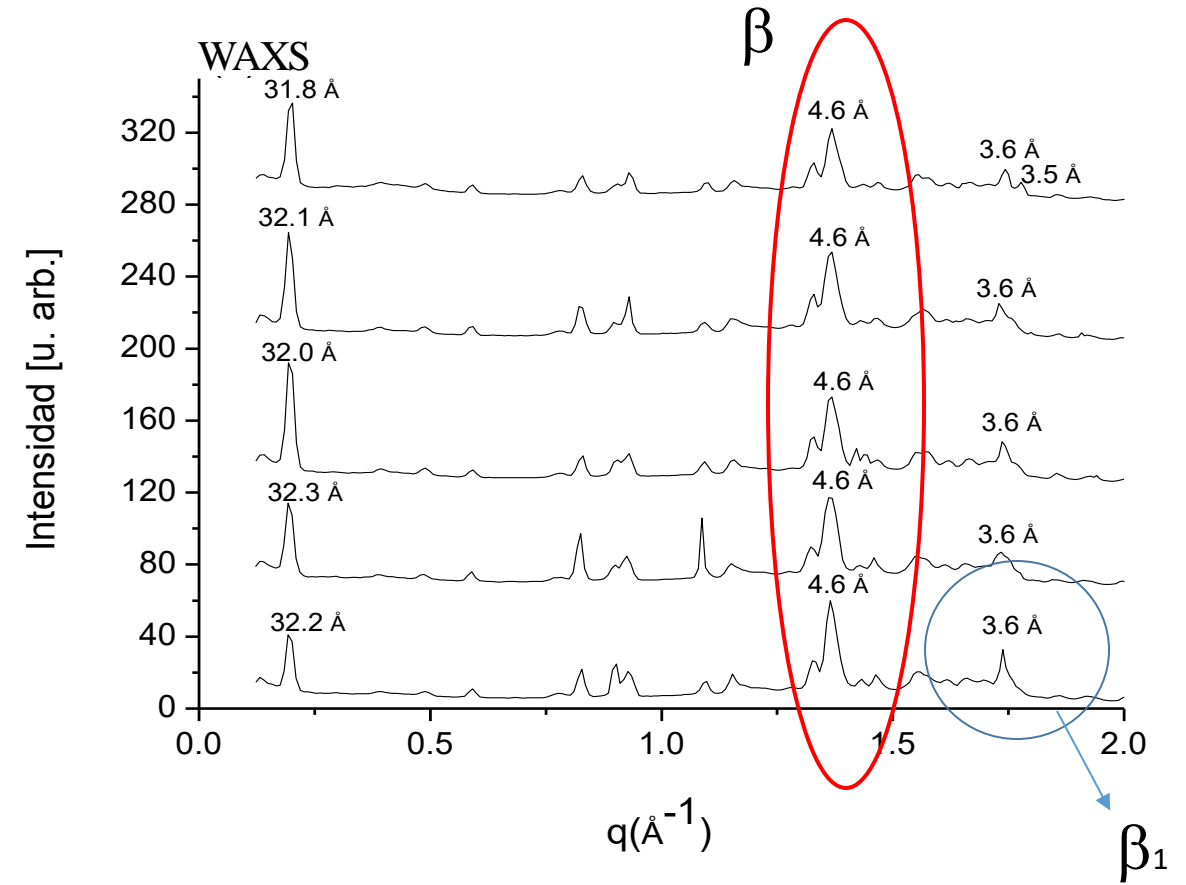
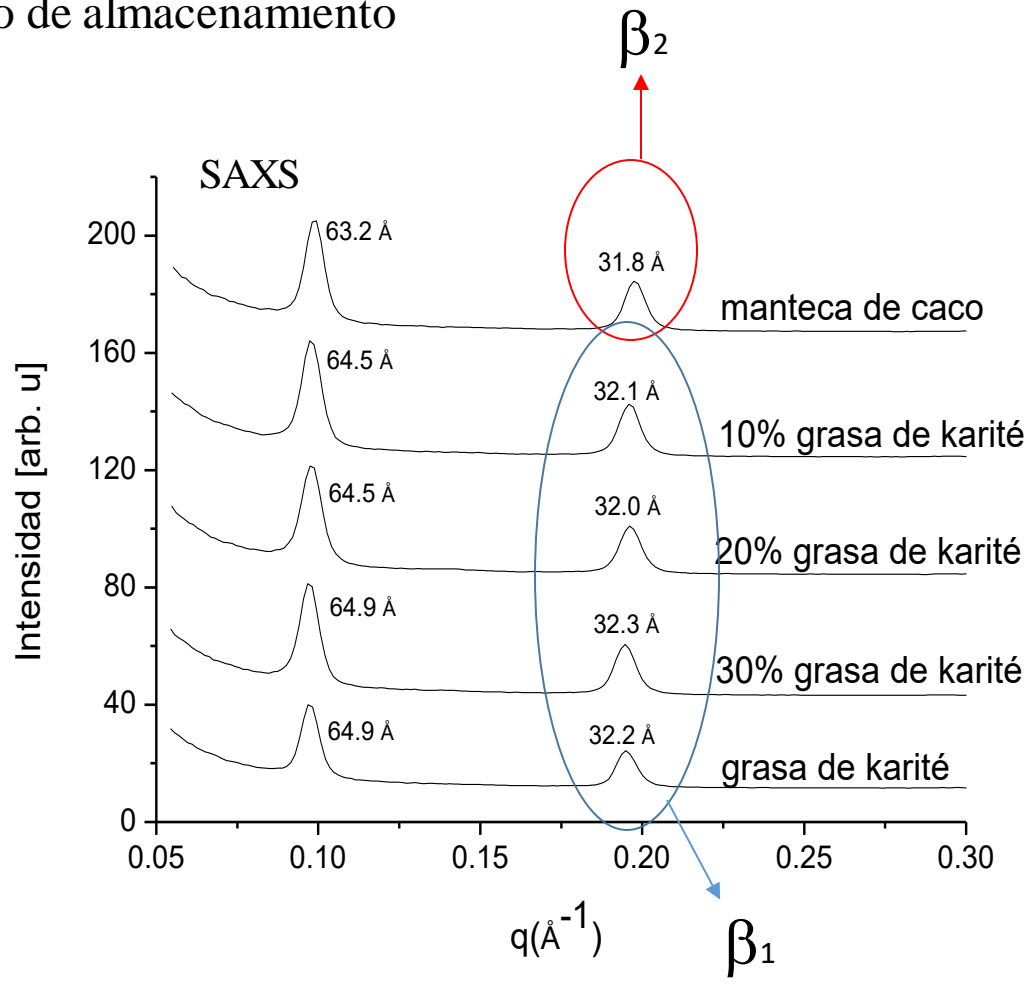


Caracterización de los chocolates

Comportamiento polimórfico SAXS/WAXS

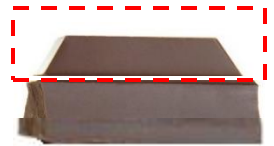


1 año de almacenamiento

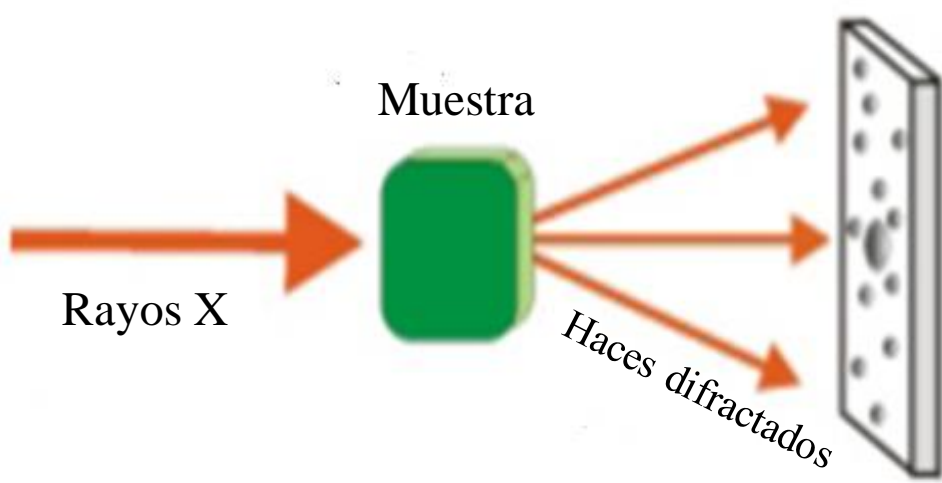


Caracterización de los chocolates

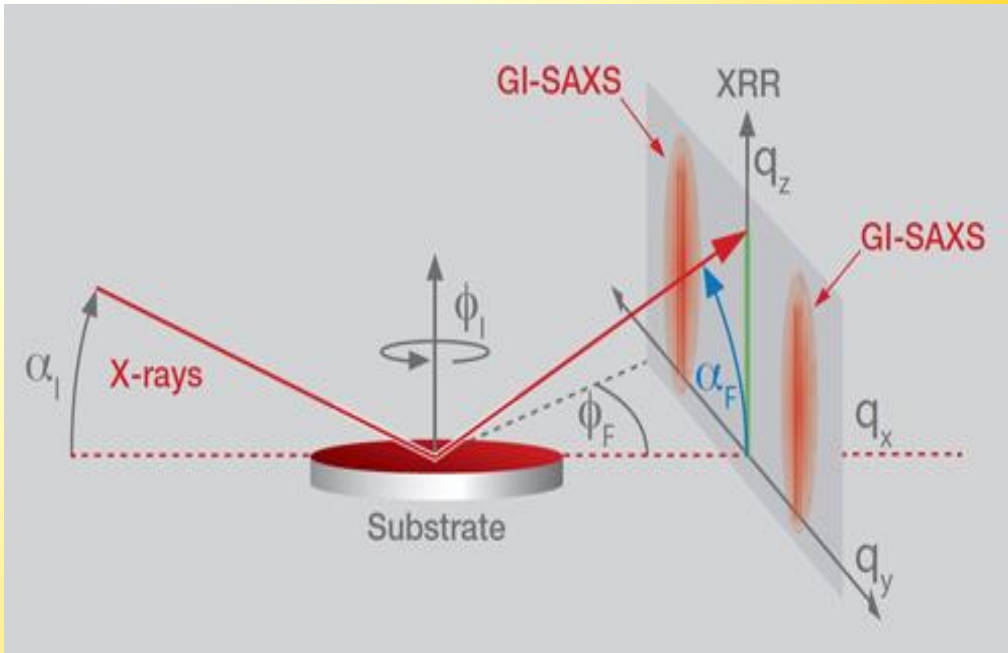
Comportamiento polimórfico GISAXS/GIWAXS



SAXS/WAXS



GISAXS/GIWAXS



Caracterización de los chocolates

Comportamiento polimórfico GISAXS/GIWAXS



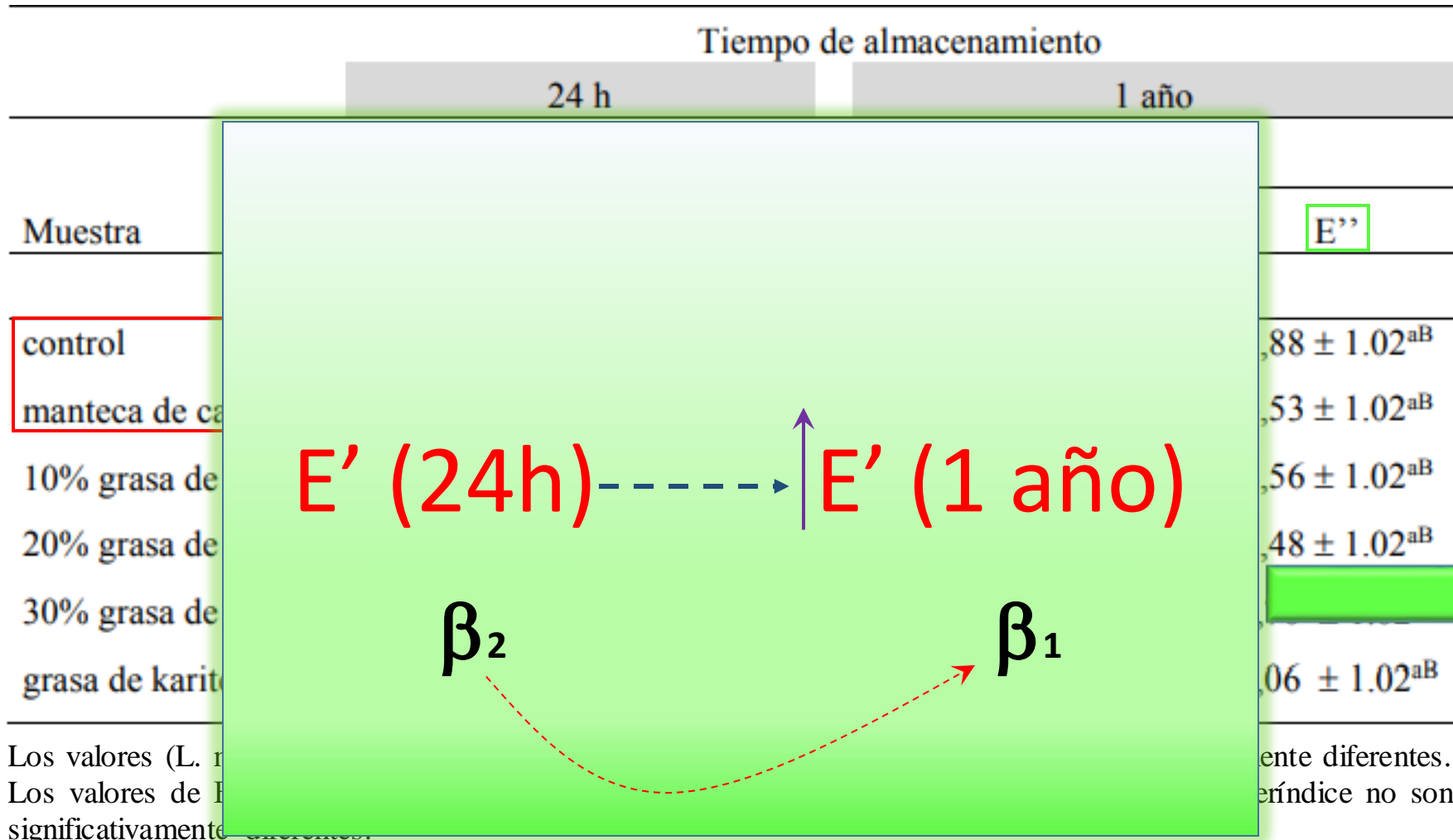
β_2

$\beta 1$



Caracterización de los chocolates

“DMA” de los chocolates

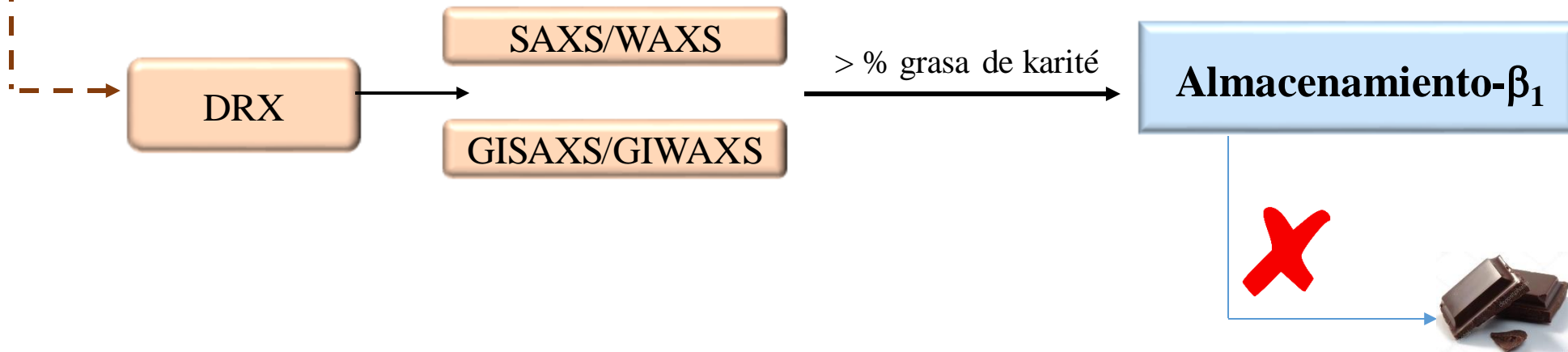
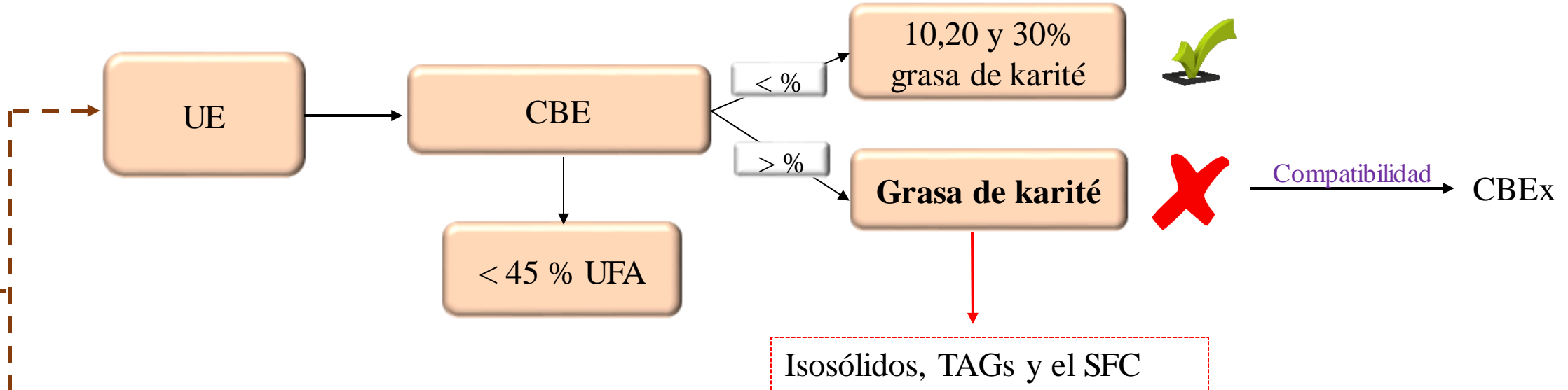


$\Delta E'$ y E''

Cambios estructurales

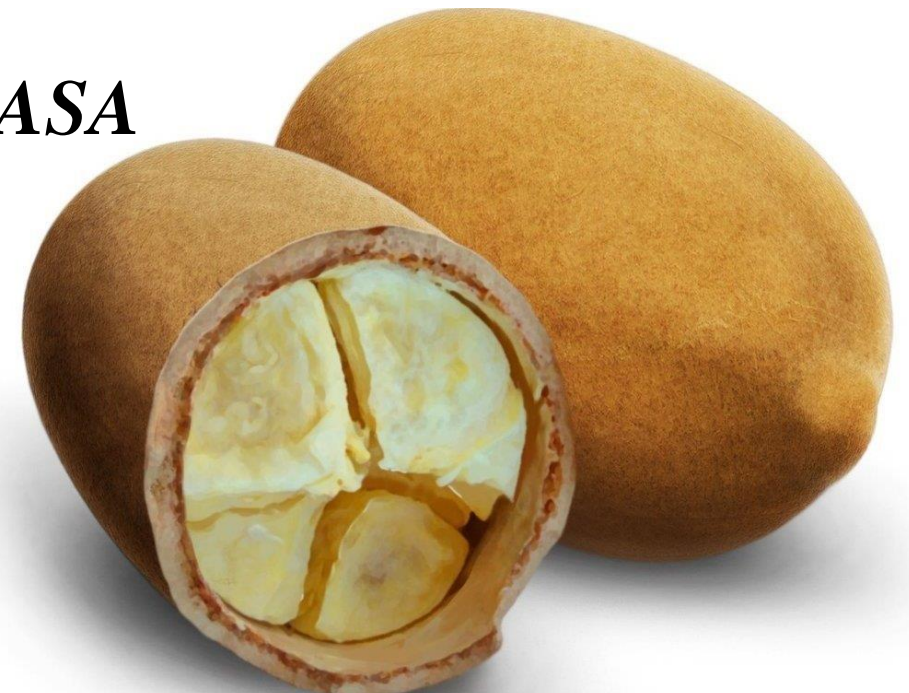
Microestructura cristalina

Conclusiones parciales



Resultados

*CARACTERIZACIÓN FISICOQUÍMICA GRASA
DE CUPUASSU Y SUS FRACCIONES
ESTEARINAS Y OLEINAS*



Fraccionamiento de la grasa de cupuassu

Temperatura (°C)	Esterina (%)	Oleína (%)
29	9,2	90,8
26	23,3	76,6
24	36,5	63,5



$$\text{Fuerza impulsora} = T_f - T_c^*$$

A temperaturas más bajas, los ácidos grasos de alto punto de fusión cristalizan más rápido

Composición en Ácidos grasos “FAME”

FAME	Grasa de Cupuassu	> P _f					
		Esterinas			Oleínas		
		29°C	26°C	24°C	29°C	26°C	24°C
C16:0	6,71±0,05 ^{a,c}	7,09±0,01 ^b	6,95±0,05 ^{b,c}	6,86±0,11 ^{a,c}	6,83±0,07 ^{b,c}	6,69±0,01 ^{a,c}	6,55±0,09 ^a
C18:0	30,12±0,06 ^{a,c}	34,40±0,01 ^b	30,69±0,02 ^c	30,18±0,38 ^{d,a}	28,98±0,04 ^{e,d}	28,70±0,01 ^{e,d}	28,41±0,01 ^e
C18:1	43,67±0,03 ^a	39,90±0,07 ^b	43,71±0,04 ^a	43,29±0,47 ^{a,c}	44,97±0,02 ^{c,d}	45,12±0,08 ^{c,d}	45,41±0,00 ^d
C18:2	5,97±0,03 ^a	5,21±0,00 ^b	5,65±0,00 ^c	5,96±0,08 ^{a,d}	6,15±0,05 ^{a,d}	6,28±0,04 ^{d,e}	6,40±0,02 ^e
C20:0	10,27±0,06 ^{a,b}	10,63±0,18 ^b	10,25±0,01 ^{a,c}	10,71±0,25 ^{a,b}	9,94±0,03 ^{a,c}	9,81±0,02 ^{a,c}	9,57±0,01 ^a
C22:0	1,77±0,01 ^{a,b}	1,73±0,01 ^a	1,73±0,99 ^a	1,85±0,05 ^b	1,73±0,03 ^{a,b}	1,74±0,02 ^{a,b}	1,71±0,01 ^c

Composición en Triglicéridos (TAG)

TAG	Grasa de cupuassu (%)	Esterinas			Oleínas		
		29 °C	26 °C	24 °C	29 °C	26 °C	24 °C
PLP	1,14±0,03 ^a	1,76±0,87 ^a	1,34±0,29 ^a	1,20±0,15 ^a	1,34±0,11 ^a	1,26±0,01 ^a	1,18±0,09 ^a
PLO	1,56±0,10 ^{a,b}	1,40±0,14 ^a	1,64±0,31 ^{a,b}	1,63±0,24 ^{a,b}	2,44±1,16 ^{a,b}	2,66±0,69 ^b	1,88±0,42 ^{a,b}
LOO	5,87±0,07 ^a	4,81±0,80 ^b	5,07±0,33 ^{a,b}	5,60±0,11 ^{a,b}	5,52±0,09 ^{a,b}	5,62±0,91 ^{a,b}	5,56±0,13 ^{a,b}
OOO	3,24±0,15 ^a	2,53±0,42 ^{a,b}	2,48±0,21 ^b	2,74±0,17 ^{a,b}	2,71±0,26 ^{a,b}	2,76±0,70 ^{a,b}	2,72±0,24 ^{a,b}
OPO	6,41±0,04 ^a	3,91±2,27 ^b	4,44±0,08 ^b	5,22±0,61 ^{a,b}	4,66±0,12 ^b	5,20±1,74 ^{a,b}	4,80±0,11 ^b
POP	1,45±0,11 ^a	1,47±0,61 ^a	1,17±0,84 ^{a,b}	1,30±0,22 ^{a,b}	0,77±0,08 ^{a,b}	0,93±0,17 ^{a,b}	0,71±0,19 ^b
OOS	21,65±1,27 ^{a,c,d}	18,84±1,08 ^b	19,54±0,19 ^{a,b}	20,44±0,08 ^{a,b,c}	22,31±1,08 ^{c,d}	23,60±0,71 ^d	21,94±0,86 ^{c,d}
SOL	3,35±0,18 ^a	2,45±0,37 ^b	2,43±0,30 ^b	2,65±0,31 ^b	2,57±0,19 ^b	3,37±0,11 ^a	2,62±0,20 ^b
POS	9,91±0,50 ^a	9,40±0,45 ^a	9,11±0,99 ^a	9,32±0,81 ^a	8,64±0,16 ^{a,b}	8,46±0,98 ^{a,b}	7,51±0,53 ^b
OOA	7,24±0,42 ^a	7,08±0,57 ^a	8,00±0,37 ^{a,b}	8,33±0,57 ^{a,b}	8,56±0,62 ^{a,b}	9,80±2,22 ^b	9,13±0,09 ^{a,b}
OLL	0,48±0,02 ^a	0,80±0,08 ^{a,b}	0,81±0,25 ^{a,b}	0,62±0,26 ^a	1,07±0,03 ^{a,b,c}	1,66±0,57 ^c	1,20±0,39 ^{b,c}
SOS	18,86±0,51 ^a	23,70±1,06 ^d	25,73±0,19 ^c	20,23±0,32 ^{a,b}	21,98±0,47 ^c	20,84±1,04 ^{b,c}	20,04±0,61 ^{a,b}
SOA	11,58±1,51 ^{a,b,c}	12,65±0,39 ^b	12,40±0,38 ^{b,c}	11,38±0,20 ^{a,b,c}	10,83±1,11 ^{a,c,d}	9,51±0,42 ^d	9,87±1,83 ^{a,d}
SOB	1,28±0,96 ^{a,b}	2,42±0,60 ^b	2,30±0,96 ^b	1,50±0,76 ^{a,b}	1,08±0,32 ^a	0,77±0,40 ^a	0,67±0,74 ^a
Otros	5,98	6,78	3,54	7,84	5,52	3,56	10,17
StUSt	44,24	51,4	52,05	44,93	44,64	41,77	39,98
StUU	40,21	33,68	36,05	38,27	40,54	44,63	40,37
UUU	9,59	8,14	8,36	8,96	9,3	10,04	9,48

Fraccionamiento 

G. de cupuassu

E-29

E-26

E-24

O-29

O-26

O-24

Equivalentes de manteca de cacao (CBE)

Unión Europea 2000/36

TAGs de tipo StUSt \geq a 65 %



Ácidos grasos insaturados \leq 45 %



Ácidos grasos poliinsaturados \leq 5 %

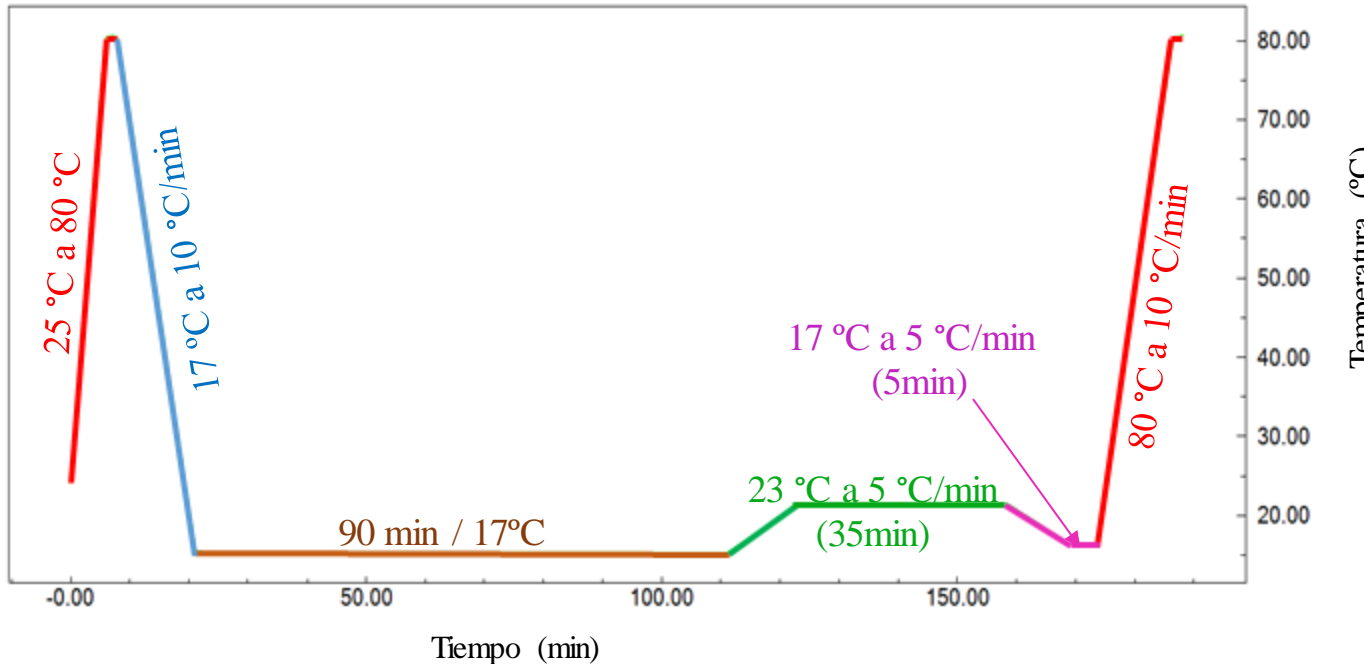


Extendendor de la manteca de cacao



Comportamiento polimórfico SAXS/WAXS

Ciclo térmico 17/23 °C



Grasas

> TAGs St

> SFC (masas aireadas)



Grasa de cupuassu

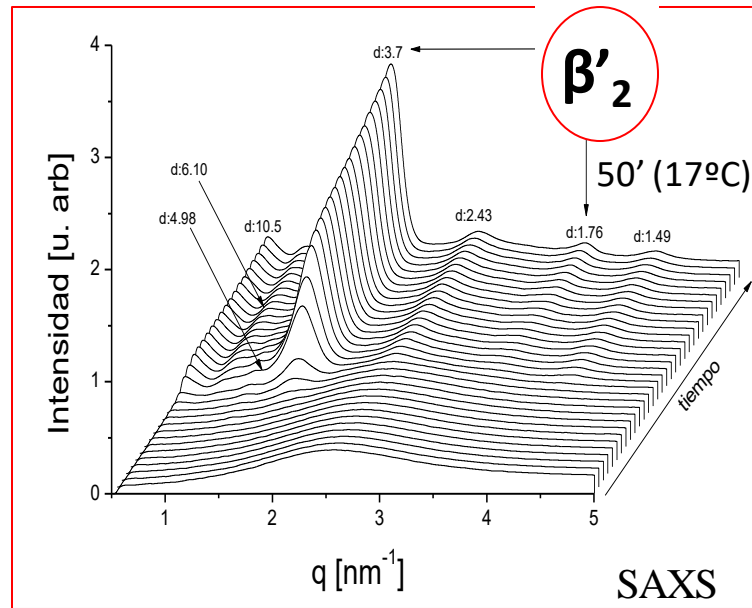
Esterina a 29°C

Esterina a 26°C

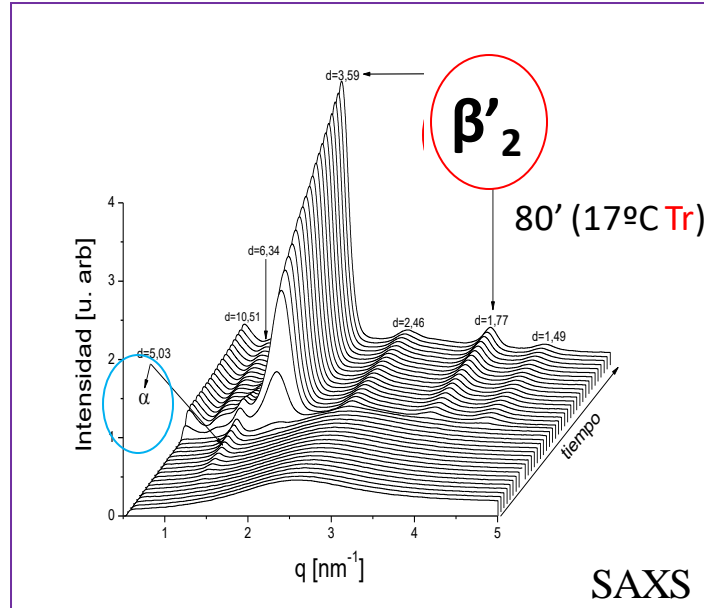
Esterina a 24°C

Ciclo térmico 17/23 °C

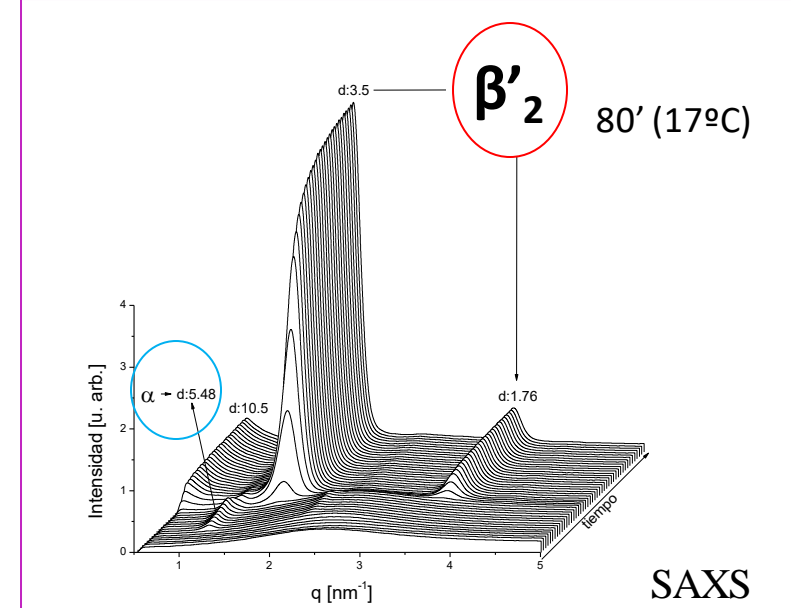
Grasa de cupuassu



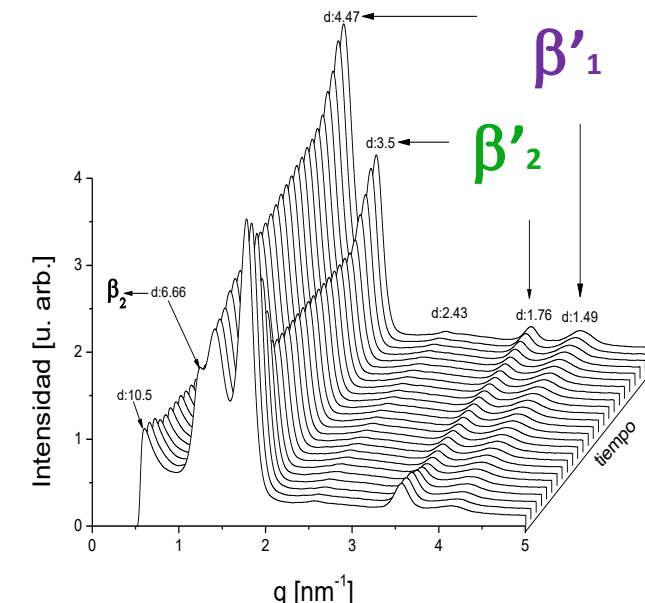
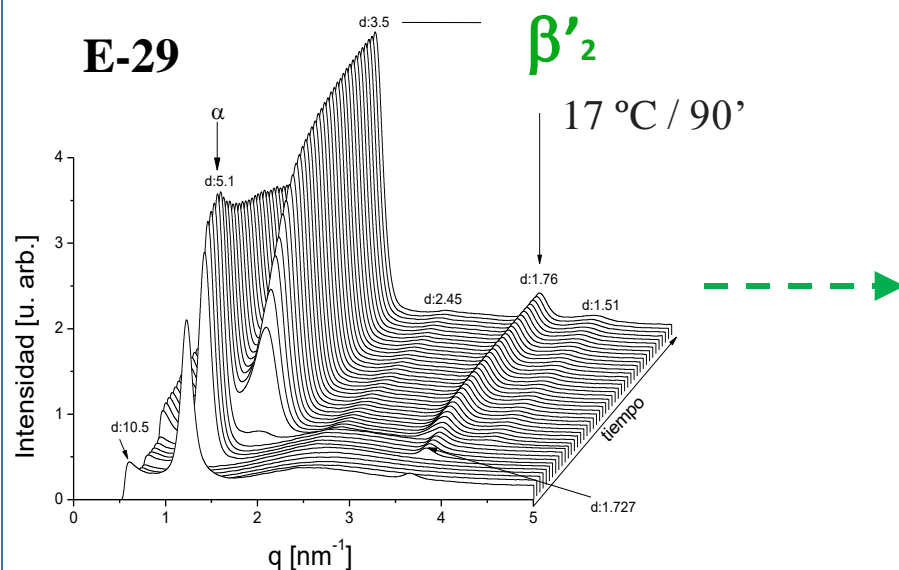
E-24



E-26



E-29



23 °C / 35 min
17 °C / 5 min

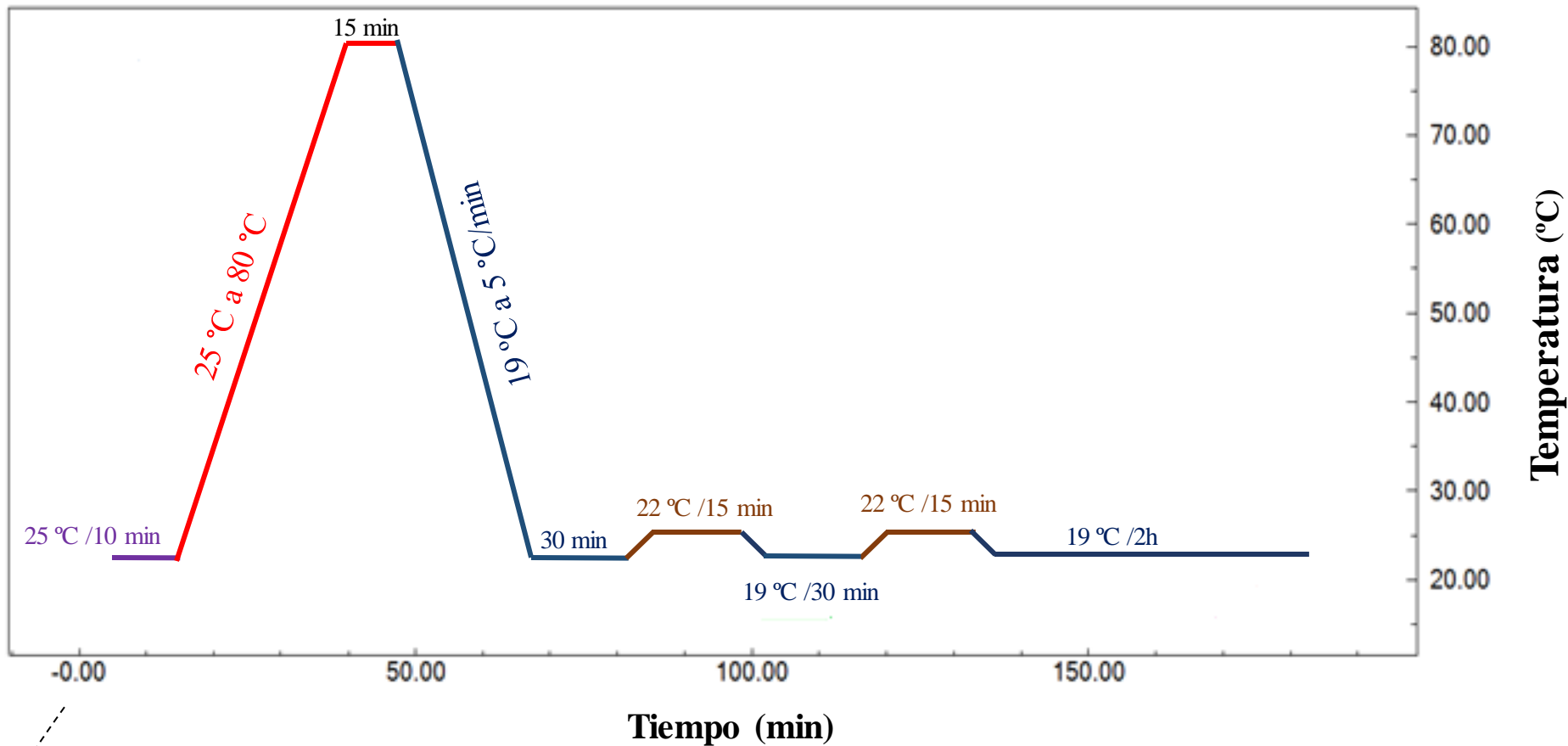
β_2/β_1 X

E-29: < oleico y linoleico
> esteárico

TAGs : SOS > StUSt (estables)

Comportamiento polimórfico SAXS/WAXS

Ciclo térmico 19/22°C



→ > TAGs con mayor diferencias

Grasa de cupuassu

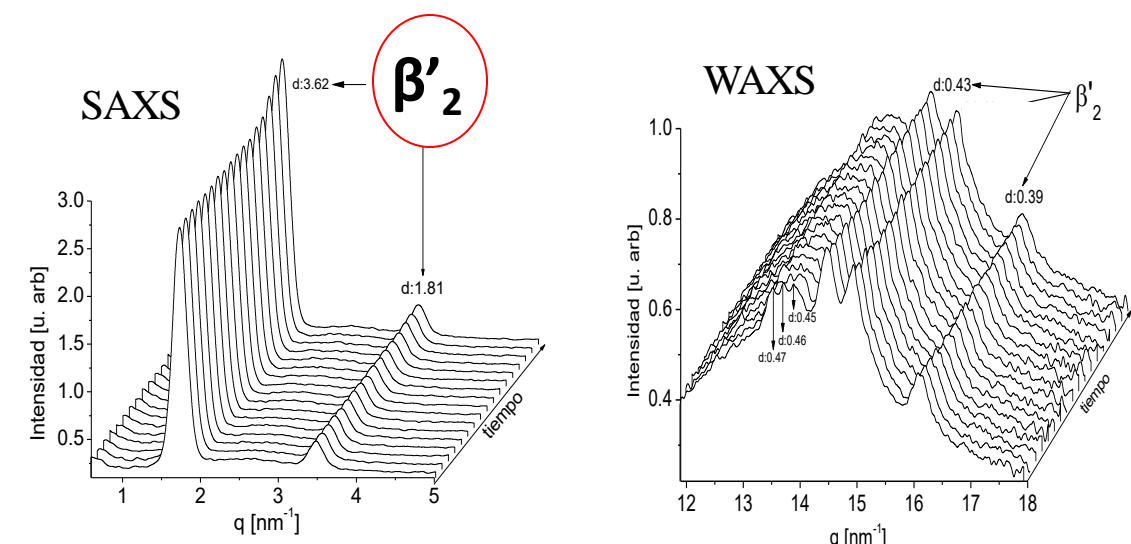
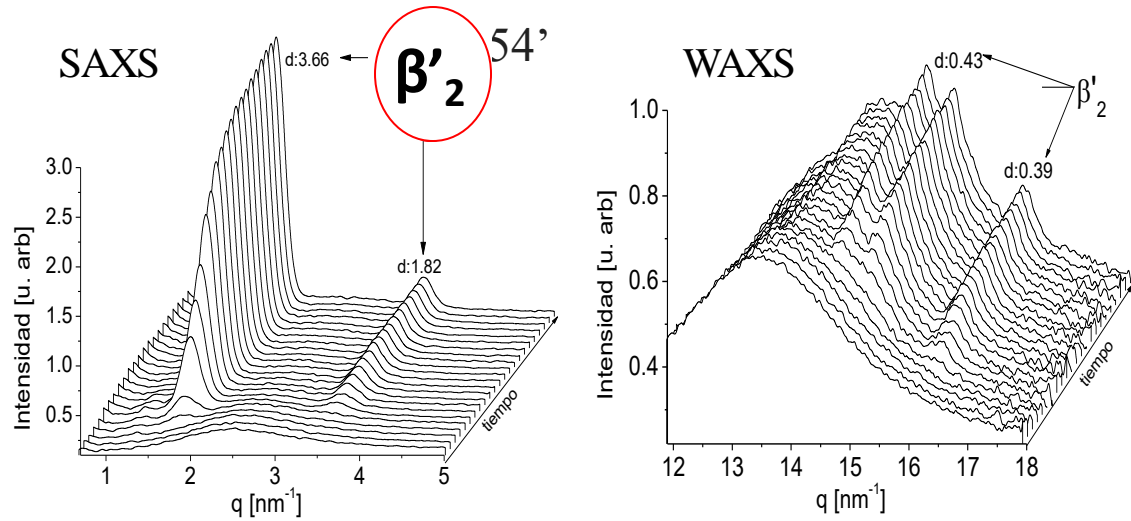
Esterina a 29°C

Esterina a 29°C / S-170

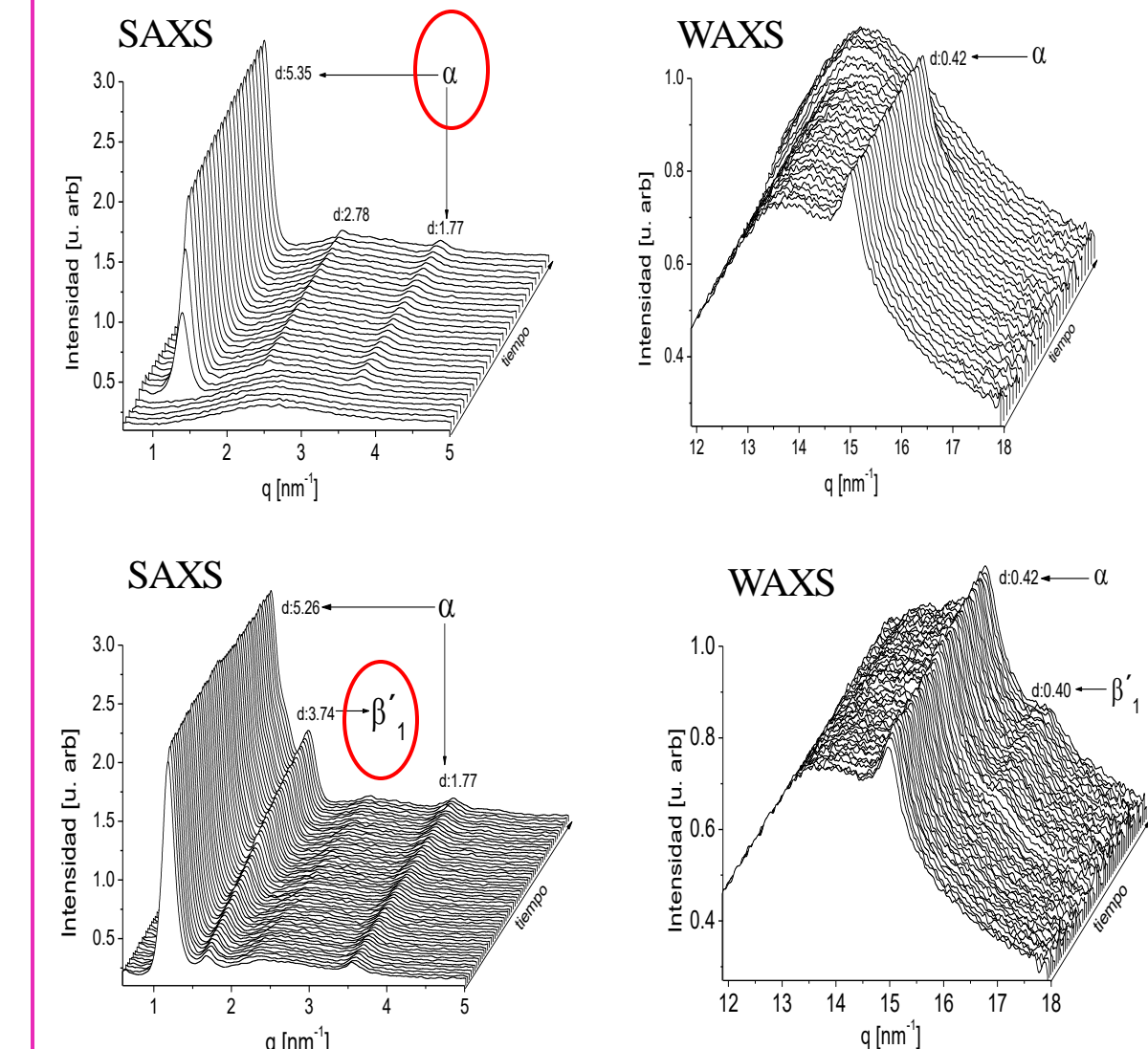
Comportamiento polimórfico SAXS/WAXS

Ciclo térmico 19/22°C

Grasa de cupuassu



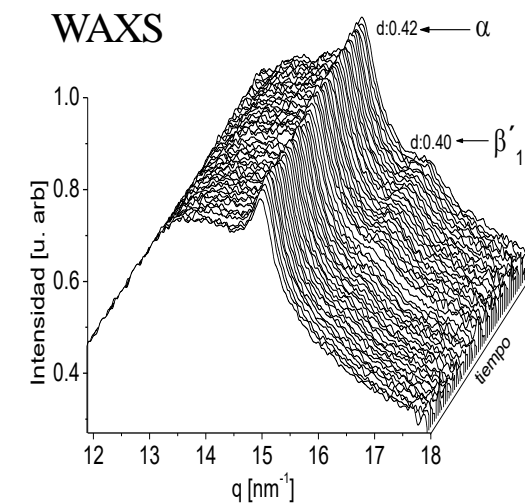
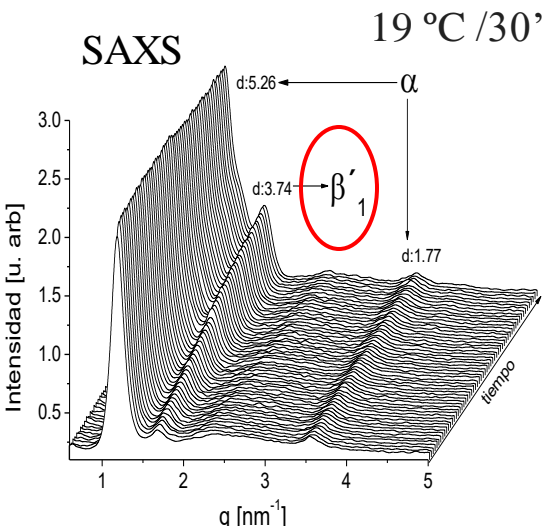
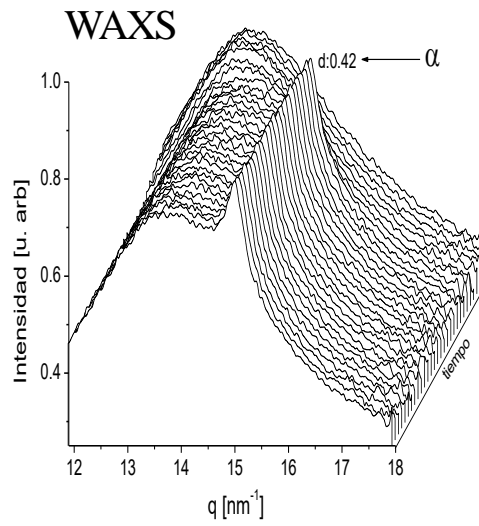
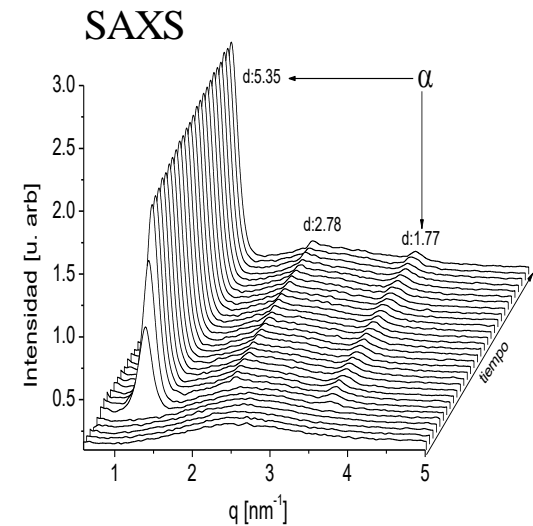
E-29



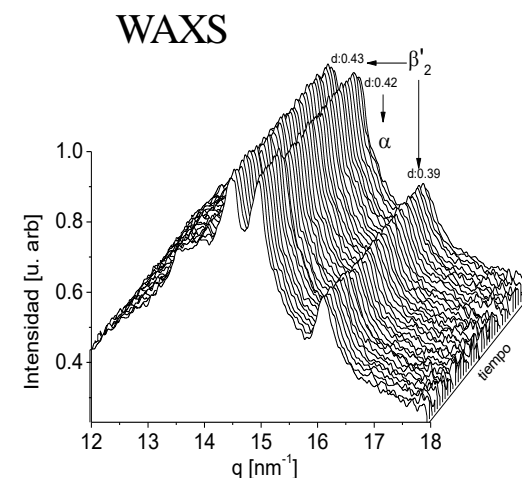
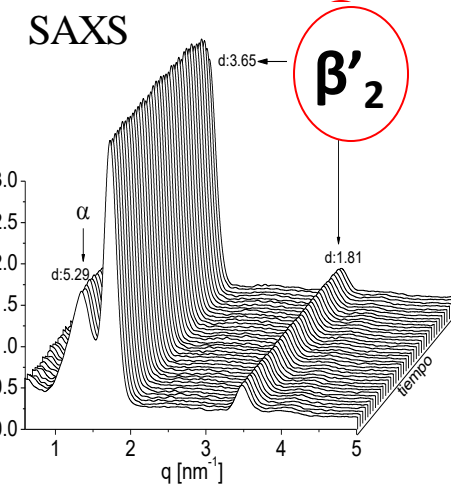
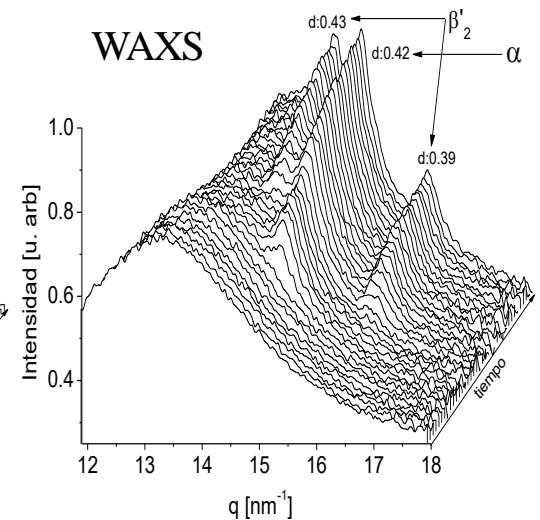
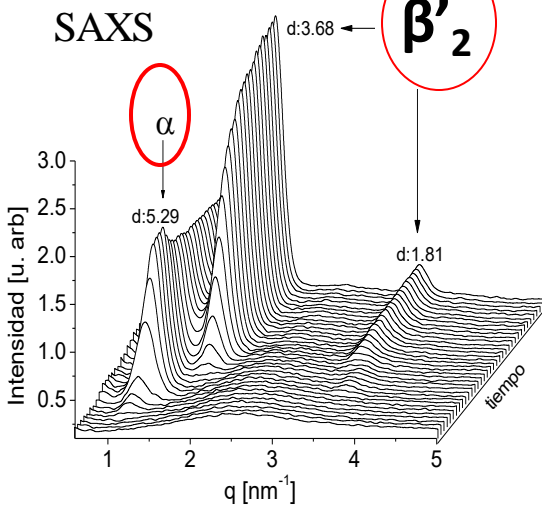
Comportamiento polimórfico SAXS/WAXS

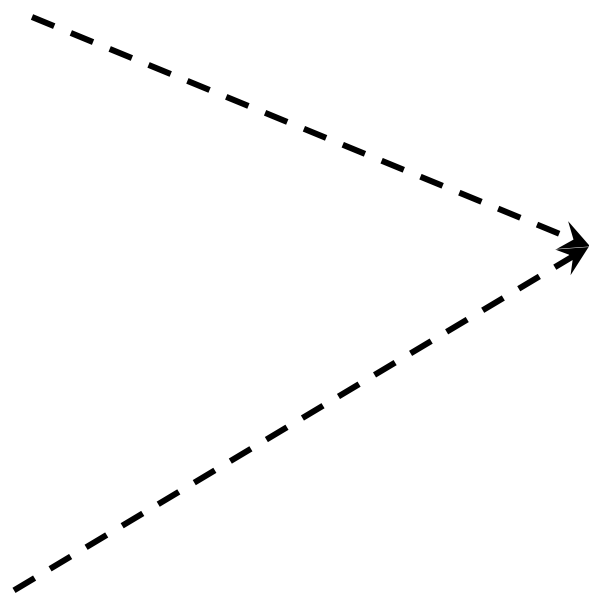
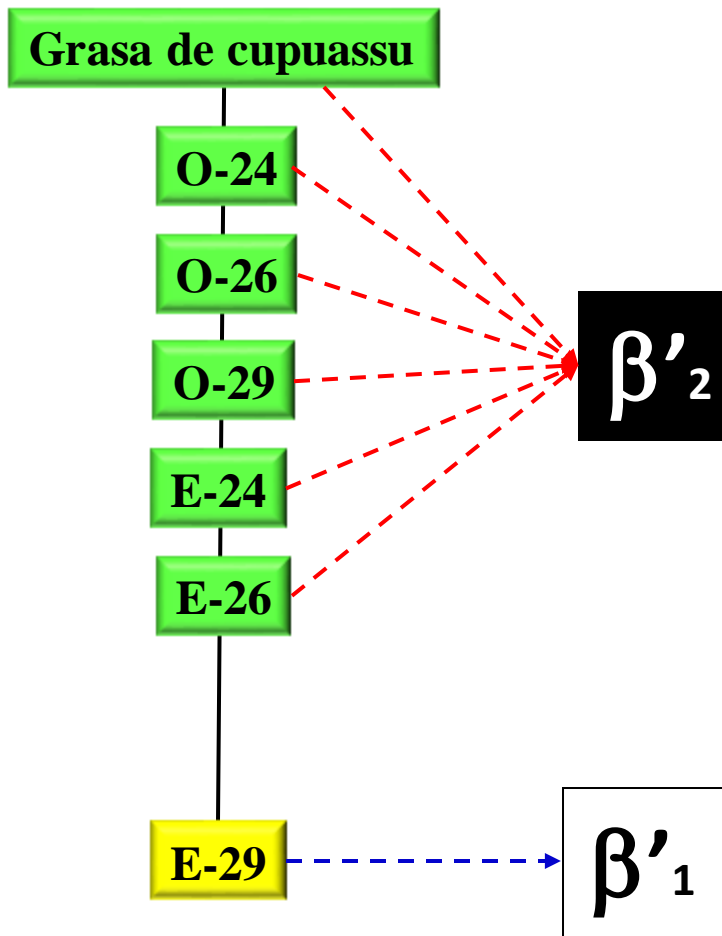
Ciclo térmico 19/22°C

E-29

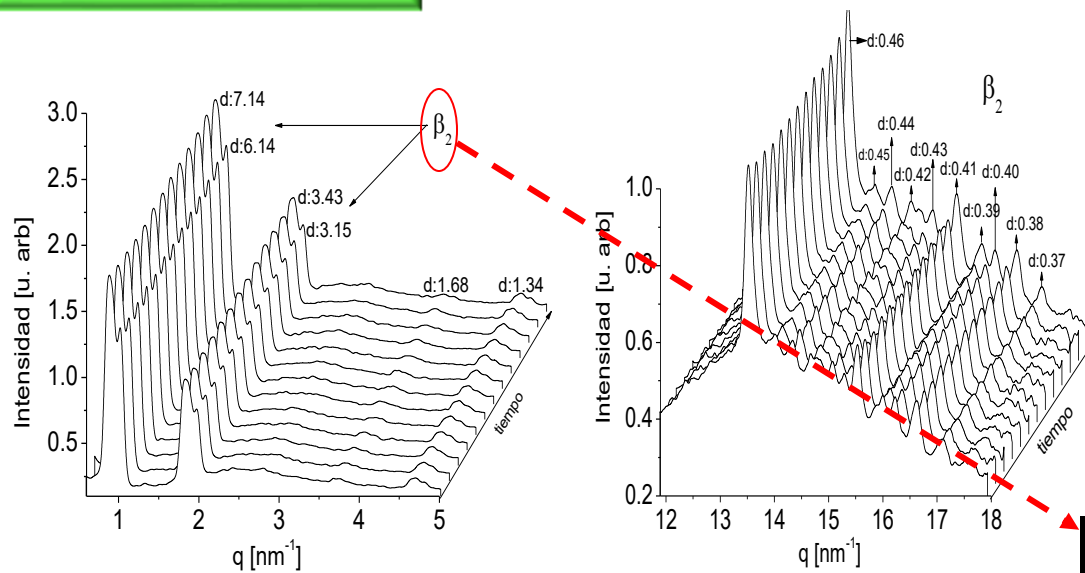


E-29 con S-170

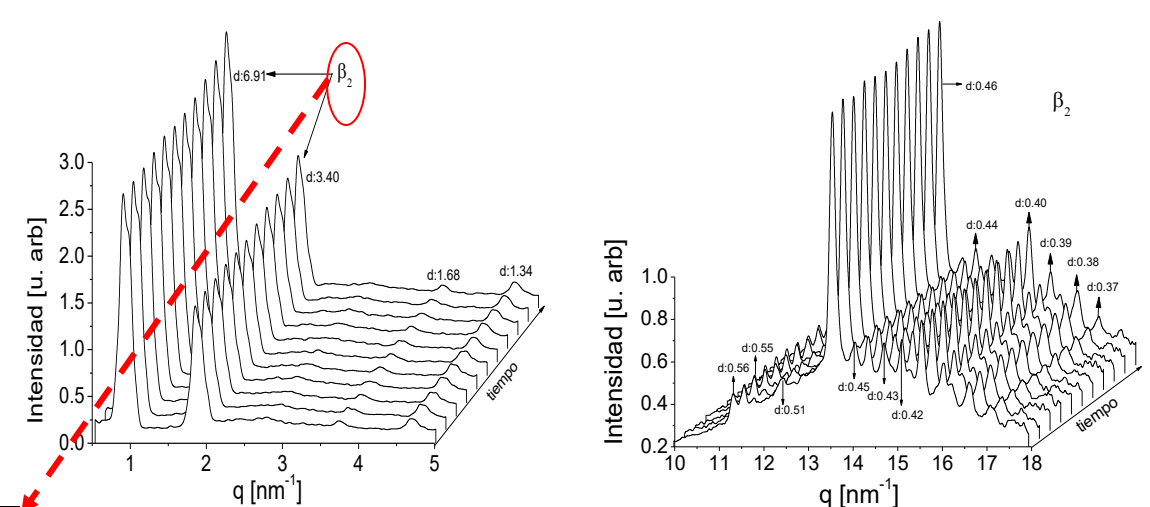




Grasa de cupuassu

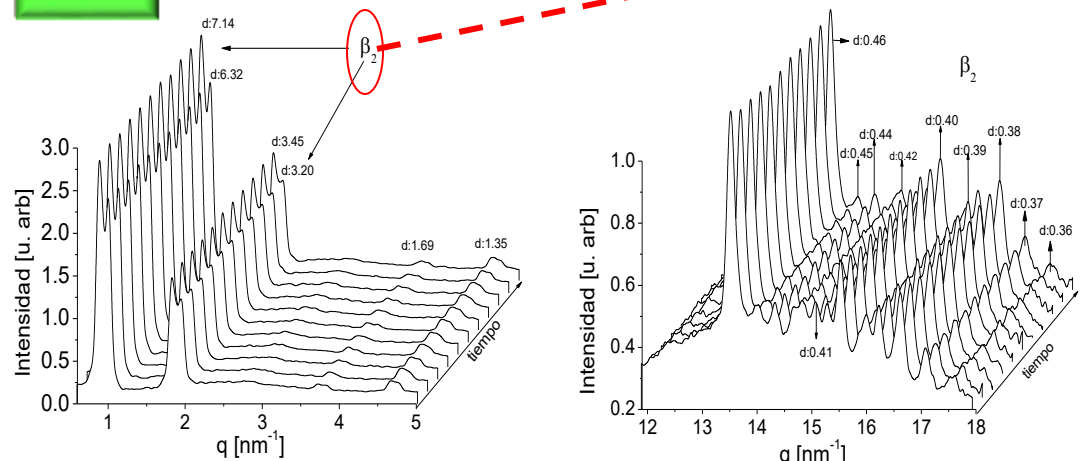


O-26

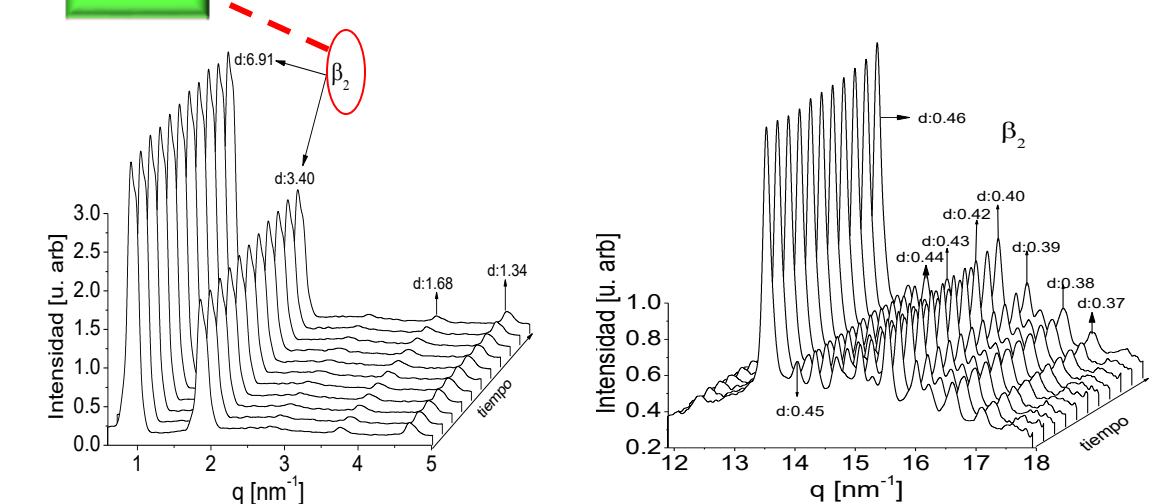


β_2

O-24

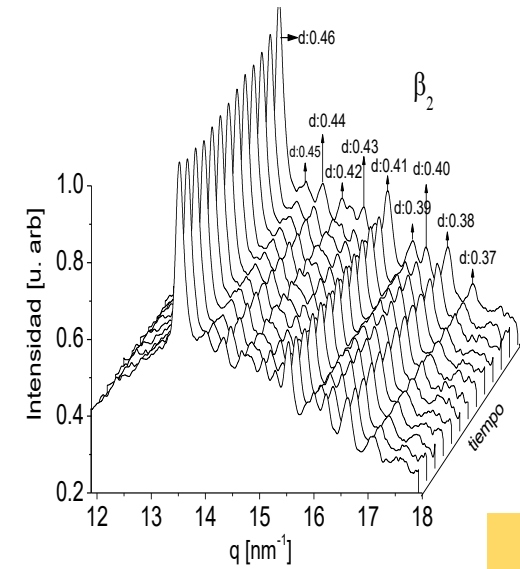
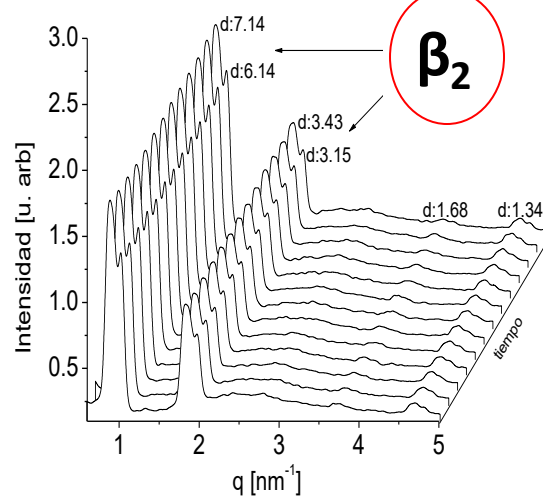


O-29

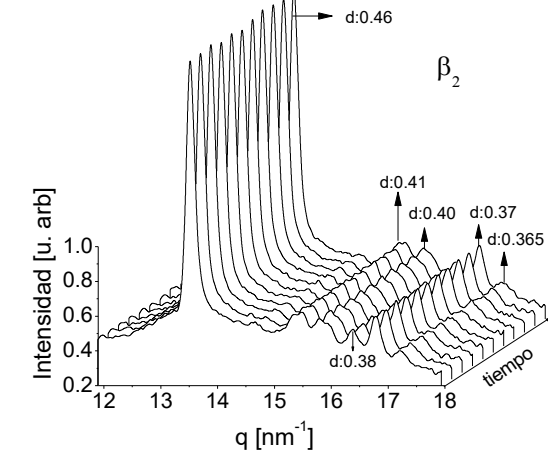
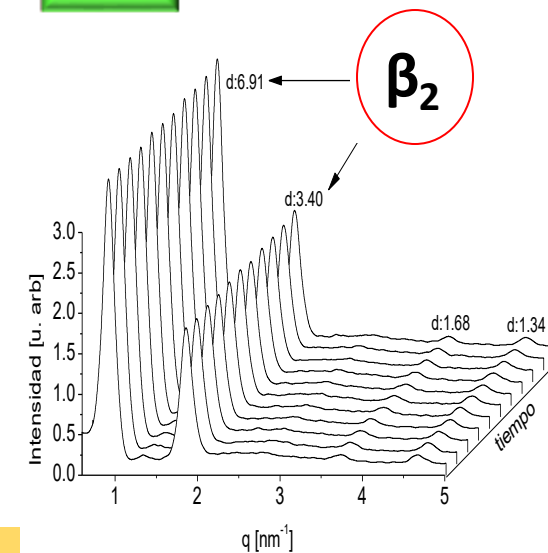


Almacenamiento a 25°C por 90 días

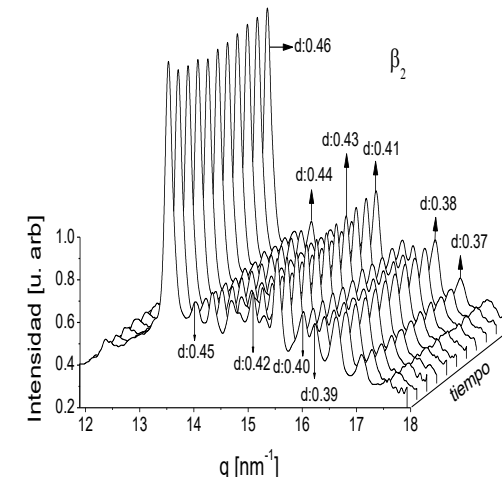
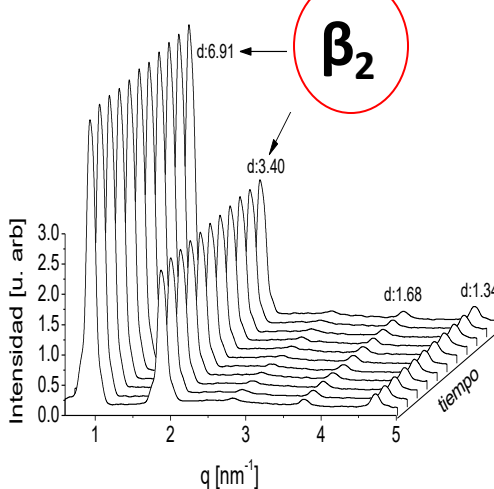
Grasa de cupuassu



E-26

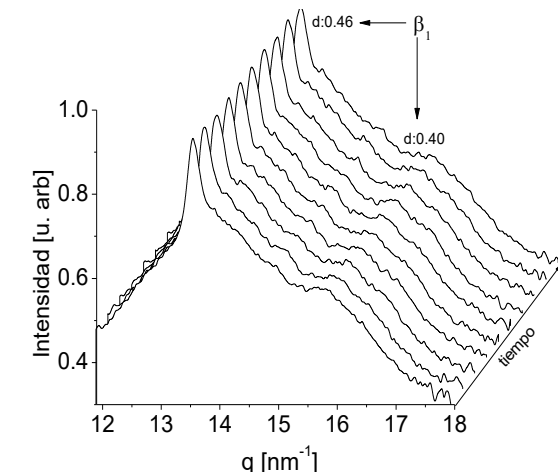
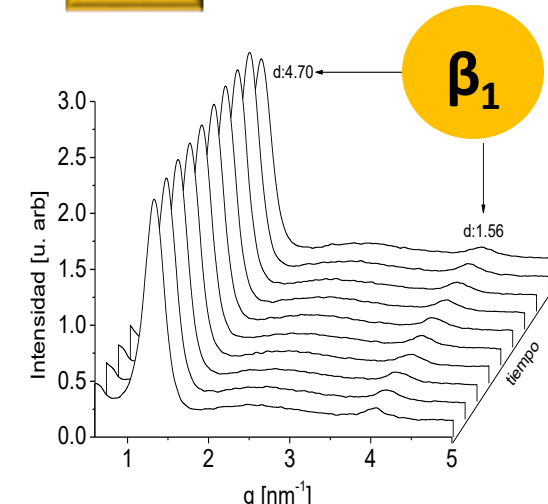


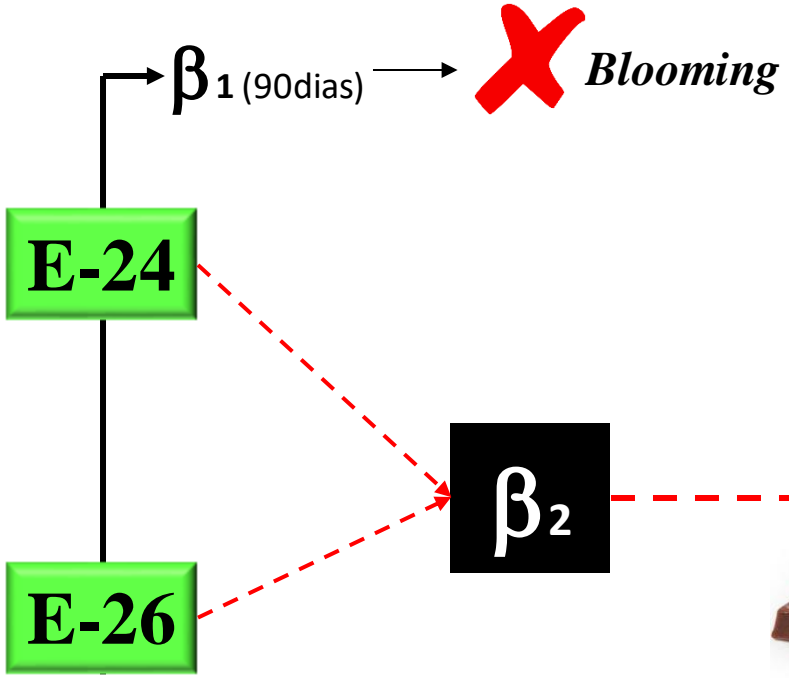
E-24

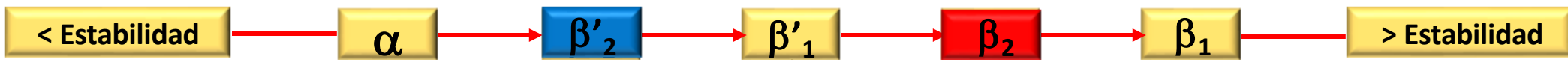


β_1

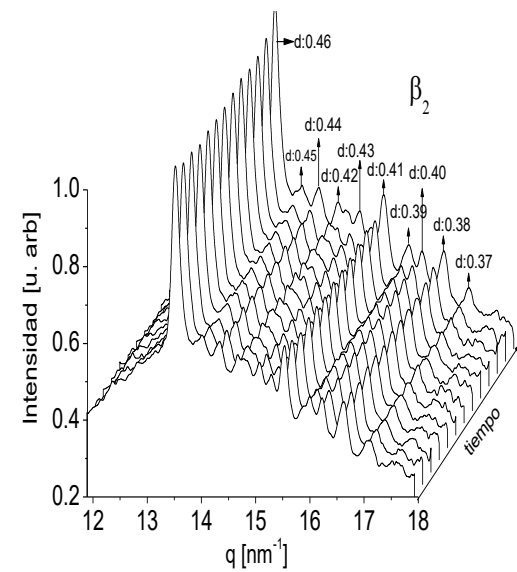
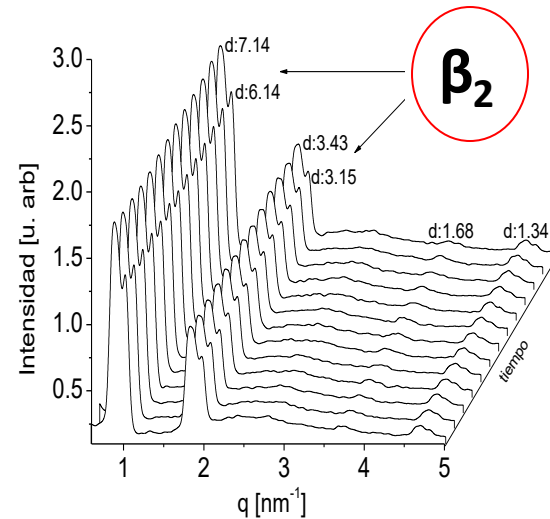
E-29



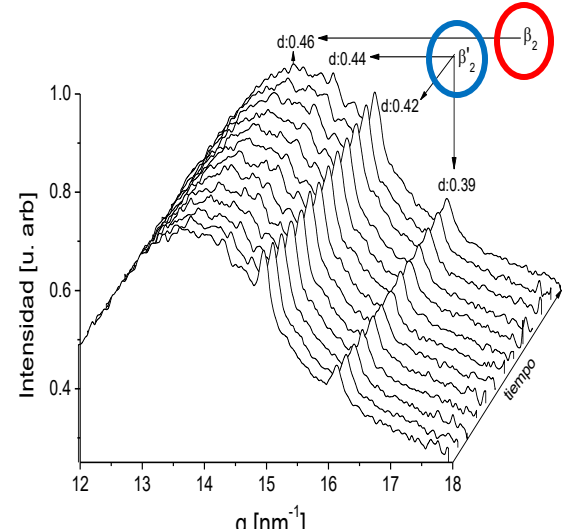
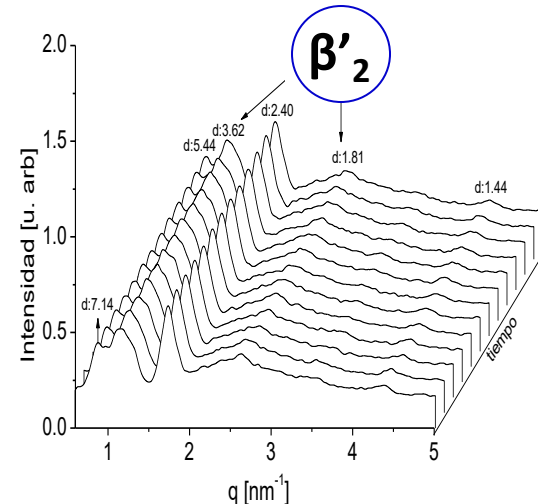




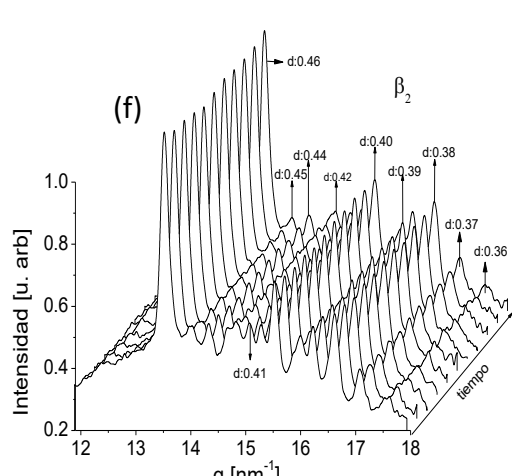
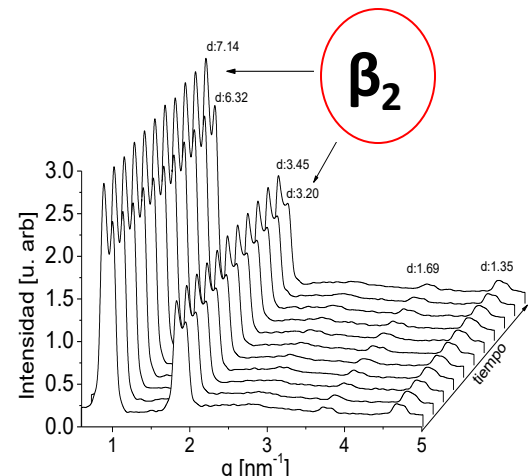
Grasa de cupuassu



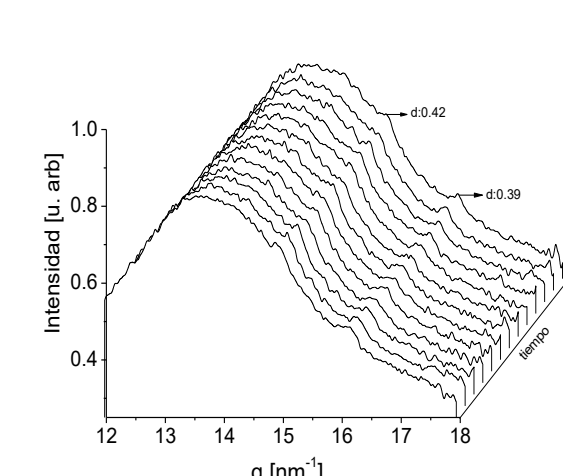
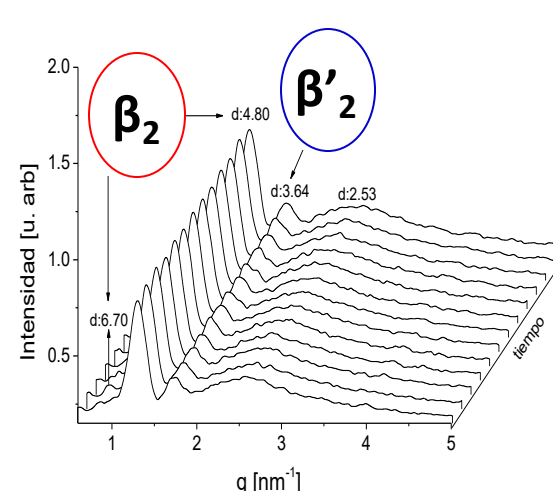
G. de cupuassu con S-170

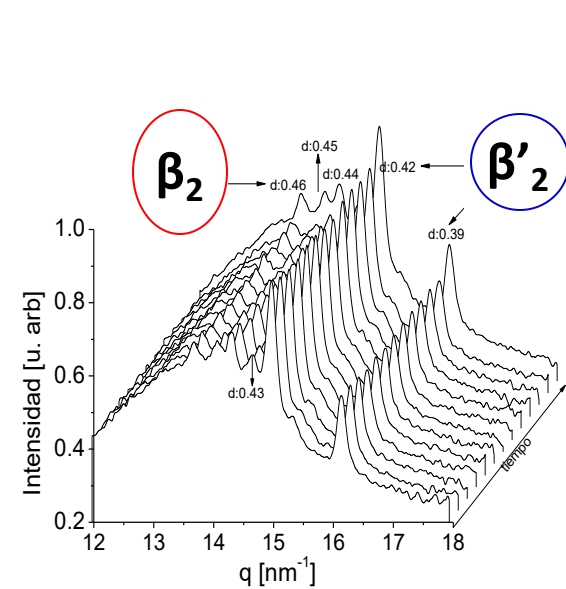
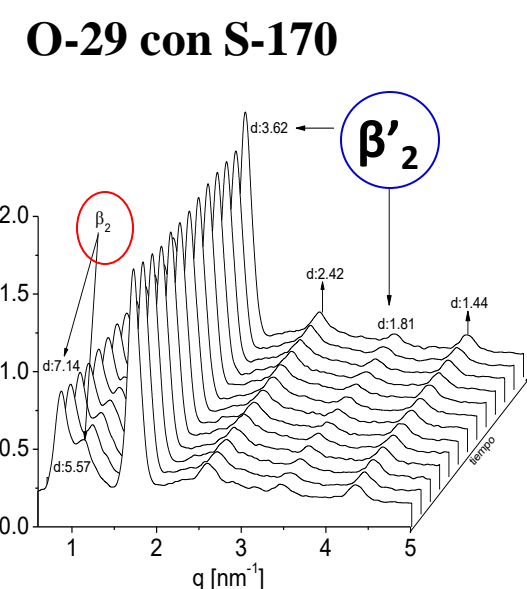
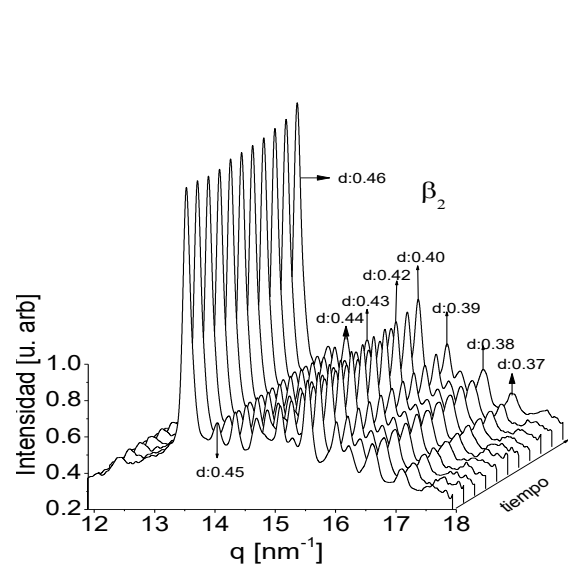
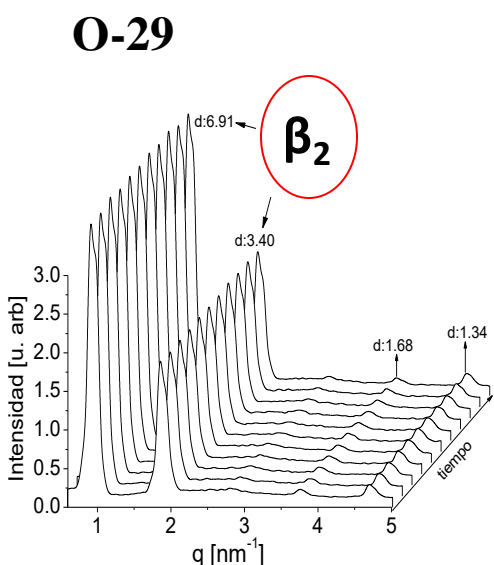
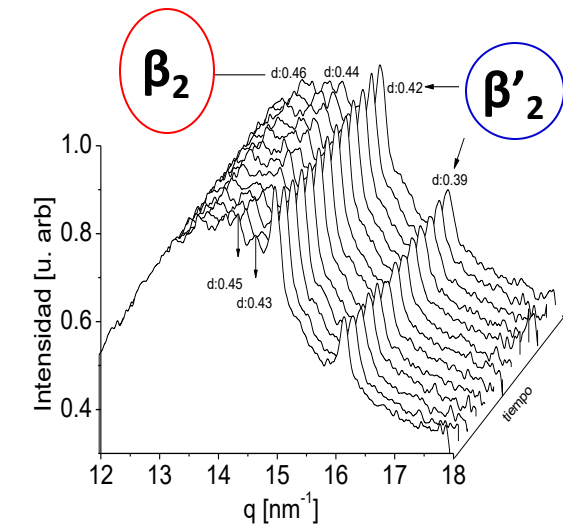
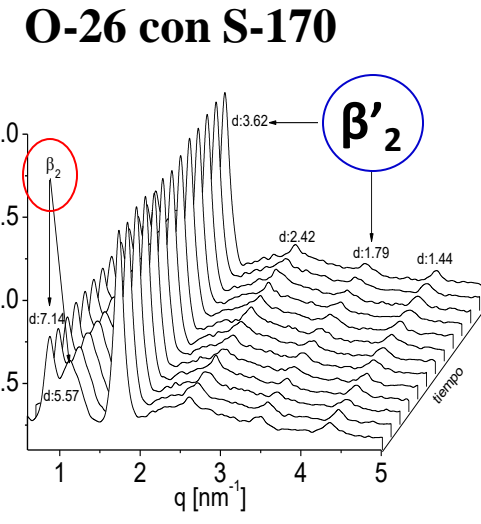
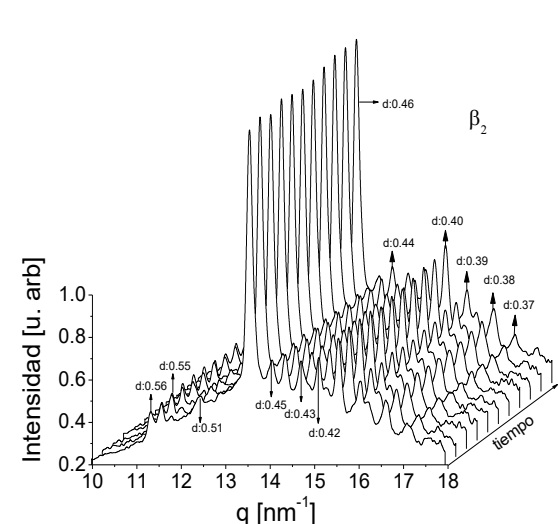
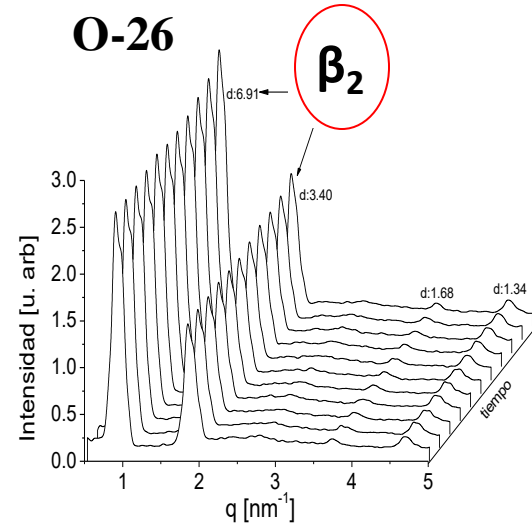


O-24



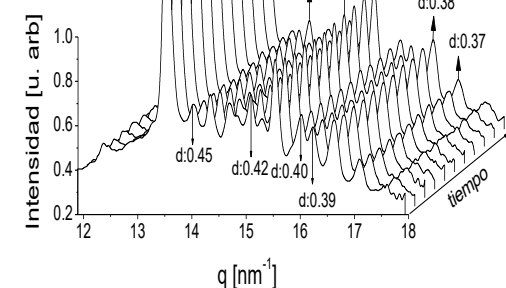
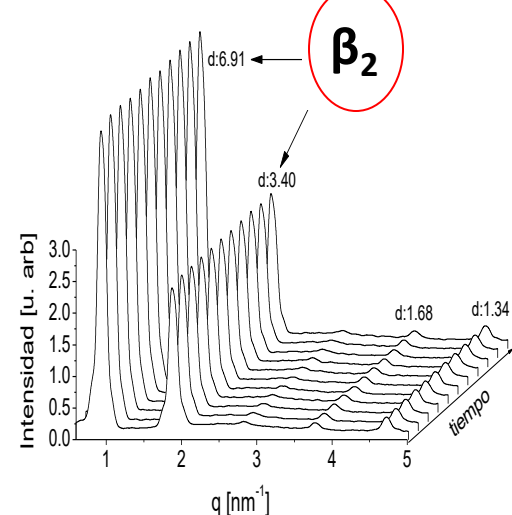
O-24 con S-170



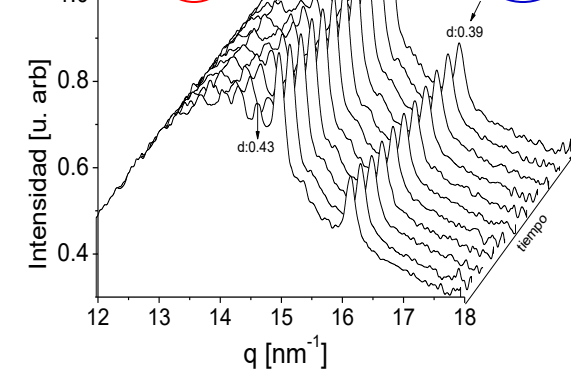
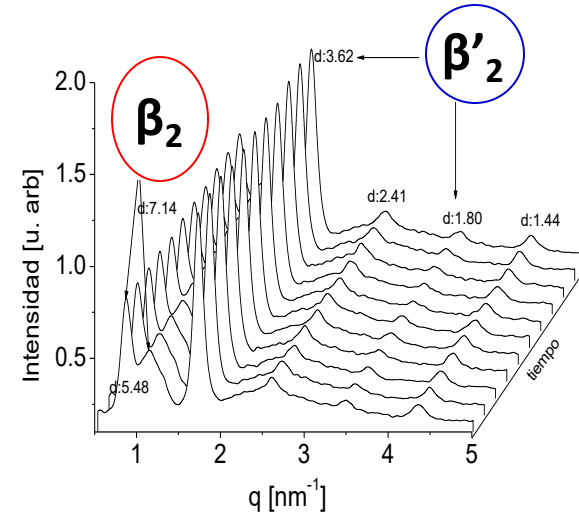




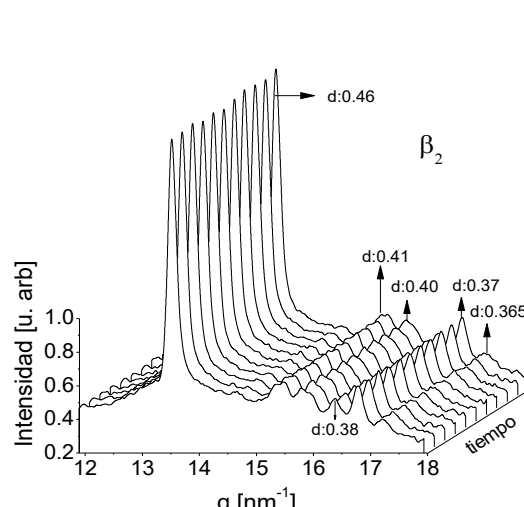
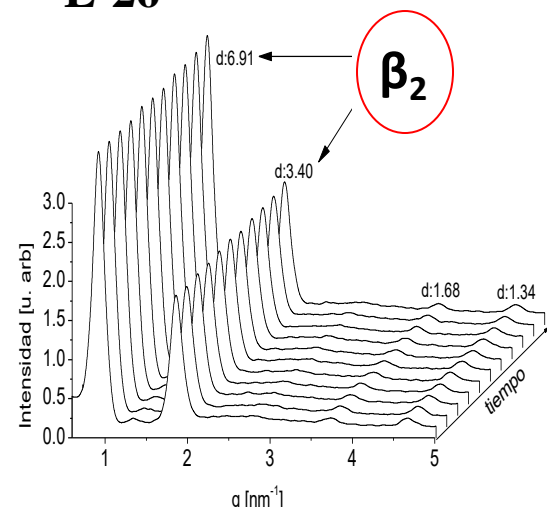
E-24



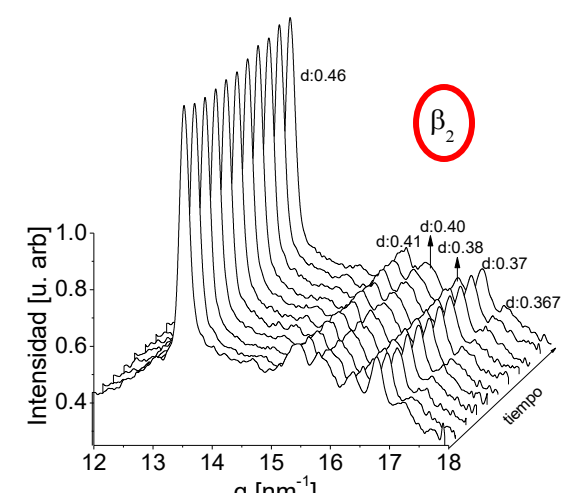
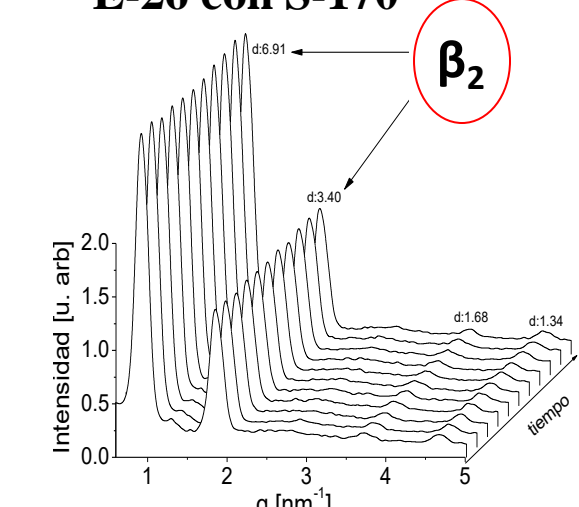
E-24 con S-170



E-26

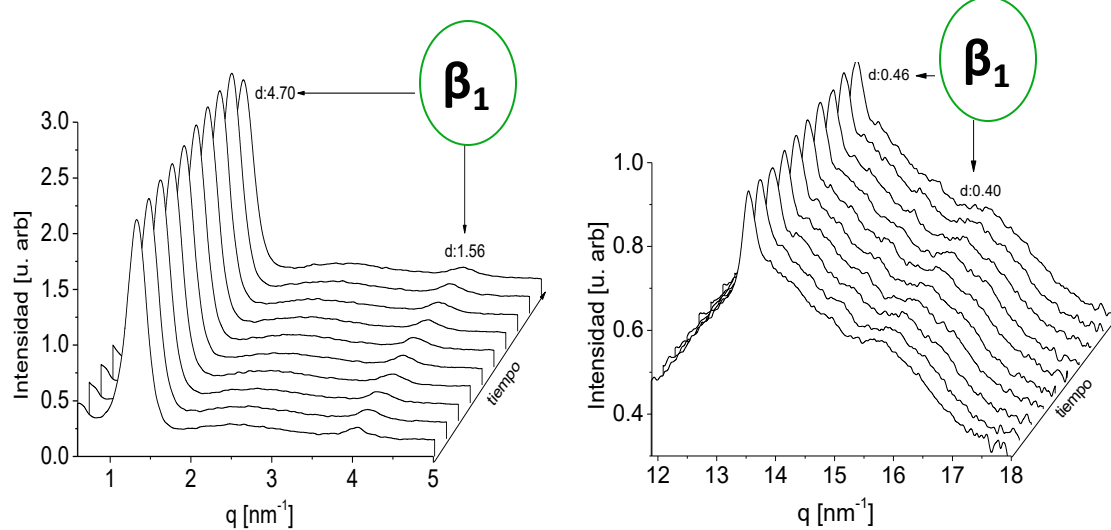


E-26 con S-170

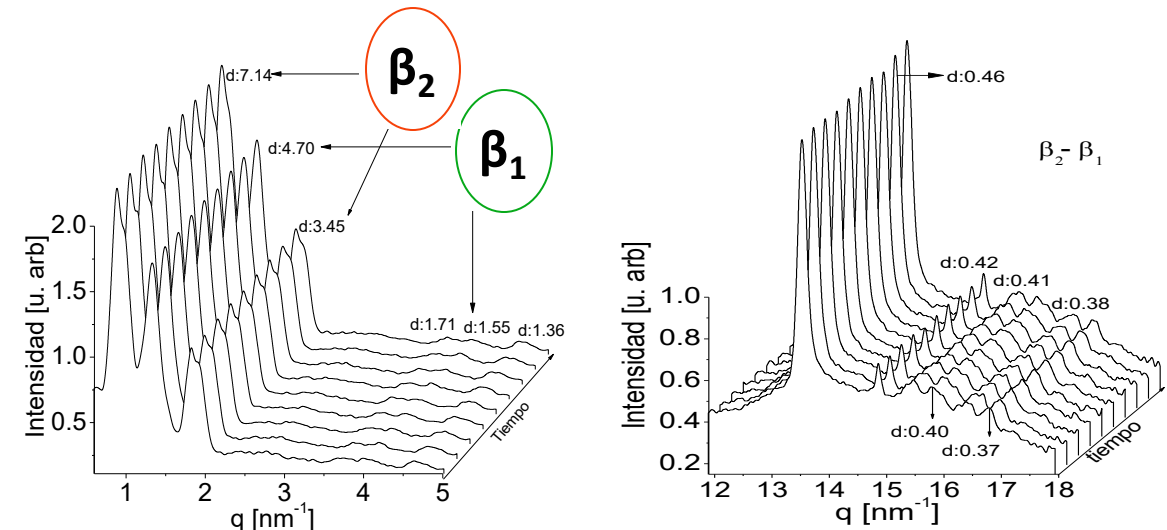




E-29

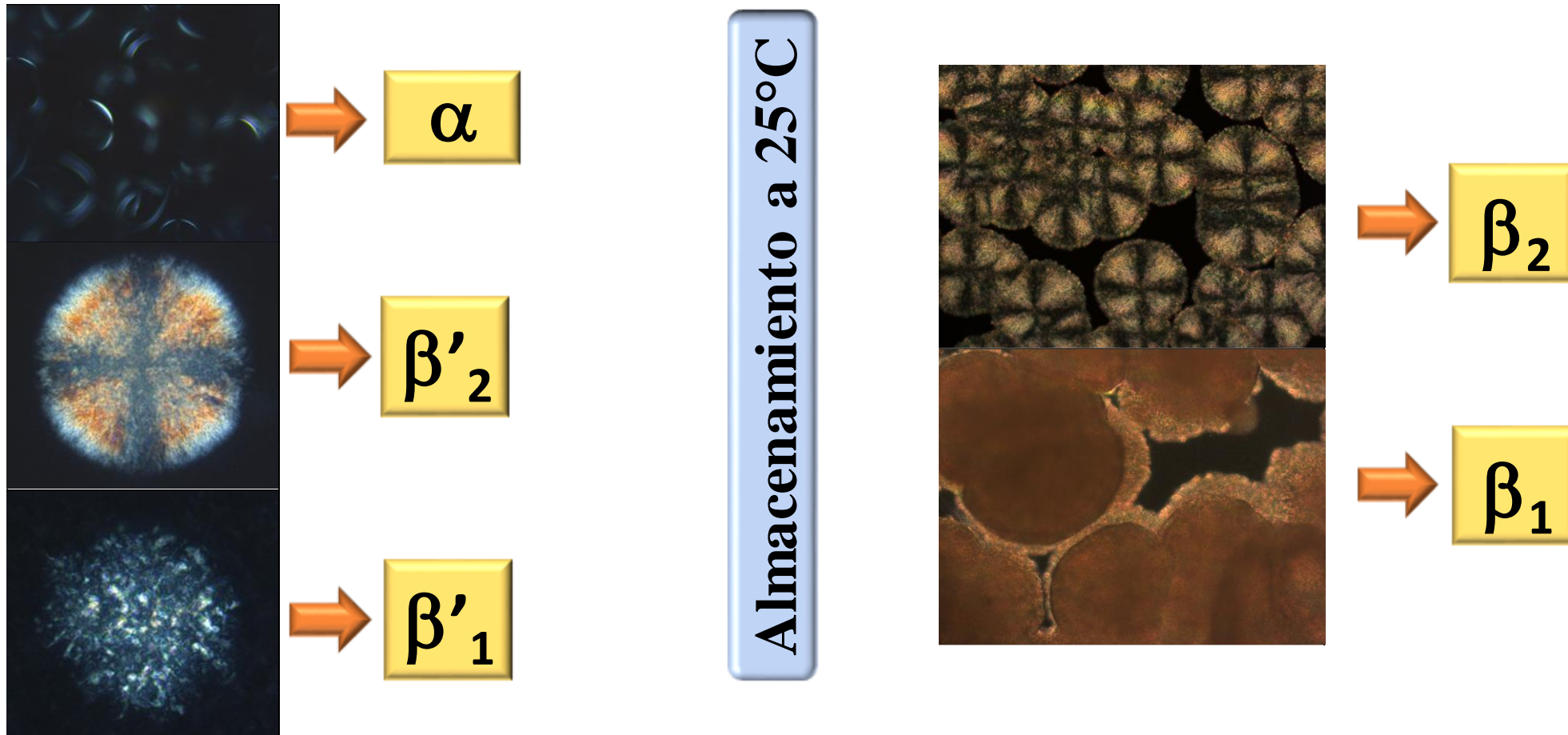


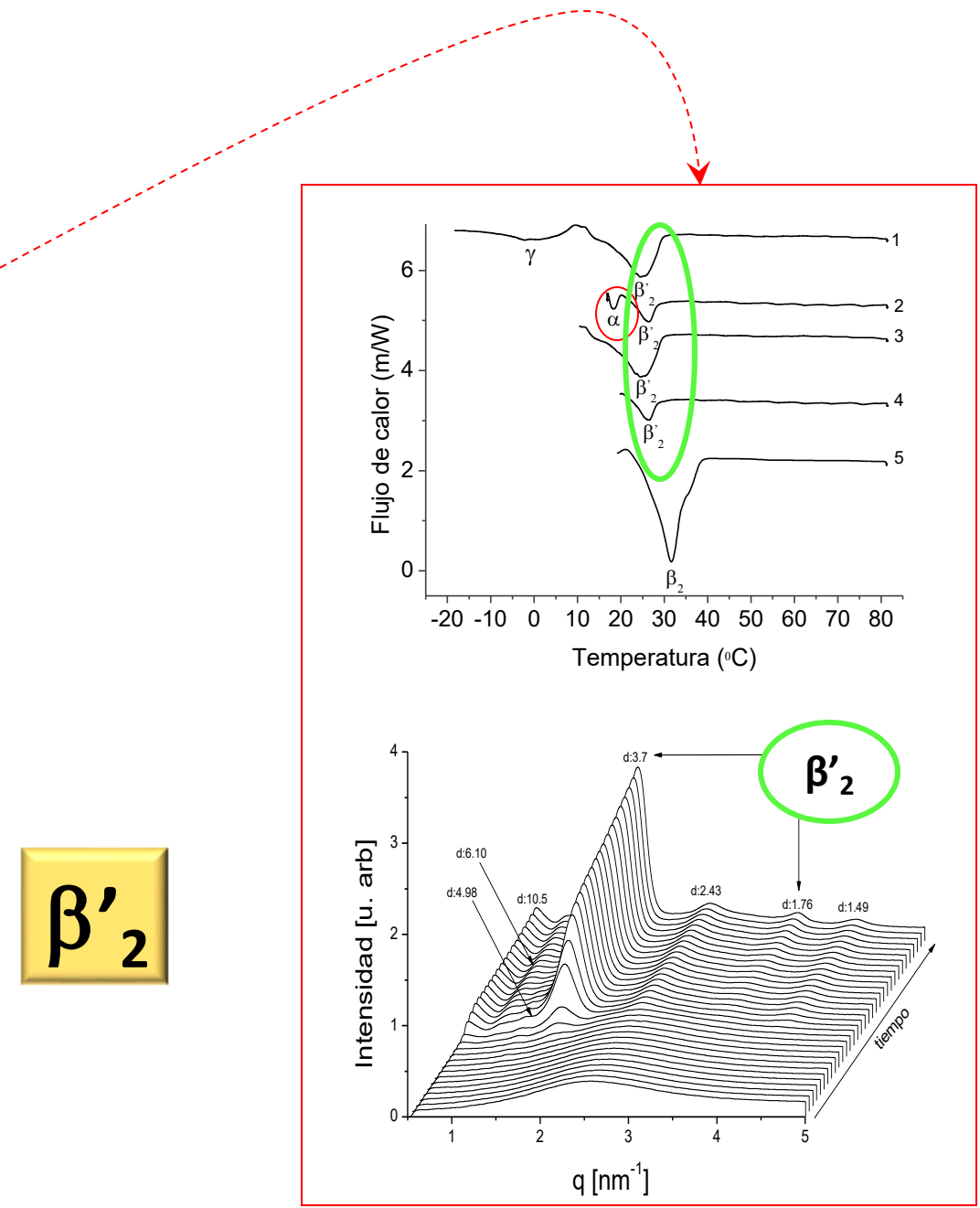
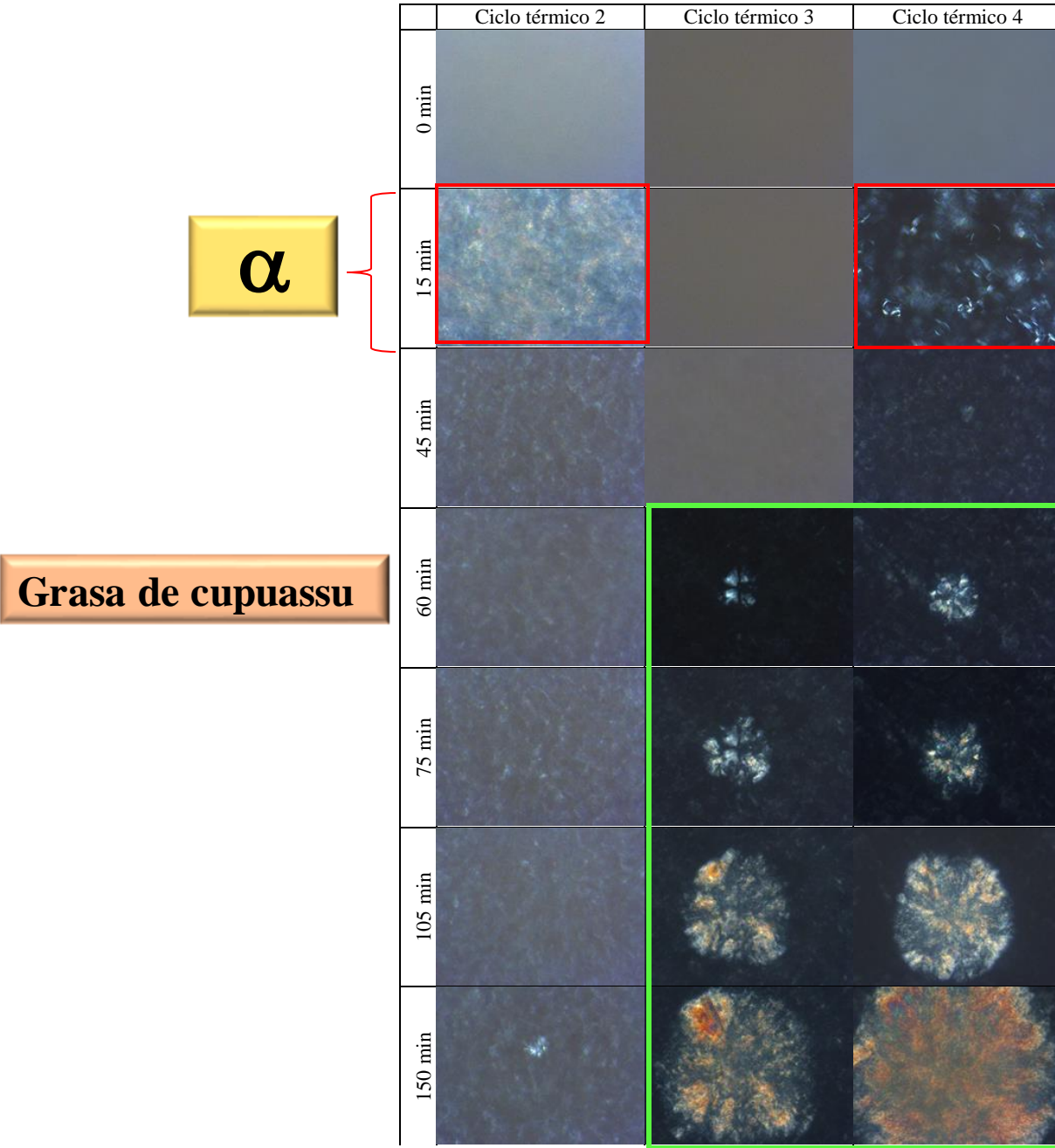
E-29 con S-170



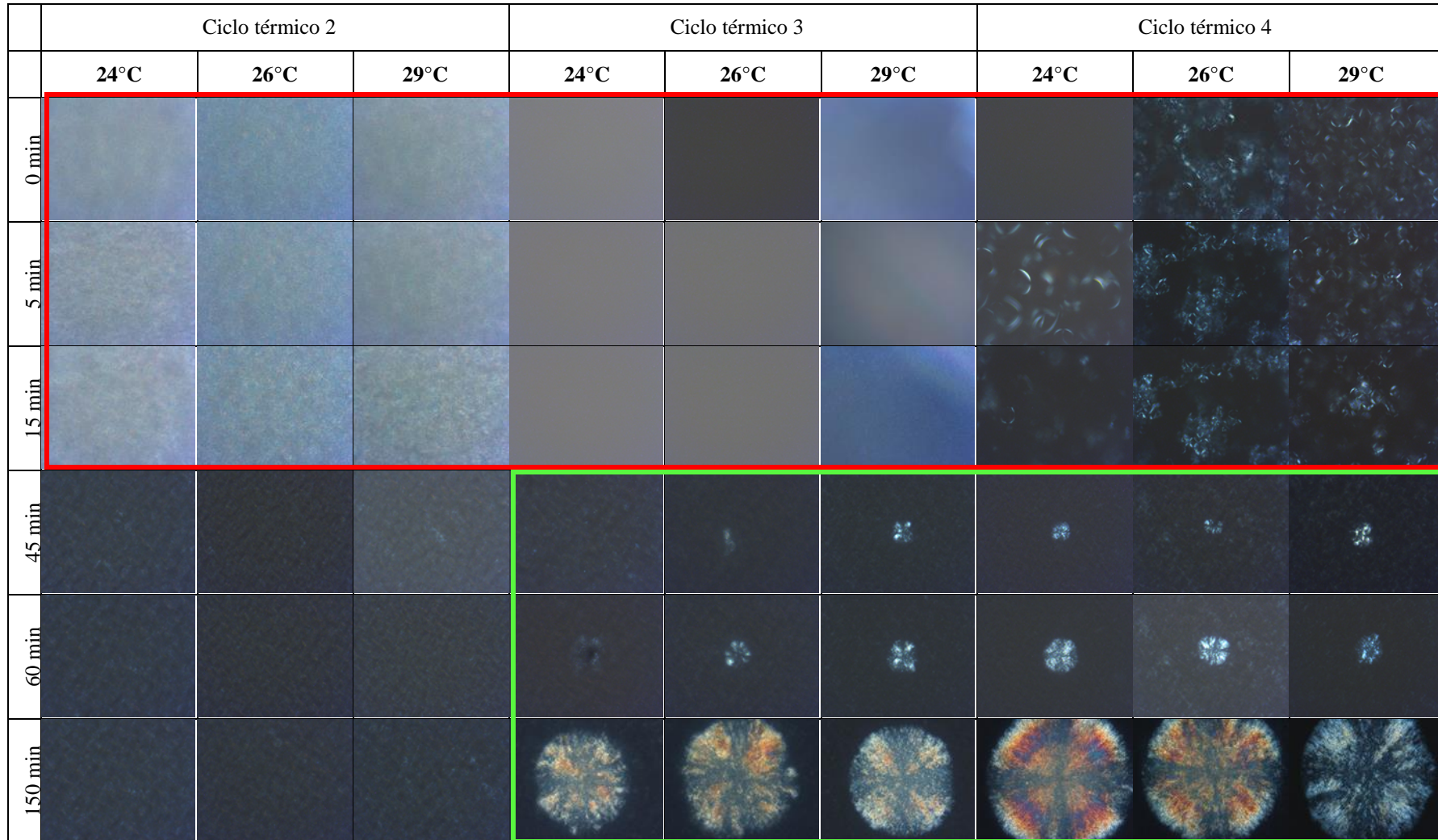
Comportamiento cristalino: descripción de la microestructura por PLM

Protocolos “temperatura/tiempo” Silva et al. (2009): Ciclo térmico 2: α ; Ciclo térmico 3: β'_2 ; Ciclo térmico 4: β_2





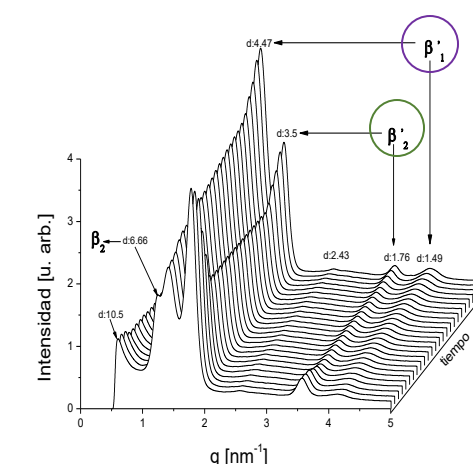
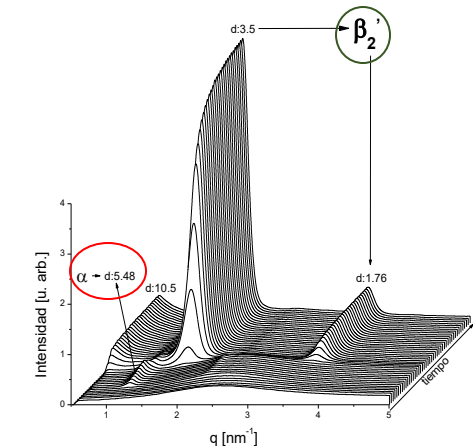
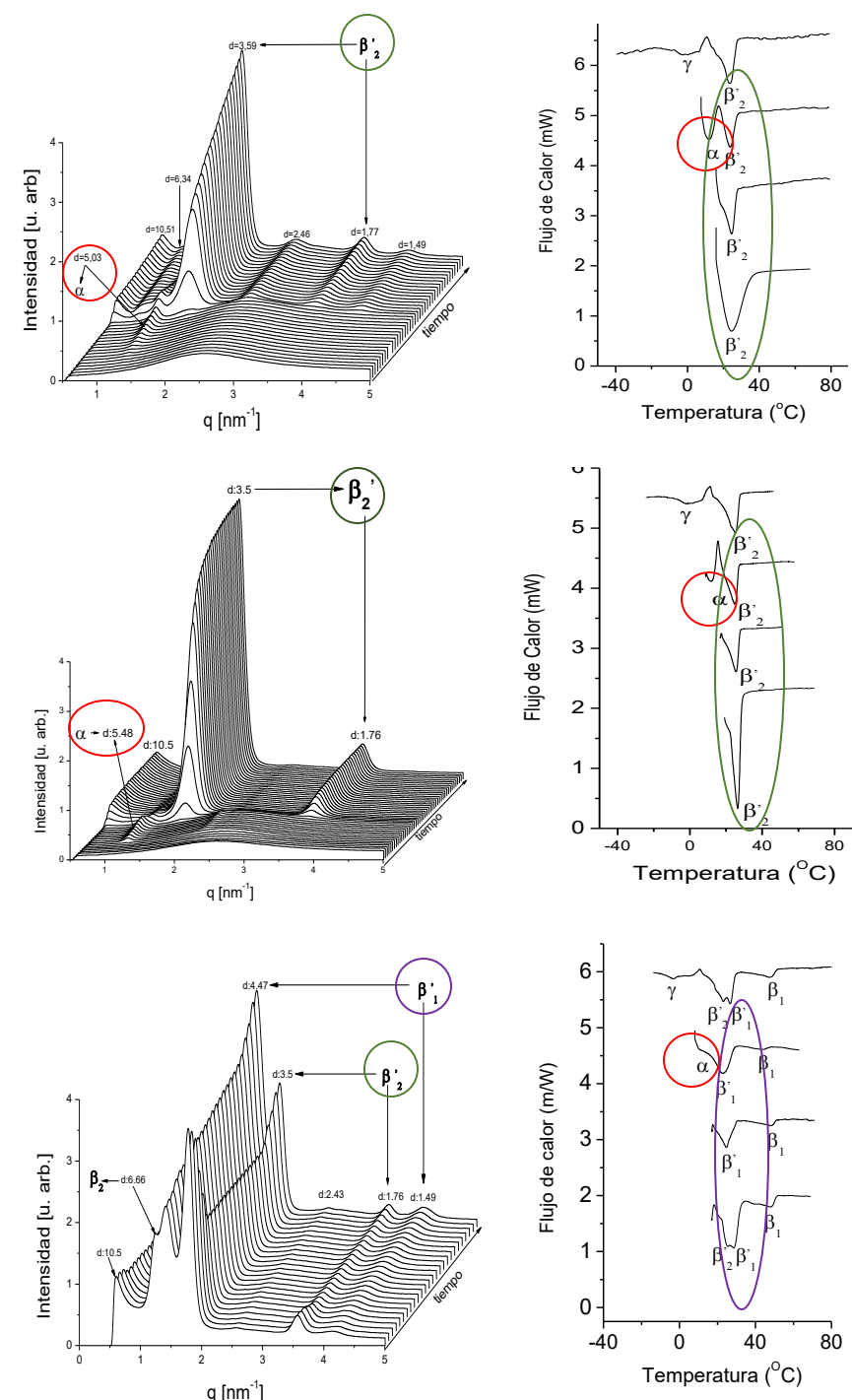
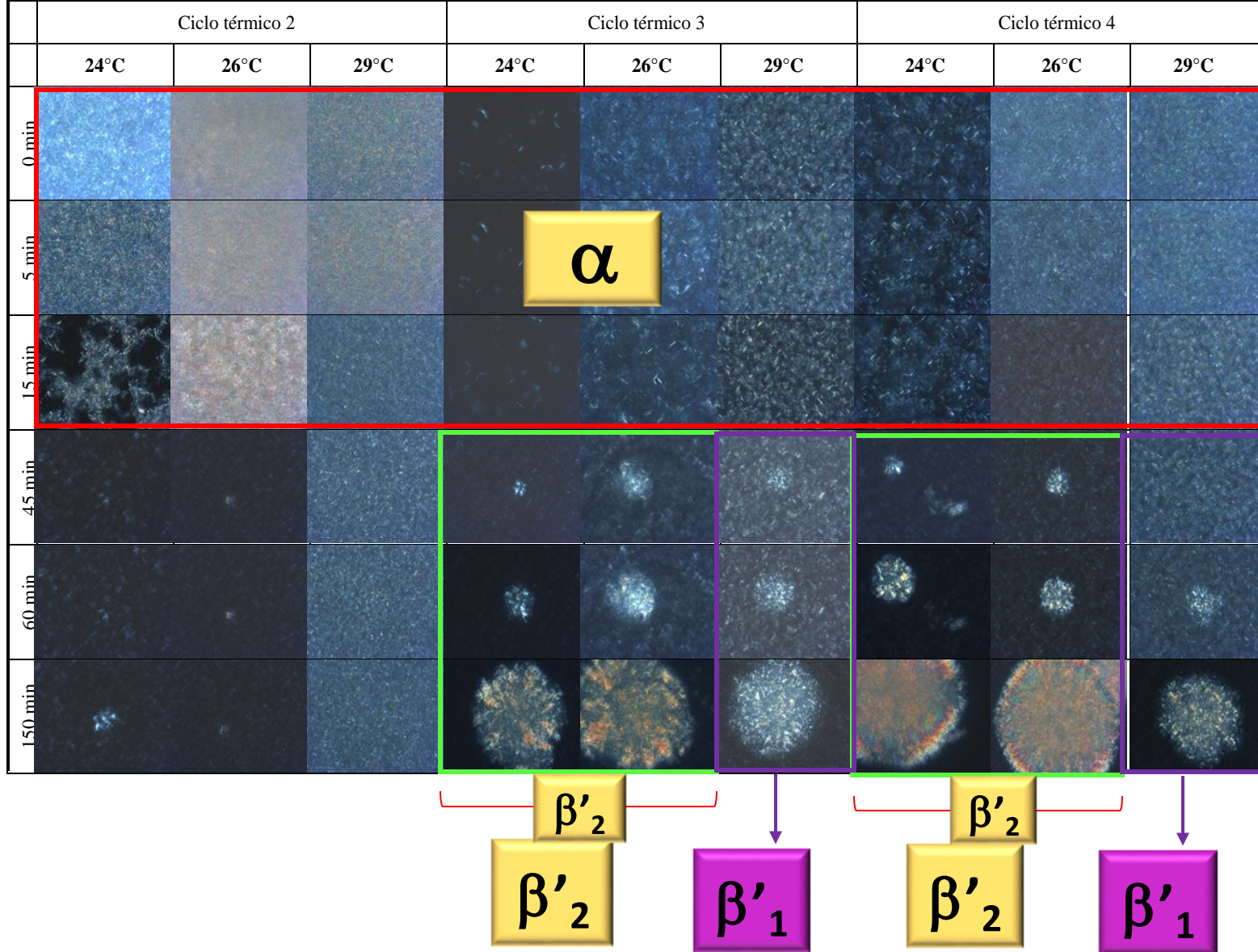
Fracciones Oleína



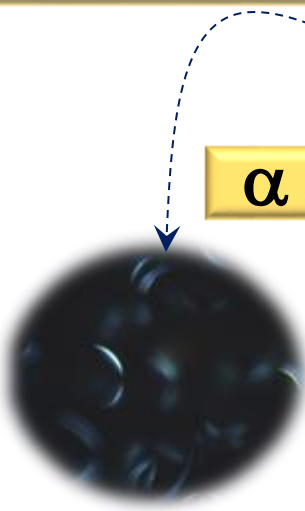
α

β'_2

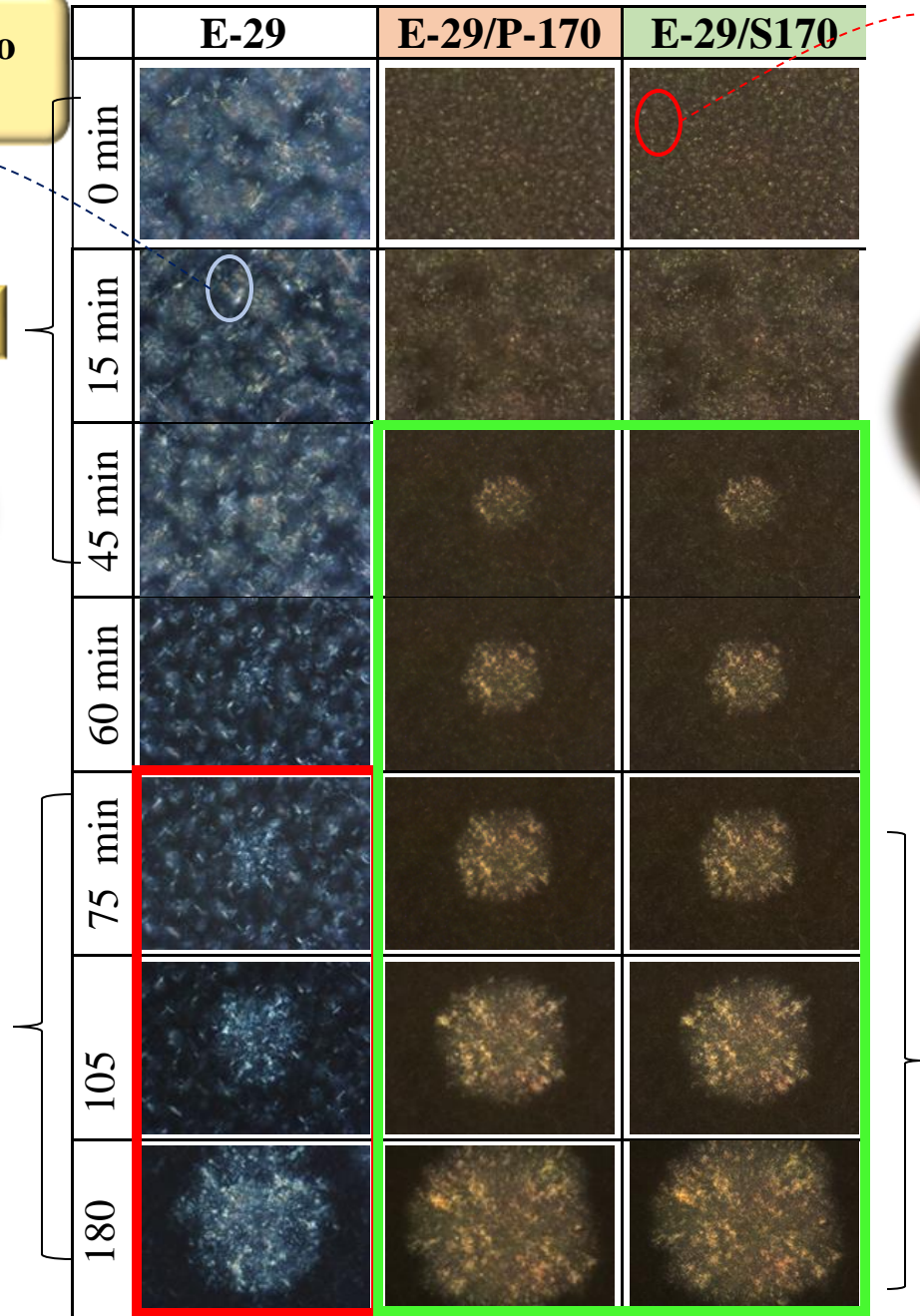
Fracciones Estearina



Efecto del agregado del emulsificante



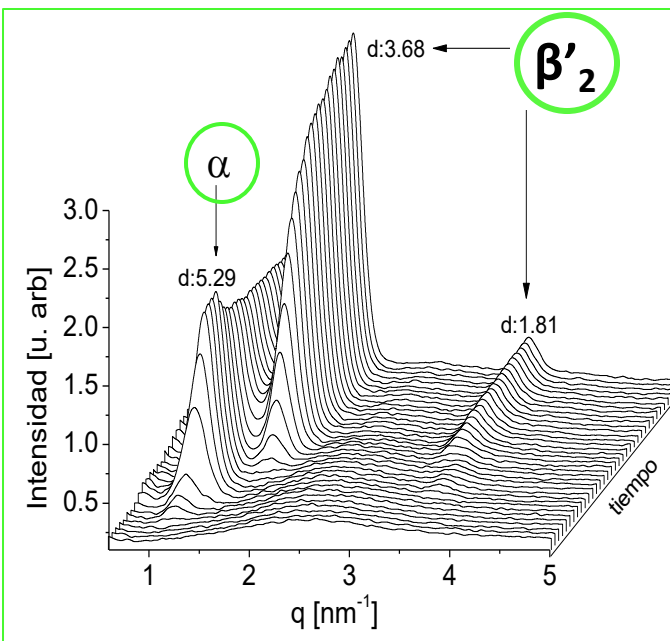
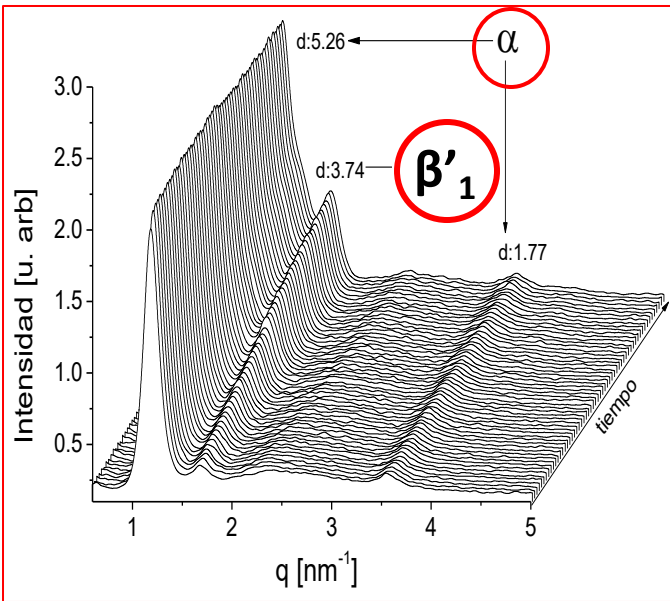
α



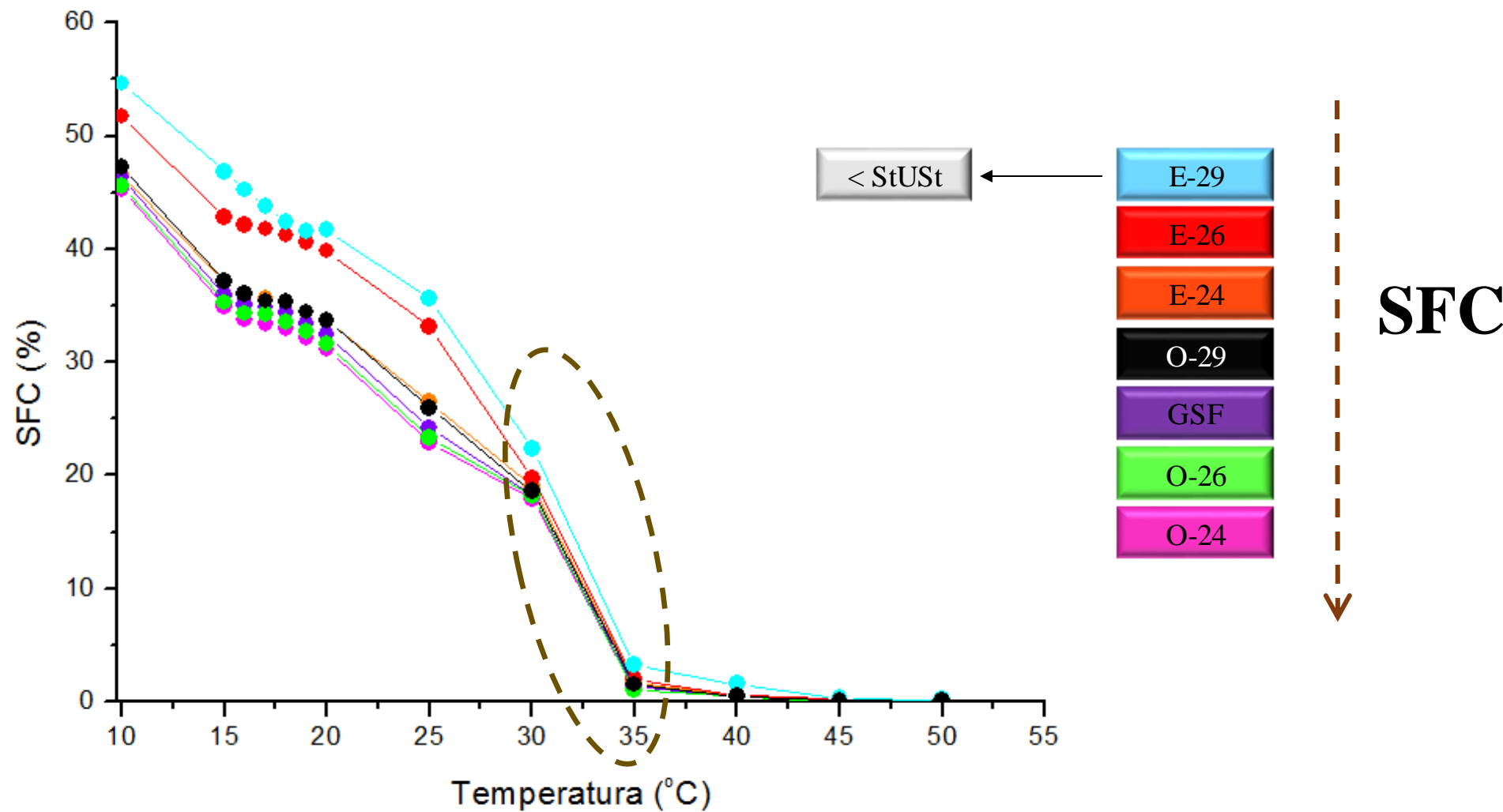
β'_2

S170

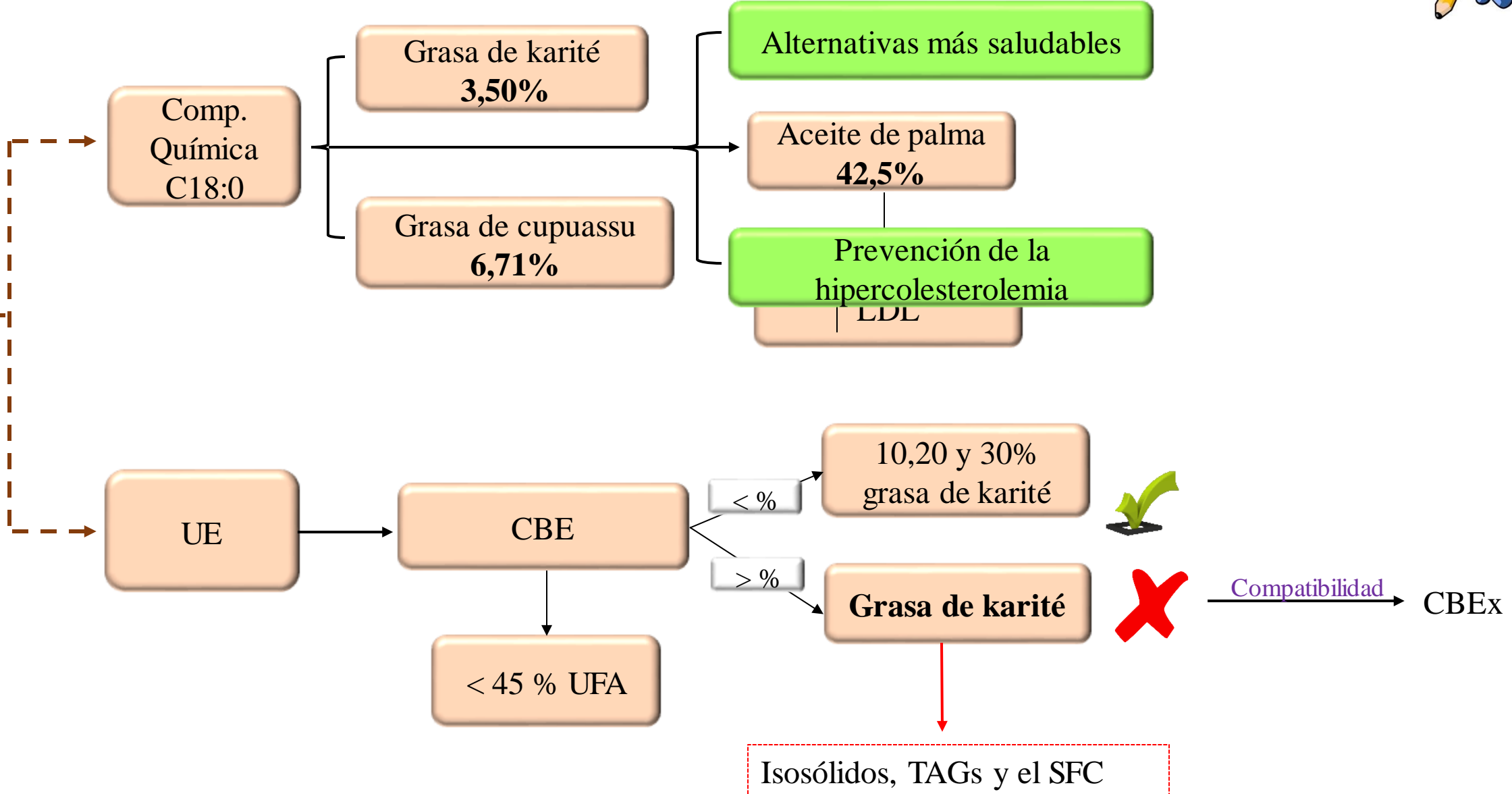
Con S170



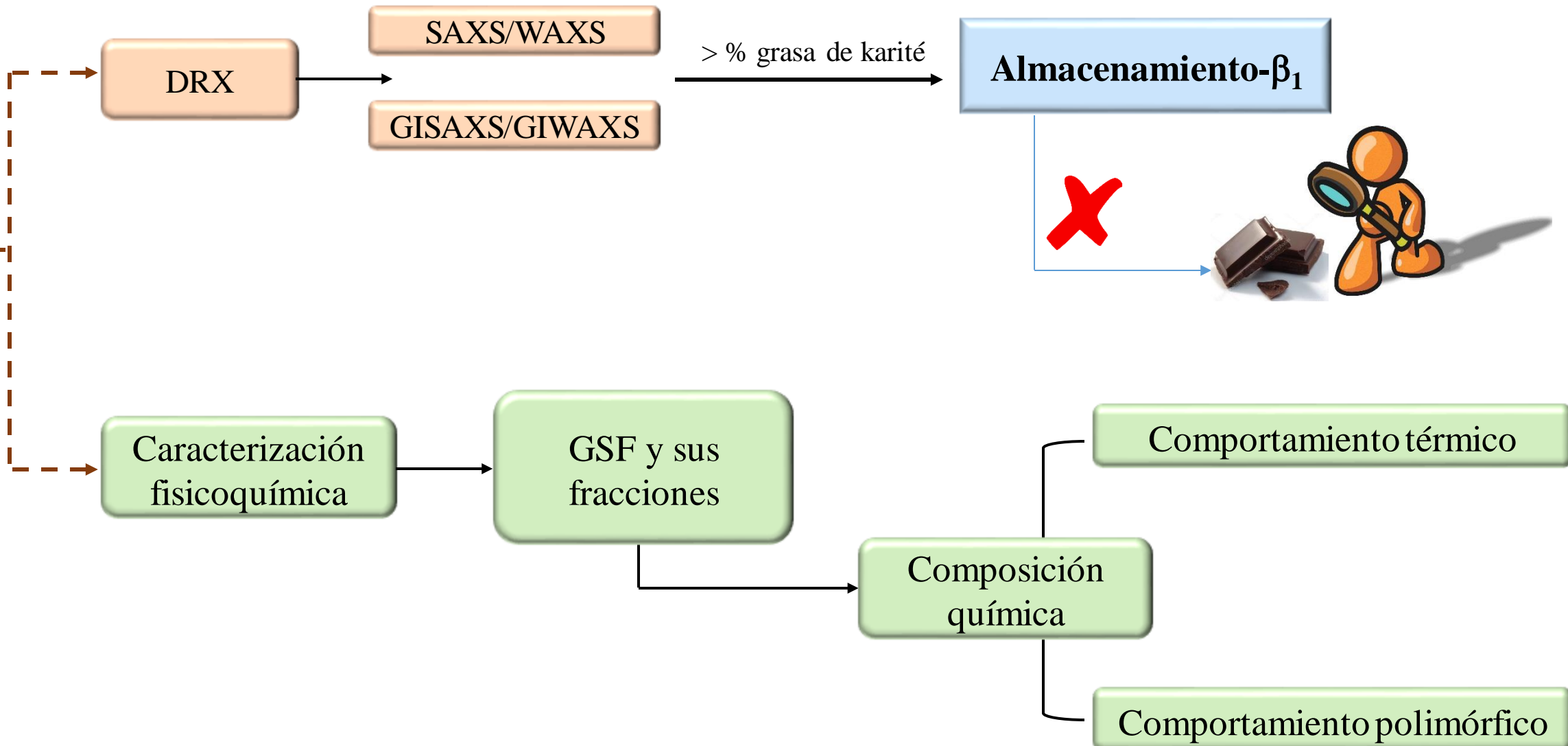
“SFC” en función de la Tc



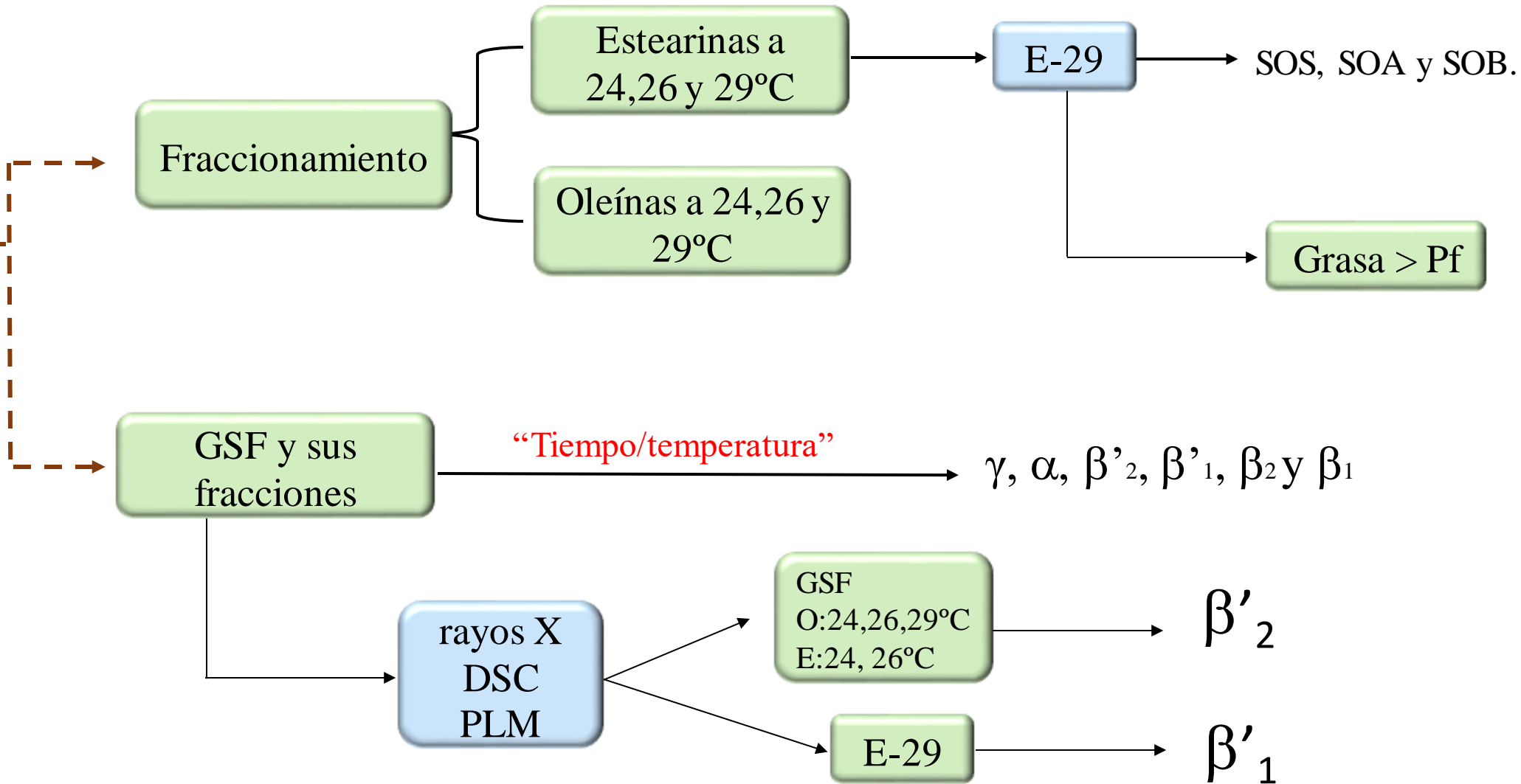
Conclusiones



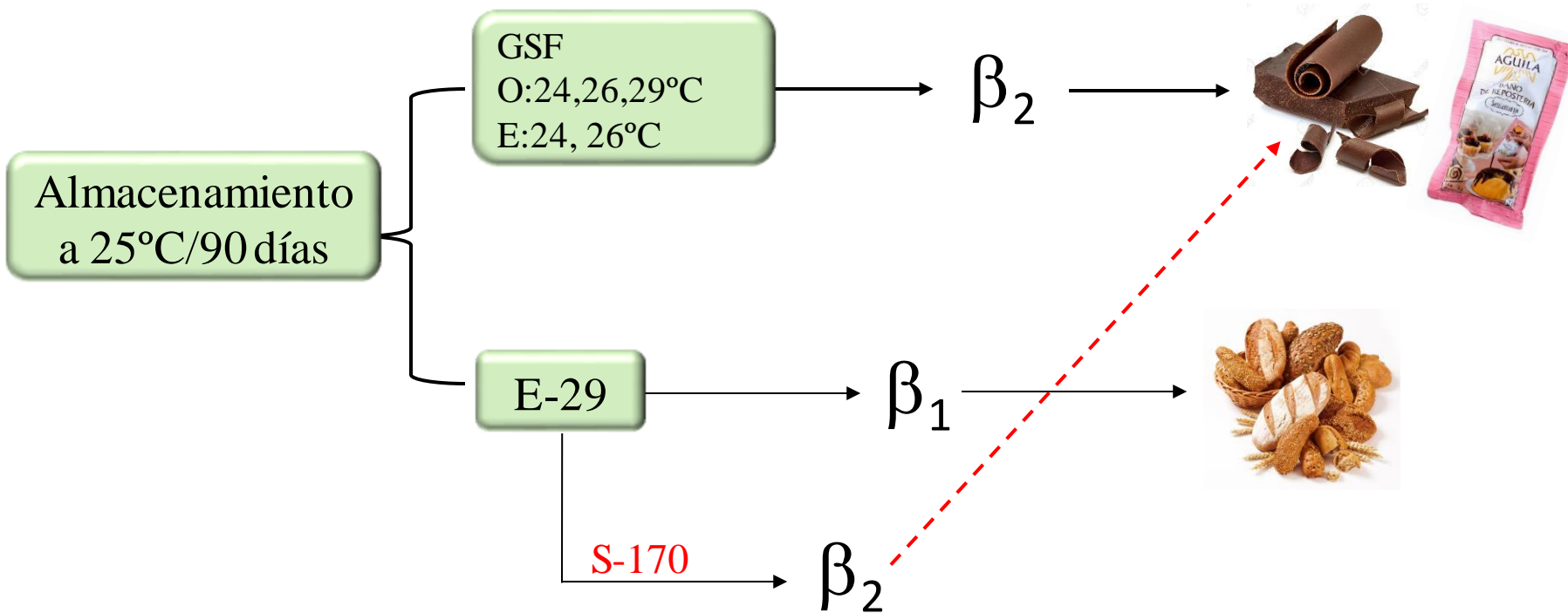
Conclusiones



Conclusiones



Conclusiones



Los resultados de este trabajo de tesis mostraron como por mezcla o fraccionamiento se pudieron obtener cortes grasos con distintas propiedades fisicoquímicas adecuados para distintas aplicaciones en la formulación de alimentos.



GRACIAS